Misan University

Analy 31 And 50 College of Basic Education

جمهورية العراق وزارة التعليم العالي والبحث العلمي جامعة ميسان كلية التربية الاساسية/قسم العلوم العامة الدراسات العليا



تأثير جسيمات أكسيد الزنك النانوية المحضرة بالطريقة الكيميائية وبعض الأحماض العضوية ضد بكتريا Escherichia coli مختبرياً

رسالة مقدمة إلى مجلس كلية التربية الاساسية / جامعة ميسان وهي جزء من متطلبات نيل درجة الماجستير في العلوم العامة التخصصية

> من الطالبة مسرة باسم عسارف

إشــراف أ.م.د طـــه حســن جــاســم

A2025

1447هـ



﴿ وَلَوْلَا فَضِلُ اللّهِ عَلَيْكَ وَرَحْمَتُهُ لَهُمَّتُ طَائِفَةٌ مَنْهُمْ أَن يُضِلُّوكَ وَمَا يُضِلُّونَ إِلَّا أَنفُسَهُمْ وَمَا يَضُرُّوكَ مِنْهُمْ أَن يُضِلُّوكَ وَمَا يُضِلُّونَ إِلَّا أَنفُسَهُمْ وَمَا يَضُرُّوكَ مِنْ شَيْءٍ وَأَنزَلَ اللّهُ عَلَيْكَ الْكِتَابَ وَالْحِكْمَة وَعَلَمْكَ مَا لَمْ تَكُن تَعْلَمُ وَكَانَ فَضِلُ اللّهِ عَلَيْكَ وَعَلَمْكَ مَا لَمْ تَكُن تَعْلَمُ وَكَانَ فَضِلُ اللّهِ عَلَيْكَ

عَظِيمًا (١١٣) ﴾

مَنْ الله العظمية، (سورة النساء)

اقرار المشرف

أشهد أن إعداد هذه الرسالة الموسومة: " تأثير جسيمات أكسيد الزنك النانوية المحضرة بالطريقة الكيميائية وبعض الأحماض العضوية ضد بكتريا Staphylococcus المحضرة بالطريقة الكيميائية وبعض الأحماض العضوية ضد بكتريا عسسرة بساسسه Escherichia coli و مسرة بساسسم عسسارف) قد تمت تحت إشرافي في كلية التربية الأساسية / جامعة ميسان جزءاً من متطلبات نيل درجة الماجستير في العلوم العامة التخصصية.

التوقيع:

الاسم: أ.م. د طه حسن جاسم اللقب العلمي: استاذ مساعد دكتور التاريخ: / 2025/

بناءً على التعليمات ارشح الرسالة للمناقشة.

التوقيع:

الاسم: أ. د. هاشم حنين كريم اللقب العلمي: استاذ رئيس قسم العلوم العامة/رئيس لجنة الدراسات العليا التاريخ: / 2025/

إقرار لجنة المناقشة

نشهد إننا أعضاء لجنة المناقشة قد اطلعنا على الرسالة الموسومة: "تأثير جسيمات أكسيد الزنك الناتوية المحضرة بالطريقة الكيميائية وبعض الأحماض العضوية ضد بكتريا أكسيد الزنك الناتوية المحضرة بالطريقة الكيميائية وبعض الأحماض العضوية من الطالبة Staphylococcus aureus و Staphylococcus aureus وقد ناقشنا الطلب في محتوياتها وفيما له علاقة بها ونعتقد انها جديرة بالقبول لنيل درجة الماجستير في العلوم العامة التخصصية.

التوقيع: التوقيع:

الاسم واللقب العلمي: الاسم واللقب العلمي:

التاريخ: التاريخ:

رئيس اللجنة عضو اللجنة

التوقيع: التوقيع:

الاسم واللقب العلمي: الاسم واللقب العلمي:

التاريخ: التاريخ:

عضو اللجنة (المشرف)

صادق مجلس الكلية على قرار اللجنة في جلسته المرقمة () والمنعقدة بتاريخ / 2025.

التوقيع:

الاسم واللقب العلمي:

التاريخ: / /2025.

عميد كلية التربية الاساسية

الإهــــداء...

إلى التي غرست في قلبي معاني النجاح والصبر، والتي أفتقدها في كل صعاب الحياة، وظل دعاؤها دومًا يحيطني ويمنحني القوة والنور في طريقي أمي الغالبة، رحمها الله.

إلى من دفعني بعزيمته ودعمه إلى تحقيق هدفي، وكان دائمًا سندي وملهمي والدي العظيم، أطال الله في عمره.

إلى من كانوا السند الذي يخفف عني أعبائي، وصبروا معي وقدموا لي دعمهم المتواصل إخوتي الأعزاء.

إلى من كانت كلماتهم العذبة وروحهم الطيبة دعمًا لي في أوقات الشدة أصدقائي الأوفياء.

إلى من علموني فأجادوا، وكان لتعليمهم وجهودهم دورٌ بالغ في إثراء معرفتي ودعمي خلال رحلتي العلمية أساتذتي الأفاضل.

إلى من كان لي دومًا خير داعم وسند، ولم يبخل عليّ بعلمه واهتمامه، فكان بجق أبا ثاليًا لي في مسيرتي العلمية مشرفي الكريم، الدكتور طه حسن.

إلى كل من أضاء بعلمه عقل غيره، وكل من تمنى لي التوفيق في هذا المشوار، وكل من كان له أثر في هذا العمل لكم جميعًا خالص الشكر والامتنان. . .

مسرة

شكر وعرفان

أحمد الله تعالى أولاً وآخراً على ما منحني من توفيق وإلهام، وعلى تسهيله لي تجاوز الصعوبات التي واجهتني في إنجاز هذا العمل ونيل هذه الدرجة العلمية.

أتوجه بخالص الشكر والتقدير إلى أستاذي الفاضل الدكتور طه حسن جاسم الياسري، الذي لم يبخل علي بوقته وجهده، وكان إشرافه المتميز وتوجيهاته السديدة ونصائحه العلمية القيّمة من أهم أسباب إنجاح هذا البحث، فله مني عظيم الامتنان والتقدير.

كما أقدم شكري وامتناني العميق إلى قسم العلوم العامة (رئيساً وأساتذة) على دعمهم المستمر، وحرصهم على توفير بيئة علمية محفزة، والشكر موصول إلى عمادة كلية التربية الأساسية لتيسيرها الإجراءات اللازمة كافة.

ولا يفوتني أن أعبر عن امتناني الكبير لــ دائرة صحة ميسان، وخصوصاً مستشفى الطفل والولادة، على تعاونهم الكريم في توفير العزلات البكتيرية اللازمة للدراسة. وبالأخص السيدة الست زهراء مولى على روحها الطيبة وتعاونها المستمر، ولحرصها على تسهيل جميع الأمور لي. جزيل الشكر والتقدير لها على جهودها ودعمها الكريم.

كما أتقدم بخالص الشكر والتقدير إلى مختبر الصحة العامة، إدارةً ومنتسبين، وعلى رأسهم الأستاذ عباس والست سوزان، لما قدموه من توجيهات علمية ودعم متواصـــل، وكانوا مثالاً رائعاً في التعاون والإخلاص، وأســـأل الله أن يجعل ذلك في ميزان حسناتهم.

ويطيب لي أن أخص بالشكر الدكتور أحمد سالم من جامعة الإمام الصادق (عليه السلام) على كرمه وروحه التعاونية ومساهمته العلمية القيّمة، والتي كان لها أثر بالغ في إتمام هذا البحث، فجزاه الله خير الجزاء.

ولا أنسى أن أتوجه بالشكر الجزيل إلى زملائي الأعزاء طلبة الدراسات العليا على دعمهم المستمر وروح التعاون والأخوة التي جمعتنا، متمنية لهم دوام التوفيق والنجاح.

وأخيراً، وبكل معاني الوفاء، أهدي أسمى آيات الامتنان والعرفان إلى عائلتي الكريمة، التي كانت السند والداعم الأكبر لي، فقد تحملت معى الكثير ووقفت بجانبي بمحبة وصبر لا حدود لهما .

وفي الختام، لا يسعني إلا أن أعبر عن بالغ الشكر والامتنان لكل من ساهم في إنجاز هذا البحث بأي شكل من الأشكال، سائلًا المولى عز وجل أن يجزيهم خير الجزاء ويبارك في جهودهم.

المحتويات

الصفحة	الموضوع	التسلسل
II	الآية	
IV-III	الإقرارات	
V	الإهداء	
VI	الشكر وعرفان	
XI-VII	قائمة المحتويات	
XI	قائمة الجداول	
XIII-XII	قائمة الأشكال	
XV-XIV	قائمة المختصرات والرموز	
3-1	الفصل الأول: المقدمــــة	1
3-2	المقدمة	1-1
3	هدف الدراسة	2-1
26-4	الفصل الثاني: استعراض المـــراجعLiterature review	
5	البكتريا(Bacteria)	
8-5	المكورات العنقودية الذهبية(Staphylococcus aureus)	
6-5	الخصائص المورفولوجية والفسيولوجية Morphological and Physiological) :Characteristics	1-1-1-2
6	ظروف النمو والسمات التشخيصيَّة Growth Conditions and Diagnostic) Characteristics)	2-1-1-2
7	التصنيف الوراثي وعلم الأوبئة(Genetic Classification and Epidemiology)	3-1-1-2
7	الوبائية Epidemiology	4-1-1-2
8-7	الإمراضيةPathogenicity	5-1-1-2
11-8	عوامل الضراوة البكتيريةVirulence factors	2-2
11-9	عوامل ضراوة المكورات العنقودية الذهبيةStaphylococcus aureus	1-2-2
10-9	سموم العنقودية الذهبيةStaphylococcal Toxins	
10	الإنزيمات(Enzymes)	
11-10	بروتين السطح(Surface Protein A)	
11	عديدات السكاريد الكبسوليةCapsular Polysaccharides	
11	الأغشية الحيويةBiofilm	5-1-2-2
12-11	بكتريا القولون (Escherichia coli)	3-2
12-11	Morphological and Physiological الخصائص المورفولوجية والفسيولوجية Characteristics	1-3-2

الصفحة	الموضوع	التسلسل
12	السمات التشخيصية الرئيسية: (Key Diagnostic Features)	
12	التصنيف الوراثي (Phylogenetic Classification)	
15-13	عوامل ضراوة بكتريا القولون (Escherichia coli)	4-2
13	الالتصاق (Adherence)	1-4-2
13	الكبسولة (Capsule)	2-4-2
14-13	عوامل امتصاص الحديد (Iron Uptake Factors)	3-4-2
14	عديد السكاريد الدهنية (Lipopolysaccharide - LPS)	4-4-2
15-14	الأغشية الحيوية (Biofilms)	5-4-2
15	البروتياز (Protease)	6-4-2
17-15	تقنية النانو والجسيمات النانوية (Nanotechnology and Nanoparticles)	5-2
16-15	أبعاد وخصائص الجسيمات الناتوية الفريدة وتطبيقاتها العامة Dimensions, Unique) (Properties, and General Applications of Nanoparticles	1-5-2
17	خصائص الجسيمات النانوية الرئيسية(Characteristics of Nanoparticles)	2-5-2
19-18	تخليق الجسيمات النانوية وتطبيقاتها المضادة للميكروبات (Nanoparticle Synthesis and Antimicrobial Applications)	6-2
19-18	منهجيات تخليق الجسيمات النانوية:(Nanoparticle Synthesis Methodologies)	
18	منهجية التركيب التنازليTop-Down Synthesis	1-1-6-2
18	منهجية التركيب التصاعدي (Bottom-Up Synthesis)	2-1-6-2
21-19	آليات عمل جسيمات أكسيد الزنك الناتوية المضادة للبكتيريا (Mechanisms of Antibacterial Action of Zinc Oxide Nanoparticles)	7-2
26-21	الأحماض العضوية تعريفها, تأثيراتها المضادة للميكروبات, تواجدها الطبيعي, تركيبها الكيميائي, خصائصها العامة Organic Acids: Definition, Antimicrobial الكيميائي, خصائصها العامة Effects, Natural Occurrence, Chemical Structure, and General Properties	8-2
23-22	آليات عملها كمضادات للبكتيريا(Mechanisms of action as antibacterials)	1-8-2
25-23	حمض الستريك(Citric Acid)	2-8-2
26-25	حمض البروبيونيك(Propionic acid)	3-8-2
44-28	الفصل الثالث: المواد وطرائق العمل(Materials and Methods)	3
31-28	الْمــــواد	1-3
31-28	المعدات والأجهزة	1-1-3
32-31	طرق العمل	
31	مخطط الدراسة	1-2-3
32	التحضير الكيميائي لجزيئات أكسيد الزنك النانوية بطريقة السول - جل: (Sol-gel)	2-2-3
36-33	توصيف الجسميات النانويةCharacterization of the Nanoparticles	3-3
34-33	التوصيف الفيزيائي للجسيمات النانوية	1-3-3



36-34 الترصيف الكومياتي للجسيمات التاثوية . 2-3-3 36 الترصيف الغيرياتي . 13-3-3 36 أديمياتي . 4-3-3 37 Collection of isolates: 4-3 37 Collection of isolates: 4-3 38-37 Preparation of Culture Media (Team (Team)) 5-3 41-39 Identification of bacterial isolates: 6-3 39 S. aureus (Team) 6-3 40 Biochemical Testia, 1-6-3 40 Biochemical Testia, 1-6-4 40 Biochemical Testia, 1-2-6-3 41-40 (Microscopical Characteristics) 1-2-6-3 41-41 Escherichia coli (Microscopical Examination) 1-2-6-3 41 Aurica (Colonial Morphology) 1-2-6-3 42-41 Microscopical Examination (Liquidia) 2-2-6-3 42 Revitalization of Bacterial Isolates (Liquidia) 2-2-6-3 42 Revitalization of Bacterial Isolates (Liquidia) 1-3 43-42 Short term storage (Liquidia) 1-3 43-43 Assay of Inhi	الصفحة	الموضوع	التسلسل
التوصيف البيولوجي لجسيمات او كسيد الزب الثانية الثانوية على المسلمات او كسيد الزب الثانوية على المسلمات العصيد الزب التوصيف البيولوجي لجسيمات الوكسيد الزب التوصيف البيولوجي المسلمات المتورية التعاقدية التعاقدة التعاقدية التعا	36-34	التوصيف الكيميائي للجسيمات النانوية:	2-3-3
37 Collection of isolates: جمع الغزات: 38-37 Preparation of Culture Media الزرعية المعافرة المعافر	36	التوصيف الفيزيائي ـ الكيميائي	3-3-3
38-37 Preparation of Culture Media بالمسلط التي المعتر (المسلط التي المعتر الإنساط التي المعتر (المسلط التي المعتر المسلط التي المعتر المسلط التي المعتر المسلط التي المعتر المسلط المعتر المعتر المسلط المعتر المعتر المعتر المسلط المعتر المسلط المعتر المعتر المعتر المعتر المعتر المسلط المعتر المعتر المسلط المعتر المسلط المعتر المعتر المعتر المعتر المسلط المعتر المع	36	التوصيف البيولوجي لجسيمات اوكسيد الزنك الناتوية	4-3-3
41-39 Identification of bacterial isolates نشجيس العزلات البكتيرية (6-3) 39 S. aureus الشخيص بكتريا المكورات العنقودية الأهبية الأهبية (1-6-3) 39 (Culture characteristics) نشجيص بكتريا المكورات العنقودية الأهبية (2-1-6-3) 40 Biochemical Test الفحوصات الكيموجوية (Microscopical Characteristics) 41-40 (Microscopical Characteristics) 42-41 Escherichia colily بكتريات المخيلية (Colonial Morphology) 41 ألفطس المجهر (Colonial Morphology) 42-41 Microscopical Examination 42-41 Microscopical Examination 42-41 Microscopical Examination 42-41 Microscopical Examination 42 Revitalization of Bacterial Isolates 42 Revitalization 43 Revitalization of Bacterial Isolates 43 Assay of Inhibition Zone 44 Antibiotic sensitivity testing 44 Antibiotic sensitivity testing 44 Antibiotic sensitivity testing 45 Results and discussion 40 Karacterization of Zinc Oxide 41-4 Karacterization of Zinc Oxide 47-46 Ka	37	جمع العزلات:Collection of isolates	4-3
39 S. aureus الشخيص بكتريا المكورات العنقودية الذهبية الداهبية (Culture characteristics) 1-1-6-3 40 Biochemical Test الفحوسات الكيوم وجودية (Culture characteristics) 2-1-6-3 41-40 (Microscopical Characteristics) 3-1-6-3 42-41 Escherichia colil Lavague (Microscopical Characteristics) 2-6-3 41 İsamination (Lavague (Microscopical Examination) 2-6-3 42-41 Microscopical Examination (Microscopical Examination) 2-2-6-3 42-41 Microscopical Examination (Microscopical Examination) 2-2-6-3 42-41 Microscopical Examination (Microscopical Examination) 2-2-6-3 42 Revitalization of Bacterial Isolates (Solution) 3-2-2-6-3 42 Revitalization of Bacterial Isolates (Solution) 3-3 43-42 Short term storage (Microscopical Examination) 4-3-4 43-42 Assay of Inhibition Zone (Microscopical Examination) 10-3 44 Antibiotic sensitivity testing (Microscopical Examination) 4-1-3 44 Antibiotic sensitivity testing (Microscopical Examination) 4-1-4 51-46 Results and discussion (Microscopical Examination) 4-1-4	38-37	تحضير الاوساط الزرعيةPreparation of Culture Media	5-3
الصفات المزرعية: (Culture characteristics) الصفات المزرعية: (Culture characteristics) الضحوصات الكيمرحيوية الكتورصات الكيمرحيوية الكتورصات الكيمرحيوية (Microscopical Characteristics) عناصل المجهرية (Polonial Morphology) والمظهرية (2-6-3 الخصائص المزرعية كتربيا المجهرية (Colonial Morphology) والمظهرية (2-6-3 الخصائص المزرعية الكتيرية Escherichia colii المجهرية الخصائص المزرعية (المحمورة المتعارفة والمخاصصة المتعارفة المحمورة المحمو	41-39	تشخيص العزلات البكتيريةIdentification of bacterial isolates	6-3
40 Biochemical Test الغمور عدورية المجهدية (Microscopical Characteristics) 2-1-6-3 41-40 (Microscopical Characteristics) 3-1-6-3 42-41 Escherichia colii (Colonial Morphology) 2-6-3 41 Alizamina (Colonial Morphology) 1-2-6-3 42-41 Microscopical Examination (Bacterial Isolates) 2-2-6-3 42 Revitalization of Bacterial Isolates 8-3 42 Short term storage (Paramateria) 8-3 43-42 Alizamination (Paramateria) 9-3 43 Assay of Inhibition Zone (Paramateria) 10-3 44 Antibiotic sensitivity testing (Paramateria) 11-3 44 Statistical analysis (Paramateria) 11-3 45-46 Results and discussion (Paramateria) 4 51-46 Characterization of Zinc Oxide (Paramateria) 1-4 47-46 (XRD) (XRD) 47-46 (XRD) (XRD) 47-47 (TEM) (Paramateria) 1-4 47 (TEM) (Paramateria) 2-1-4 48 (SEM) (Paramateria) 3-1-4 49 (FTIR) (Paramateria) 3-1-4	39	تشخيص بكتريا المكورات العنقودية الذهبيةS. aureus	1-6-3
41-40 (Microscopical Characteristics) على المجهرية (Microscopical Characteristics) على المضائص المجهرية الشخيص بكترياتان المنزعية (Colonial Morphology) والمظهرية المحائص المزرعية (Colonial Morphology) والمظهرية المحائص المزرعية (Colonial Morphology) والمظهرية المحائل المحرورات المجهرية (Colonial Morphology) المحافظ المحائلة المحائل	39	الصفات المزرعية: (Culture characteristics)	1-1-6-3
42-41 Escherichia colity كتربي تشخيص بكتريا (Colonial Morphology) والمظهرية الخصائص المزرعية (Colonial Morphology) والمظهرية المحافي (Colonial Morphology) والمظهرية (Colonial Morphology) والمظهرية (Colonial Morphology) والمخطوع المحبورية (Colonial Morphology) والمحبورية المحبورية المحبورية المحبورية (Colonial Morphology) وعند المحبورية المحبورية المحبورية المحبورية المحبورية (Colonial Morphology) وعند المحبورية المحبورية المحبورية المحبورية المحبورية المحبورية المحبورية المحبورية المحبورية والمحبورية والمحبور	40	الفحوصات الكيموحيويةBiochemical Test	2-1-6-3
41 ألفحسانس المزرعية (Colonial Morphology) والمظهرية 1-2-6-3 42-41 Microscopical Examination والمفحيل المعارية 2-2-6-3 42 Revitalization of Bacterial Isolates 7-3 42 Short term storage acid like (Appendiction of Bacterial Isolates) 8-3 42 Short term storage acid like (Appendiction of Bacterial Isolates) 8-3 42 Short term storage acid like (Appendiction of Bacterial Isolates) 8-3 43 Assay of Inhibition Zone (Appendiction of Bacterial Isolates) 10-3 44 Antibiotic sensitivity testing (Appendiction of Bacterial Isolates) 11-3 44 Statistical analysis (Appendiction of Bacterial Isolates) 4 44 Statistical analysis (Appendiction of Bacterial Isolates) 4 45-46 Results and discussion (Appendiction of Bacterial Isolates) 1-4 47-46 (Appendiction of Zinc Oxide (Appendiction of Bacterial Isolates) 1-4 47-46 (Appendiction of Zinc Oxide (Appendiction of Bacterial Isolates) 1-4 47-46 (Appendiction of Zinc Oxide (Append	41-40	الخصائص المجهرية(Microscopical Characteristics)	3-1-6-3
42-41 Microscopical Examination الفحص المجهري T-3-6-3 42 Revitalization of Bacterial Isolates المتنبي المختبر الأسلام المحلورات العنقودية الذهبية T-3-8-3 42 Short term storage-awil القصير الأسلام المحلورات العنقودية الذهبية T-3-8-3 43-42 التراكيز الفعالة (جسيمات أكسيد الزنك الناتوية) ضد المكورات العنقودية الذهبية T-3-8-3 44 Assay of Inhibition Zonebushin Inhibition Inhibition Inhibition Zonebushin Inhibition Inhibi	42-41	تشخیص بکتریاEscherichia coli	2-6-3
42 Revitalization of Bacterial Isolates 7-3 42 Short term storage المنافرة (خسيمات المسيد الإنك النانوية) ضد المكورات العنفودية الذهبية 8-3 43-42 أحفظ العزلات القصير الإنك النانوية) ضد المكورات العنفودية الذهبية 9-3 43 Assay of Inhibition Zoncbuship in Early (Author) 10-3 44 Antibiotic sensitivity testing المسيدة المضادات الحيوية المساعية المضادات الحيوية المساعية	41	الخصائص المزرعية (Colonial Morphology) والمظهرية	1-2-6-3
42 Short term storage القصير الأمد عفظ العزلات القصير الأمد المكورات العنقودية الذهبية 8-3 43 Assay of Inhibition Zone اختبار منطقة التثبيط المنطقة التثبيط المنطقة التثبيط المنطقة التثبيط المنطقة التثبيط المصادات الحيوية Antibiotic sensitivity testing الحياية المصادات الحيوية المصادات الحيوية Statistical analysis 11-3 44 Statistical analysis المصادات الحيوية المصادات الحيوية Results and discussion التعليم الإنتانج والمناقشة المسادية 4 72-46 Results and discussion المسادية والمناقشة المسادية المسادية 4 51-46 Characterization of Zinc Oxide (XXD) المسادية المسا	42-41	الفحص المجهري Microscopical Examination	2-2-6-3
43-42 التراكيز الفعالة (جسيمات أكسيد الزنك النانوية) ضد المكورات العقودية الذهبية 9-3 43 Assay of Inhibition Zone 10-3 44 Antibiotic sensitivity testing المضادات الحيوية المضادات الحيوية Statistical analysis 11-3 44 Statistical inalysis 12-3 72-46 Results and discussional limit of the property of the p	42	Revitalization of Bacterial Isolates تنشيط العزلات البكتيرية	7-3
43 Assay of Inhibition Zone اختبار منطقة التثبير منطقة التثبير علائلة المضادات الحيوية Inhibition Zone المحتبار عساسية المضادات الحيوية المضادات الحيوية المضادات الحيوية المضادات الحيوية التحتبار الإحصائي Infants 11-3 44 Statistical analysis 12-3 72-46 Results and discussion analysis 4 51-46 Characterization of Zinc Oxide in June and like in June in	42	حفظ العزلات القصير الأمدShort term storage	8-3
44 Antibiotic sensitivity testing المضادات الحيوية المضادات الحيوية المضادات الحيوية المضائية المضائية المضائية المضائية المضائية المضائية المحال الرابع: النتائج والمناقشة المائية المائية المحلل الرابع: النتائج والمناقشة المحلل الرابع: النتائج والمناقشة المينية: (Ananoparticles	43-42	التراكيز الفعالة (جسيمات أكسيد الزنك النانوية) ضد المكورات العنقودية الذهبية	9-3
44 Statistical analysis التحليل الإحصائي التحليل الإحصائي 12-3 72-46 Results and discussion والمناقشة والمناقشة والمناقشة المدينة والمناقشة المدينة الزنك الناثوية المدينة الم	43	اختبار منطقة التثبيطAssay of Inhibition Zone	10-3
72-46 Results and discussion والمناقشة والمناقشة والمناقشة (Characterization of Zinc Oxide توصيف جسيمات أكسيد الزنك الناتوية (Nanoparticles) 1-4 47-46 (XRD) : تحليل حيود الأشعة السينية: 1-1-4 47 (TEM) نتيجة تحليل المجهر الإلكتروني النافذ (SEM) 3-1-4 48 (SEM) نتيجة تحليل المجهر الإلكتروني الماسح (FTIR) 4-1-4 50 (EDX) نتيجة تحليل الأشعة تحت الحمراء بامتصاص فورييه (EDX) 5-1-4 51 نتيجة قياس فرق الجهد السطحي (Zeta Potential) لجسيمات أكسيد الزنك الناتوية 5-1-4 55-52 (S.aureus) لجسيمات أكسيد الزنك الناتوية (S.aureus) 2-4 52 (Colonial Morphology) 1-2-4 54-52 (Biochemical Test) 1-2-4 54-54 (Microscopical Examination) 3-2-4	44	اختبار حساسية المضادات الحيويةAntibiotic sensitivity testing	11-3
1-46 Characterization of Zinc Oxide المنافية السينية المعرود الأسعة السينية: (A7-46 47-46 (XRD): تحليل حيود الأشعة السينية: (TEM) 47 (TEM) نتيجة تحليل المجهر الإلكتروني الماسح (SEM) 48 (SEM) نتيجة تحليل المجهر الإلكتروني الماسح (FTIR) 49 (FTIR) نتيجة تحليل الأشعة تحت الحمراء بامتصاص فورييه (EDX) 50 (EDX) نتيجة تحليل تشتت الطاقة للأشعة السينية (Zeta Potential) 51 نتيجة قياس فرق الجهد السطحي (Zeta Potential) لجسيمات أكسيد الزنك النانوية 55-52 (S.aureus) لجسيمات أكسيد الزنك النانوية 52 (Colonial Morphology) 54 (Biochemical Test) 54 (Microscopical Examination) 3-2-4	44	التحليل الإحصائيStatistical analysis	
Nanoparticles 47-46 (XRD) : تحليل حيود الأشعة السينية (XRD) 1-1-4 47 (TEM) نتيجة تحليل المجهر الإلكتروني الماسح (SEM) 2-1-4 48 (SEM) نتيجة تحليل المجهر الإلكتروني الماسح (FTIR) 3-1-4 49 (FTIR) نتيجة تحليل الأشعة تحت الحمراء بامتصاص فورييه (EDX) 50 50 (EDX) نتيجة قياس فرق الجهد السطحي (Zeta Potential) لجسيمات أكسيد الزنك الناتوية (S.aureus) 5-1-4 55-52 (S.aureus) لجسيمات أكسيد الزنك الناتوية (Colonial Morphology) 2-4 55 (Colonial Morphology) 1-2-4 54-52 (Biochemical Test) 2-2-4 54-52 (Microscopical Examination) 3-2-4	72-46	الفصل الرابع: النتائج والمناقشة Results and discussion	4
47 (TEM) نتيجة تحليل المجهر الإلكتروني النافذ (SEM) 48 (SEM) نتيجة تحليل المجهر الإلكتروني الماسح (SEM) 49 (FTIR) نتائج تحليل الأشعة تحت الحمراء بامتصاص فورييه (FTIR) 50 (EDX) نتيجة تحليل تشتت الطاقة للأشعة السينية (EDX) 51 نتيجة قياس فرق الجهد السطحي (Zeta Potential) لجسيمات أكسيد الزنك النانوية 6-1-4 تشخيص بكتيريا المكورات العنقودية الذهبية (S.aureus) 55-52 (Colonial Morphology) 55-52 (Siochemical Test) 55-52 (Biochemical Test) 54 (Microscopical Examination) 3-2-4	51-46		1-4
48 (SEM) انتيجة تحليل المجهر الإلكتروني الماسح (SEM) 3-1-4 49 (FTIR) نتائج تحليل الأشعة تحت الحمراء بامتصاص فورييه (EDX) 4-1-4 50 (EDX) نتيجة تحليل تشتت الطاقة للأشعة السينية (EDX) 5-1-4 51 نتيجة قياس فرق الجهد السطحي (Zeta Potential) لجسيمات أكسيد الزنك النانوية 6-1-4 55-52 (S.aureus) لجسيمات أكسيد الزنك النانوية الذهبية (Colonial Morphology) 2-4 52 (Colonial Morphology) 1-2-4 54-52 (Biochemical Test) 2-2-4 54 (Microscopical Examination) 3-2-4	47-46	تحليل حيود الأشعة السينية: (XRD)	1-1-4
49 (FTIR) نتائج تحليل الأشعة تحت الحمراء بامتصاص فورييه (FTIR) 4-1-4 50 (EDX) نتيجة تحليل تشتت الطاقة للأشعة السينية (5-1-4 51 نتيجة قياس فرق الجهد السطحي (Zeta Potential) لجسيمات أكسيد الزنك النانوية (5-1-4 55-52 (S.aureus) لجسيمات أكسيد الذهبية (S.aureus) لا المكورات العنقودية الذهبية (Colonial Morphology) الخصائص المزرعية (Colonial Morphology) الفحوصات الكيموحيوية (Biochemical Test) الفحوصات الكيموحيوية (Biochemical Test) الفحوصات الكيموحيوية (Microscopical Examination) 2-2-4 54 (Microscopical Examination) 3-2-4	47	نتيجة تحليل المجهر الإلكتروني النافذ(TEM)	2-1-4
50 (EDX) 51-4 نتيجة تحليل تشتت الطاقة للأشعة السينية (Zeta Potential) 51 نتيجة قياس فرق الجهد السطحي (Zeta Potential) 55-52 (S.aureus) 52 (Colonial Morphology) 52 الخصائص المزرعية (Biochemical Test) 54 (Microscopical Examination) 54 (Microscopical Examination)	48	نتيجة تحليل المجهر الإلكتروني الماسح(SEM)	3-1-4
51 نتيجة قياس فرق الجهد السطحي (Zeta Potential) لجسيمات أكسيد الزنك النانوية 6-1-4 55-52 تشخيص بكتيريا المكورات العنقودية الذهبية (S.aureus) 52 (Colonial Morphology) 54 (Biochemical Test) 54 (Microscopical Examination) 54 (Microscopical Examination)	49	نتائج تحليل الأشعة تحت الحمراء بامتصاص فورييه(FTIR)	4-1-4
55-52 (S.aureus) تشخيص بكتيريا المكورات العنقودية الذهبية 2-4 52 (Colonial Morphology) الخصائص المزرعية 1-2-4 54 (Biochemical Test) الفحوصات الكيموحيوية 2-2-4 54 (Microscopical Examination) التشخيص المجهري 3-2-4	50	نتيجة تحليل تشتت الطاقة للأشعة السينية(EDX)	5-1-4
52 (Colonial Morphology) الخصائص المزرعية (Eiochemical Test) 1-2-4 54-52 (Biochemical Test) الفحوصات الكيموحيوية (Microscopical Examination) 2-2-4 54 (Microscopical Examination) 3-2-4	51	نتيجة قياس فرق الجهد السطحي (Zeta Potential) لجسيمات أكسيد الزنك النانوية	6-1-4
12-2-4 (Biochemical Test) الفحوصات الكيموحيوية (Biochemical Test) التشخيص المجهري (Microscopical Examination) 3-2-4	55-52	تشخيص بكتيريا المكورات العنقودية الذهبية(S.aureus)	2-4
54 (Microscopical Examination) التشخيص المجهري	52	الخصائص المزرعية(Colonial Morphology)	1-2-4
	54-52	الفحوصات الكيموحيوية(Biochemical Test)	2-2-4
55-54 Vitek-2 Compact فحص 4-2-4	54	التشخيص المجهري (Microscopical Examination)	3-2-4
	55-54	فحص Vitek-2 Compact	4-2-4

الصفحة	الموضوع	التسلسل
56-55	تشخيص بكتريا الإشريكية القولونية(E.coli)	3-4
56-55	الخصائص المزرعية (Colonial Morphology) والمظهرية (Morphological) (Characteristics	1-3-4
56	التشخيص المجهري(Microscopical Examination)	2-3-4
56	فحص Vitek-2 Compact	3-3-4
58-57	النشاط المضاد للبكتيرياAntibacterial Effect	4-4
59	دراسة تراكيز مختلفة من المادة النانوية Study of different concentrations of من المادة النانوية nanomaterial	5-4
60-59	قابلية حامض البروبيونيك على تثبيط نمو بكتيريا القولونية (E.coli)	6-4
59	قابلية اكسيد الزنك النانوي في تثبيط بكتريا القولون	1-6-4
60-59	التأثير المدمج لحامض البروبيونيك و اكسيد الزنك النانوي في تثبيط بكتريا القولون	2-6-4
66-61	قابلية حامض البروبيونك على تثبيط نمو بكتيريا المكورات العنقودية الذهبية (S.) (aureus)	
61	قابلية اكسيد الزنك النانوي في تثبيط بكتريا المكورات العنقودية الذهبية	1-7-4
62-61	التأثير المدمج لحامض البروبيونيك واوكسيد الزنك النانوي في تثبيط بكتريا المكورات العنقودية الذهبية	2-7-4
67-63	تأثير تراكيز مختلفة من مزيج حمض البروبيونيك وجسيمات أكسيد الزنك النانوية (ZnO) على قطرمنطقة التثبيط لبكتيريا المكورات العنقودية الذهبية (NPs). والإشريكية القولونية (E. coli).	8-4
68-67	قابلية حمض الستريك على تثبيط نمو بكتيريا القولونية (E. coli)	9-4
67	قابلية اكسيد الزنك النانوي في تثبيط بكتريا القولون	1-9-4
68-67	التأثير المدمج لحامض البروبيونيك واكسيد الزنك النانوي في تثبيط بكتريا القولون	2-9-4
70-68	قابلية حمض الستريك على تثبيط نمو بكتيريا العنقوديات الذهبية (S. aureus)	10-4
68	قابلية أكسيد الزنك النانوي في تثبيط بكتريا المكورات العنقودية الذهبية	1-10-4
70-68	تأثير المدمج لحامض البروبيونيك و اكسيد الزنك النانوي في تثبيط بكتريا المكورات العنقودية الذهبية	2-10-4
72-70	تأثير تراكيز مختلفة من حمض الستريك وأكسيد الزنك النانوي (ZnO NPs) والمزيج المشترك على تثبيط نمو بكتيريتي المكورات العنقودية الذهبية (S. aureus) والبكتريا القولونية (E. coli)	11-4
75-74	الفصل الخامس: الاستنتاجات والتوصيات Conclusions and) Recommendations)	5
74	الاستنتاجاتConclusions	1-5
75-74	التوصياتRecommendations	2-5
90-77	المصادر	
92	الملاحق: جدول يوضح قيم PH الحامضي في مختلف المعاملات	-
A	الملخص الانكليزي	-

قائمة الجداول

الصفحة	الجدول
28	(1-3) : المعدات والأجهزة
29	(2-3) : المواد الكيميائية
30	(3-3) : المضادات الحياتية
30	(3-4): الأوساط الزراعية
48	(1−4) القمم في تحليل XRD

قائمة الاشكال

الصفحة		الشكل
	الفصل الثاني	
16	تصنيف المواد النانوية (Mekuye & Abera, 2023)	شكل 2–1
19	توضيح منهجيتي التركيب التنازلي (Top-Down Synthesis) والتصاعدي (Bottom-Up Synthesis)	شكل 2-2
21	آلية النشاط المضاد للميكروبات لجسيمات أكسيد الزنك النانوية	شكل 2–3
23	الآلية المضادة للميكروبات+463. التي تمارس بها الأحماض العضوية تأثيراتها	شكل 2–4
25	آلية عمل حمض الستريك على الخلية البكتيرية	شكل 2–5
	الفصل الثالث	
31	الخطوات العملية المتبعة في الجزء العملي	شكل 3–1
32	جسيمات أكسيد الزنك النانوية (ZnO NPs).	شكل 3-2
39	بكتريا S. aureus المزروعة على وسط الأكار المغذي (Mannitol Salt Agar)	شكل 3–3
41	بكتريا E.coli المزروعة على وسط MacConkey Agar	شكل 3-4
	الفصل الرابع	
46	نتائج تحليل حيود الأشعة السينية لجسيمات أكسيد الزنك النانوية	شكل 4–1
48	صور المجهر الإلكتروني النافذ (TEM) لجسيمات أكسيد الزنك النانوية	شكل 4–2
49	صور تحليل SEM لجسيمات أكسيد الزنك النانوية	شكل 4–3
50	مخطط لنتيجة تحليل FTIR	شكل 4–4
50	طيف تحليل EDX يوضح توزيع عناصر Zn وO في عينة أكسيد الزنك النانوية	شكل 4–5
51	قياسات فرق الجهد السطحي (Zeta Potential) لثلاث عينات من جسيمات أكسيد الزنك النانوية	شكل 4–6
52	نمو بكتيريا S. aureus على وسط أگار المانيتول الملحي (MSA)	شكل 4–7
53	اختبار الكاتليز (Catalase Test)	شكل 4–8

الصفحة		الشكل
53	اختبار الأوكسيديز (Oxidase Test)	شكل 4-9
54	نمو المكورات العنقودية الذهبية على وسط Blood agar	شكل 4–10
54	المكورات العنقودية الذهبية S. aureus تحت المجهر الضوئي	شكل 4–11
55	نتيجة جهاز Vitek 2 compact لتشخيص بكتريا المكورات العنقودية الذهبية S.aureus	شكل 4–12
56	بكتيريا الإشريكية القولونية (E. coli) على أكار EMB.	شكل 4-13
56	الإشريكية القولونية E.coli تحت المجهر الضوئي	شکل 4–14
57	نتيجة جهاز Vitek 2 compact لتشخيص بكتريا الإشريكية القولونية (E. coli)	شكل 4–15
58	A) تأثیر أکسید الزنك غیر النانوي على بکتیریا S. aureus (B) تأثیر أکسید الزنك النانوي على بکتیریا S. aureus	شكل 4–16
58	(A) تأثير أكسيد الزنك غير النانوي على بكتيريا الإشريكية القولونية (E. coli)) (B) تأثير أكسيد الزنك النانوي على بكتيريا الإشريكية القولونية (E. coli)).	شكل 4–17
60	التأثير المثبط لحمض البروبيونيك (P.A) وأوكسيد الزنك النانوي (ZnO N) والمزيج منهما على بكتيريا E. coli.	شكل 4–18
60	E. coli))) تأثير حمض البروبيونيك بتركيز 2% على نمو بكتيريا الإشريكية القولونية (A) (B) التأثير المشترك لأكسيد الزنك النانوي وحمض البروبيونيك على نمو بكتيريا الإشريكية القولونية (E. coli)) (E. coli)) على نمو بكتيريا الإشريكية القولونية (C) تأثير المضاد الحيوي أزتريونام (Aztreonam) على نمو بكتيريا الإشريكية القولونية (E. coli)	شكل 4–19
62	التأثير المثبط لحمض البروبيونيك (P.A) وأوكسيد الزنك النانوي (ZnO N) والمزيج منهما على بكتيريا S.aureus بكتيريا (A)يوضح الرسم البياني الشريطي مقارنة بين تأثير كل مادة على حدة (B)يوضح الرسم البياني الخطي مقارنة بين تأثير كل مادة على حدة.	شكل 4–20
62	(A) تأثير حمض البروبيونيك بتركيز 2% على نمو بكتيريا المكورات العنقودية الذهبية (A) (aureus) (B) التأثير المشترك لأكسيد الزنك النانوي وحمض البروبيونيك على نمو بكتيريا المكورات العنقودية الذهبية (S. aureus) (C) تأثير المضاد الحيوي أميكاسين (Amikacin) على نمو بكتيريا المكورات العنقودية الذهبية (C) (S. aureus)	شكل 4-21
64	تأثير تراكيز مختلفة من حمض البروبيونيك وجسيمات أكسيد الزنك النانوية (ZnO NPs) على قطر منطقة التثبيط لبكتيريا المكورات العنقودية الذهبية (S. aureus) والإشريكية القولونية (E. coli)	شكل 4-22
68	التأثير المثبط لحامض الستريك وأوكسيد الزنك النانوي (ZnO N) والمزيج منهما على بكتيريا E.coli	شکل 4–23
68	(A) تأثير حمض الستريك بتركيز 2% على نمو بكتيريا الإشريكية القولونية (E. coli) (B) التأثير المشترك لأكسيد الزنك النانوي وحمض الستريك على نمو بكتيريا الإشريكية القولونية (E. coli)	شکل 4–24

الصفحة		الشكل
	(C) تأثير المضاد الحيوي أزتريونام (Aztreonam) على نمو بكتيريا الإشريكية القولونية (E. coli)	
69	التأثير المثبط لحامض الستريك (C.A) وأوكسيد الزنك النانوي (ZnO N) والمزيج منهما	شكل 4-25
09	علىبكتيريا S.aureus	
	(A)تأثیر حمض الستریك بتركیز 2% علی نمو بكتیریا (S. aureus)	شكل 4-26
70	(B) التأثير المشترك لأكسيد الزنك النانوي وحمض الستريك على نمو بكتيريا (S. aureus)	
	(C) تأثير المضاد الحيوي Amikacinعلى نمو بكتيريا (S. aureus)	
71	تأثير تراكيز مختلفة من حمض الستريك وجسيمات أكسيد الزنك النانوية (ZnO NPs) على قطر منطقة	شكل 4-27
/1	التثبيط لبكتيريا المكورات العنقودية الذهبية (S. aureus) والإشريكية القولونية (E. coli).	

جدول المختصرات والرموز

33 3 3	حارب المستعرب	
(Explanation / بالإنجليزية) المعنى	المعنى (بالعربية)	المختصر أو الرمز
Zinc Oxide Nanoparticles	جسيمات أكسيد الزنك النانوية	ZnO NPs
Escherichia coli	الإشريكية القولونية	E. coli
Staphylococcus aureus	المكورات العنقودية الذهبية	S. aureus
X-Ray Diffraction	حيود الأشعة السينية	XRD
Transmission Electron Microscopy	المجهر الإلكتروني النافذ	TEM
Scanning Electron Microscopy	المجهر الإلكتروني الماسح	SEM
Fourier-Transform Infrared Spectroscopy	مطيافية الأشعة تحت الحمراء بتحويل فوربيه	FTIR
Energy-Dispersive X-ray spectroscopy	مطيافية تشتت الطاقة للأشعة السينية	EDX
Deoxyribonucleic Acid	الحمض النووي الريبوزي منقوص الأكسجين	DNA
Ribosomal Ribonucleic Acid	الحمض النووي الريبوزي الريبوسومي	rRNA
Coagulase-Negative Staphylococci	مكورات عنقودية سالبة لإنزيم الكواجيوليز	CoNS
Coagulase-Positive Staphylococci	مكورات عنقودية موجبة لإنزيم الكواجيوليز	CoPS
M <i>et</i> hicillin-Resistant Staphylococcus aureus	المكورات العنقودية الذهبية المقاومة للميثيسيلين	MRSA
Toxic Shock Syndrome Toxin	سم متلازمة الصدمة السمية	TSST
Extraintestinal Pathogenic E. coli	الإشريكية القولونية الممرضة خارج الأمعاء	EXPEC
Enterohemorrhagic / Shiga toxin- producing E. coli	الإشريكية القولونية المعوية النزفية/المنتجة لسموم شيجا	EHEC/STEC
Enterotoxigenic E. coli	الإشريكية القولونية المسببة للتسمم المعوي	<i>ET</i> EC

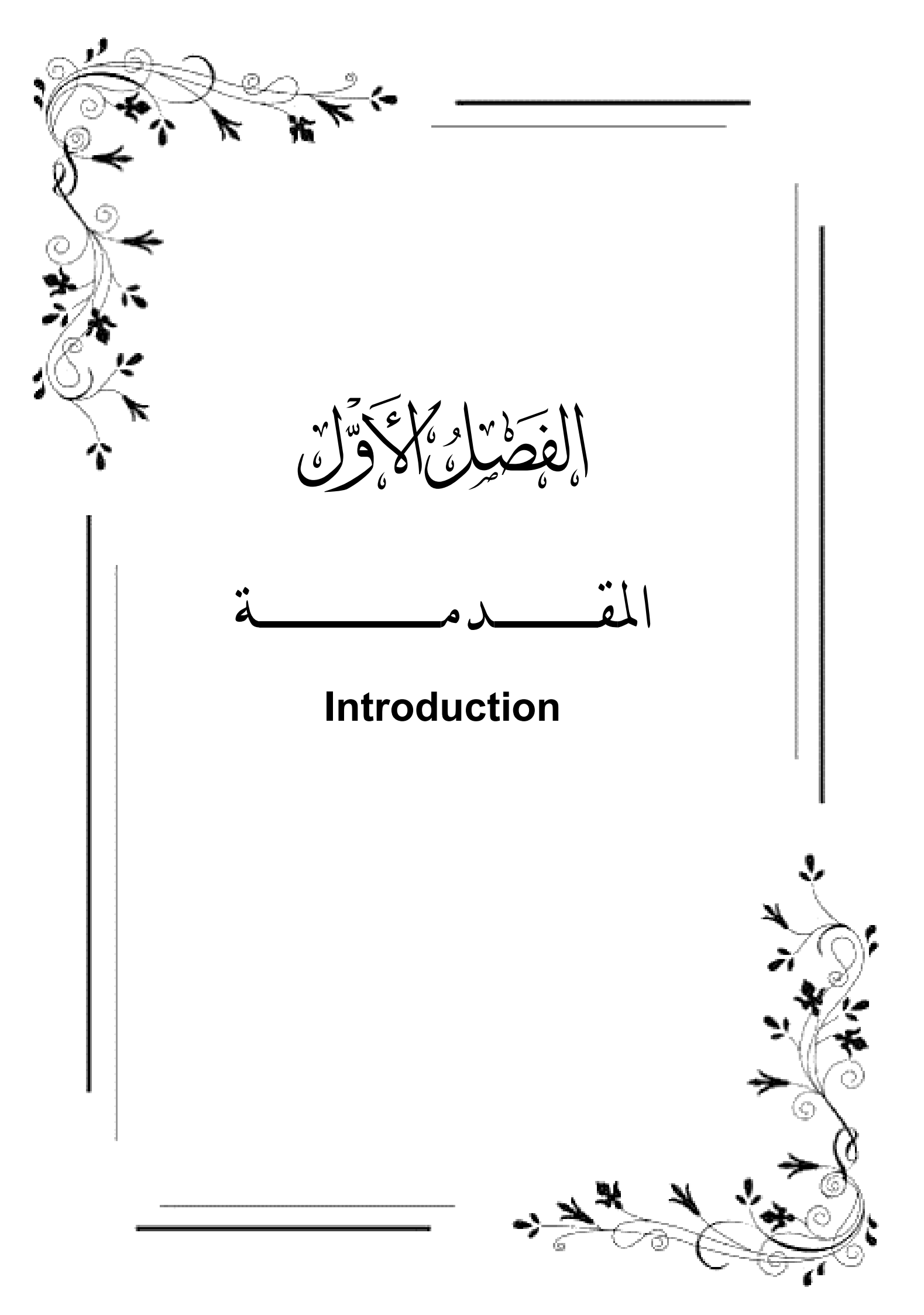


(Explanation / بالإنجليزية) المعنى	المعنى (بالعربية)	المختصر أو الرمز
Enteropathogenic E. coli	الإشريكية القولونية المسببة للأمراض المعوية	EPEC
Enteroinvasive E. coli	الإشريكية القولونية الغازية للأمعاء	EIEC
Enteroaggregative E. coli	الإشريكية القولونية المتجمعة المعوية	EAEC
Diffusely Adhering E. coli	الإشريكية القولونية الملتصقة بشكل منتشر	DAEC
Lipopolysaccharide	عديد السكاريد الشحمي	LPS
Reactive Oxygen Species	أنواع الأكسجين التفاعلية	ROS
Propionic Acid	حمض البروبيونيك	P.A.
Citric Acid	حمض الستريك	C.A.
Clinical & Laboratory Standards Institute	معهد المعابير السريرية والمخبرية	CLSI
Statistical Package for the Social Sciences	الحزمة الإحصائية للعلوم الاجتماعية	SPSS
Least Significant Difference	أقل فرق معنوي	LSD
Joint Committee on Powder Diffraction Standards	Joint Committee on Powder Diffraction Standards	JCPDS
Acid Dissociation Constant	ثابت تفكك الحمض	Pka
Proton Motive Force	القوة الدافعة للبروتون	PMF
Adenosine Triphosphate	أدينوسين ثلاثي الفوسفات	ATP
Coenzyme A	A الإنزيم المساعد	CoA
Food and Drug Administration	إدارة الغذاء والدواء الأمريكية	FDA
Hydrogen Peroxide	بيروكسيد الهيدروجين	H ₂ O ₂



الخلاصة

هدفت الدراسة إلى تحضير جسيمات نانوية من أكسيد الزنك (ZnO NPs) عبر تقنية السول-جل وتقييم فعاليتها المضادة للميكروبات بمفردها وعند خلطها مع الاحماض العضوية. تم تشخيص الخصائص الفيزيائية والكيميائية والفيزيائية - الكيميائية للمادة النانوية المُصنَّعة باستخدام حزمة تقنيات تشمل: حيود الأشعة السينية (XRD)، والمجهر الإلكتروني النافذ (TEM) ، والمجهر الإلكتروني الماسح (SEM)، ومطيافية الأشعة تحت الحمراء (FTIR)، والتحليل الطيفي للطاقة المشتتة للأشعة السينية (EDX)، وقياس جهد زيتا .(Zeta) أكدت النتائج تشكل جسيمات نانوية متبلورة شبه كروية الشكل، يتراوح قطرها بين 20-50 نانومتر، مع تجانس ملحوظ في التوزيع. تم عزل سلالات بكتيرية من Staphylococcus aureus و Escherichia coli من مستشفى الطفل والولادة في ميسان، وجرى تأكيد هويتها عبر نظام 2، مدعوماً باختبارات كيميائية حيوية ومجهرية وزرعيه قياسية. اختُبرت الفعالية المضادة للبكتيريا لجسيمات أكسيد الزنك النانوية وحدها ومدمجة مع حمضى البروبيونيك (Propionic Acid) والستريك (Citric Acid)، مع تقييم مقارن لحساسية العز لات للمضادين: أز تريونام (Aztreonam) وأميكاسين (Amikacin) باستخدام اختبار الانتشار القرصى. أظهر التحليل الإحصائي ببرنامج SPSS (الإصدار 26) باستخدام ANOVA تأثيراً تآزرياً معنويًا (p<0.05) عند دمج الجسيمات النانوية مع الأحماض العضوية، تفوق مزيج (ZnO NPs + حامض الستريك) في تثبيط E. coli حيث وصل قطر منطقة التثبيط الى ($28.0 \pm 0.37 \pm 0.37 \pm 0.32$ ملم). بينما سجل مزيج (حامض .S. aureus الستريك (24.6 ± 24.6) بلم ألى ال 26 ± 26.4 ملم ألى الستريك ($26\pm24.6\pm20.0$) ملم ألى الستريك (26 ± 26.4) من الستريك ، كما لوحظ تفوق حامض البروبيونيك معنوياً على حمض الستريك في تعزيز النشاط المضاد للبكتيريا تجاوزت التركيبات النانوية المُحسَّنة فعالية المضادات الحيوية، حيث سجل الأزتريونام تثبيطًا لـE. coli ملم S.aureus (21.0 ± 0.38 لأميكاسين تثبيطاً لـ 0.38 ± 22.7 ملم ملم الأميكاسين الميكاسين ملم الأميكاسين الميكاسين ، 0.48 ± 21.5 ملم). تُبرز هذه النتائج إمكانية استخدام الجسيمات النانوية لأكسيد الزنك المدعومة بالأحماض العضوية كبدائل و اعدة للمضادات التقليدية.



الفصل الأول المقدمة

(1-1) المقدمة Introduction:

تُعد الكائنات الحية الدقيقة، وخاصة البكتيريا، جزءًا لا يتجزأ من النظم البيئية على كوكب الأرض، وتنتشر على نطاق واسع في جميع البيئات، بما في ذلك داخل جسم الإنسان. (Deen, 2023)، تتميز البكتيريا ككائنات مجهرية وحيدة الخلية، بكونها الأقل تعقيدًا من الناحية البنيوية بين الكائنات الحية الدقيقة، إلا أنها تُظهر مرونة وتنوعًا هائلين، حيث يُقدر وجود أكثر من 50 شعبة بكتيرية بناءً على الدقيقة، إلا أنها تُظهر مرونة وتنوعًا هائلين، حيث يُقدر وجود أكثر من 50 شعبة بكتيرية بناءً على تسلسل 16S rRNA المحفوظ. على الرغم من أن معظم أنواع البكتيريا غير ضارة أو حتى مفيدة، إلا أن بعضها يُعرف بقدرته على إحداث مجموعة واسعة من الأمراض الخطيرة التي تصيب البشر والحيوانات على حد سواء .(Maraz & Khan, 2021)

في سياق التطور المستمر للبكتيريا، برز تحدٍ عالمي ملح يتمثل في تنامي مقاومة المضادات الحيوية، مما يستلزم استكشاف وتطوير استراتيجيات جديدة ومبتكرة لمكافحة الميكروبات (Mbarga Manga et al., 2022) تُعتبر المكورات العنقودية الذهبية (Staphylococcus aureus) من أبرز النماذج (Escherichia coli) و القولونية (Staphylococcus aureus) من أبرز النماذج البكتيرية ذات الأهمية الطبية الكبيرة، حيث ترتبط كلتا البكتيريتين بمجموعة واسعة من الأمراض، تتراوح شدتها من الالتهابات الجلدية البسيطة (Fayisa & Tuli, 2023) ، العدوى الجهازية الخطيرة التي قد تؤدي إلى الوفاة (Ghernaout et al. 2022)

هذه الأهمية السريرية المتزايدة للمكورات العنقودية الذهبية والإشريكية القولونية، فضلا" عن قدرتهما على تطوير آليات مقاومة للمضادات الحيوية، تضع ضغطًا كبيرًا على البحث العلمي لإيجاد حلول علاجية فعالة.

في هذا الإطار، يزداد الاهتمام بالدور المتزايد لتقنية النانو والأحماض العضوية كسبل واعدة لمكافحة العدوى البكتيرية. تُعرف تقنية النانو بأنها العلم والهندسة والتكنولوجيا التي تُجرى على مقياس النانو، لقد أحدثت هذه التقنية ثورة في العديد من المجالات العلمية، بما في ذلك الطب الحيوي (Hassan, 2018)، حيث تُعد الجسيمات النانوية، مثل جسيمات أكسيد الزنك النانوية (Zn NPs)، أداة واعدة للغاية وقد برز الزنك (Zn) وأكسيد الزنك (Zn) كعوامل مضادة للبكتيريا ذات فاعلية عالية، حيث يُستخدمان في العديد من التطبيقات، وذلك لثباتهما العالي وخصائصهما المضادة للميكروبات. تعمل هذه المواد على إتلاف جدران الخلايا البكتيرية، وتثبيط تكوين الخلايا، ومنع تخليق البروتين، وتقليل نفاذية الغشاء، وتعطيل العمليات الأيضية البكتيرية وذلك نتيجة لتفاعل أيونات الزنك مع الجزيئات البيولوجية (EI-Fallal et al., 2023).

تتمتع جسيمات أكسيد الزنك النانوية (Zinc Oxide Nanoparticle) بتأثير مضاد للبكتيريا ، وهي أكثر تفاعلية من الزنك في صورته التقليدية، وذلك بفضل خصائصها الكيميائية والفيزيائية والبيولوجية الفريدة، مثل الخصائص الميكانيكية والمعناطيسية والكهربائية الانضعاطية، وقدرة الامتصاص القوية، والكفاءة التحفيزية العالية، والتوافق الحيوي، ونقطة التساوي الكهربائي العالية، وحركية نقل الإلكترون السريع، والذوبان والامتصاص الخلوي. ونظرًا لصغر حجمها ونسبة مساحة السطح إلى الحجم العالية، فإن جسيمات أكسيد الزنك النانوية تتميز بخصائص فريدة تميزها عن نظيراتها الأكبر حجمًا. وقد أظهرت الدراسات أن الجسيمات النانوية غير العضوية قادرة على اختراق الخلايا بسهولة عبر الثقوب الدقيقة في الأغشية البلازمية، وذلك بفضل مساحتها السطحية الهائلة. بالمقارنة مع الجسيمات النانوية الأخرى، أثبتت جسيمات أكسيد الزنك النانوية أنها الأكثر فعالية وقوة في مكافحة البكتيريا (EI-Fallal et al., 2023). بالتوازي مع ذلك، تُعد الأحماض العضوية، وهي مركبات طبيعية ذات خصائص مضادة للميكروبات، بدائل فعالة للمضادات الحيوية التقليدية.

(1-2) هدف الدراسة:

تهدف هذه الدراسة إلى تحضير وتوصيف الجسيمات النانوية لأكسيد الزنك (ZnO NPs)، وتقييم تأثير ها التآزري عند مزجها مع الأحماض العضيوية (حامض السيتريك وحامض البروبيونيك) كمواد مضادة للميكروبات. ويركز البحث على تحديد فعاليتها ضد بكتيريا الإشريكية القولونية (E.coli) وبكتيريا المكورات العنقودية الذهبية (S. aureus) في المختبر، مما يسهم في إيجاد بدائل مبتكرة وفعالة للمضادات الحيوية.



الفضياء الأسادي

استعراض المسراجع

Literature review



(1-2) البكتريا(Bacteria)

البكتيريا كائنات مجهرية وحيدة الخلية توجد في كل مكان على وجه الأرض، بما في ذلك داخل جسم الإنسان، ويضم جسم الإنسان تريليونات من البكتيريا، حيث تُعرف مجتمعة باسم الميكروبيوم البشري. تعيش هذه البكتيريا في أجزاء مختلفة من الجسم، بما في ذلك الجلد والفم والأمعاء والجهاز التناسلي(Deen, 2023). وهي الأقل تعقيدًا تركيبيًا بين الكائنات الدقيقة، ولكنها تتميز بمرونة أيضية عالية وتنوع كبير.

تعتبر البكتيريا بدائية النواة (Prokaryotic), وذلك لأن مادتها الوراثية (DNA) لا توجد داخل نواة حقيقية. معظم البكتيريا تملك جدرانًا خلوية تحتوي على الببتيدوغلايكان (Peptidoglycan)، وتُوصف غالبًا بناءً على شكلها العام. تشمل الأشكال الشائعة الكروية، العصوية، أو الحلزونية/المنحنية، يتراوح متوسط قطر البكتيريا بين 0.5-1 ميكرومتر وطولها بين 1-2 ميكرومتر، تتميز بمعدلات عالية من التكاثر (يمكن لبكتيريا القولونية E. coli أن تتكاثر بالانشطار الثنائي في أقل من 10 دقائق)، وأيضا نسبة مساحة سطح إلى حجم عالية، وقابلية جينية للتكيف، هذه البساطة النسبية تسمح للخلية البكتيرية بالاستجابة والتكيف السريع مع الظروف البيئية المتغيرة (Schloss & Handelsman, 2004).

(2-1-1) المكورات العنقودية الذهبية (Staphylococcus aureus)

تُعد المكورات العنقودية الذهبية من البكتيريا ذات الأهمية السريرية البالغة، وتتميز بخصائص مورفولوجية وفسيولوجية مميزة، بالإضافة إلى آليات إمراضية معقدة (Touaitia et al., 2025) .

(Morphological and الخصيائص المورفولوجية والفسيولوجية (Physiological Characteristics):

تُصنف المكورات العنقودية الذهبية ضمن البكتيريا موجبة گرام ، وهي غير متحركة ولا تشكل أبواعًا. تتميز بشكلها الكروي الذي يتراوح قطره بين 0.5 و 1.5 ميكرومتر. نتيجة لنمط انقسامها الخلوي، تظهر هذه البكتيريا في أزواج أو رباعيات أو سلاسل أو مجموعات عشوائية، وغالبًا ما تتخذ مظهرًا غير منتظم يشبه عناقيد العنب. تُعتبر المكورات العنقودية الذهبية لاهوائية اختيارية، مما يعني قدرتها على النمو في وجود أو غياب الأكسجين، باستثناء بعض الأنواع اللاهوائية النادرة مثل Staphylococcus sacchrolyticus والنوع الفرعي اللاهوائي من Staphylococcus sacchrolyticus (Salman, 2022).

5

تُظهر سلالات المكورات العنقودية الذهبية في الغالب نتائج إيجابية لاختبار الكاتليز، على الرغم من الإبلاغ عن سلالات نادرة سلبية لهذا الإنزيم, كما أنها سلبية لأنزيم الأوكسيديز السيتوكروم، باستثناء أنواع محددة مثل Sciuri و S. Vitulinus. الأوكسيديز السيتوكروم، باستثناء أنواع محددة مثل (lysostaphin)، وهو أنزيم معدني يحتوي هذه البكتيريا بحساسيتها لأنزيم الليزوزتافين (nostaphin)، وهو أنزيم معدني يحتوي على الزنك وله تأثير تحللي محدد على المكورات العنقودية الذهبية، إذ يعمل على تحليل روابط غليسين-غليسين (glycine-glycinebonds) في جدار الخلية الغني بالببتيدوجليكان المدمج بحمض التيكويك. (Salman, 2022)

تُظهر المكورات العنقودية الذهبية قدرة ملحوظة على النمو في بيئات ذات تركيز ملحي عالٍ، يصل إلى 10% من كلوريد الصوديوم، مما يصنفها ضمن الكائنات المحبة للملوحة. يمكنها النمو ضمن نطاق واسع من درجات الحرارة يتراوح بين 18 و 40 درجة مئوية، ويتمثل الأيض فيها في عمليتي التنفس والتخمر (Salman, 2022).

(Growth Conditions and Diagnostic ظروف النمو والسمات التشخيصية (2-1-1-2) Characteristics)

تزدهر المكورات العنقودية الذهبية في أوساط الاستنبات تحت ظروف هوائية أو قليلة الأكسجين(Zurita et al., 2010), تبلغ درجة الحرارة المثلى لنموها 37 درجة مئوية (المارعة المثلى), عند زراعتها على الأوساط الصلبة، تنتج هذه المكورات أصباعًا عند درجة حرارة الغرفة (20-25 درجة مئوية)، وتظهر مستعمراتها مستديرة ولامعة وناعمة. تتميز المستعمرات بلونها الأصفر الذهبي المميز عند زراعتها على وسط مانيتول ملحي، كما تُظهر منطقة شفافة حول المستعمرة على وسط أكار الدم، وهي ظاهرة تُعرف بتحلل بيتا (β-hemolysis)، مما يدل على تحلل الدم الكامل. ((2019) Conceição et al., 2019) تظهر هذه البكتيريا مقاومة للجفاف ودرجات وتنتج حمضًا من دون غاز (Schaechter, 2010) تُظهر هذه البكتيريا مقاومة للجفاف ودرجات الحرارة العالية حتى 50 درجة مئوية لمدة 30 دقيقة، لكنها تتأثر بالعديد من المواد الكيميائية مثل سداسي كلورو فين (hexachlorophene) بتركيز 33 ((2019) (المكورات العنقودية الذهبية إلى إنتاجها لصبغة كاروتينية تُسمى ستافيلوكسانثين المميز للمكورات العنقودية الذهبية إلى إنتاجها لصبغة كاروتينية تُسمى ستافيلوكسانثين (staphyloxanthin)) والتي تُعد أيضًا عامل ضراوة يُسهم في تقليل تعرض البكتيريا لتأثير أنواع (Bagnoli et al., 2017))

(Genetic Classification) التصنيف الوراثي (Genetic Classification)

Domain: Bacteria \rightarrow Kingdom: تُصنف المكورات العنقودية الذهبية ضمن Eubacteria \rightarrow Phylum: Firmicutes \rightarrow Class: Bacilli \rightarrow Order: Bacillales \rightarrow Family: Staphylococcaceae \rightarrow Genera: Staphylococcus \rightarrow Species: Staphylococcus Integrated Taxonomic هذا التصنيف وفقًا لنظام معلومات التصنيف المتكامل (ITIS) Information System

(2-1-1-2) الوبائية Epidemiology:

من الناحية الوبائية، تتواجد معظم أنواع المكور إت العنقودية في الأغشية المخاطية والجلد للثدييات والكائنات الحية الأخرى (Carroll et al., 2017) , تُعد S. aureus من أكثر مسببات الأمراض البشرية شيوعًا ضمن عائلة المكورات العنقودية، وتشاركها في ذلك أنواع أخرى إيجابية لأنزيم الكواجيوليز CoPS) Coagulase-Positive Staphylococci) مثل Staphylococcus hyicus ,Staphylococcus ,Staphylococcus lutrae ,intermedius Palavecino,) Staphylococcus pharmaceutical , Staphylococcus delphini 2007) . تُعتبر المنطقة الأمامية للأنف بيئة مثالية لاستيطان S. aureus، حيث تُظهر الدراسات أن حوالي 50% من البشر يحملون هذه البكتيريا في تلك المنطقة، إما بشكل دائم أو مؤقت (Foster, 2004), من هذه المنطقة، يمكن أن تنتقل البكتيريا إلى الجلد ومناطق أخرى في الجسم (Dumitrescu et al., 2011), يزداد معدل الإصابة بهذه البكتيريا بشكل ملحوظ لدى مرضى السكري من النوع الأول المعتمدين على الأنسولين، والمرضي الذين يتلقون غسيل الكلي على المدى الطويل، وموظفى الرعاية الصحية، ومتعاطى المخدرات غير المشروعة (Gitau et al., 2018), تُعد المكورات العنقودية السلبية للكواجيوليز Coagulase-Negative Staphylococci (CONS) السبب الأكثر شيوعًا للعدوى المكتسبة من المستشفيات في مجرى الدم، وترتبط أحيانًا بالقسطرة الوريدية الطرفية (Rasheed & Hussein, 2021).

(Pathogenicity) الإمراضية (Pathogenicity):

تُعد المكورات العنقودية الذهبية كائنًا انتهازيًا يستوطن الأغشية المخاطية والجلد، وقد تتحول إلى مسبب للأمراض عند اختراق الحواجز الجلدية أو الظهارية نتيجة للصدمات أو التدخلات الطبية. تُسبب هذه البكتيريا مجموعة واسعة من الأمراض للبشر والحيوانات، وذلك بفضل امتلاكها لعوامل ضراوة

متعددة مثل المواد اللاصقة، الإنزيمات، والسموم. فضلا" عن ذلك، طورت المكورات العنقودية الذهبية استراتيجيات معقدة للهروب من الجهاز المناعي للمضيف. (Salman, 2022)

تُعد المقاومة المتزايدة للمضادات الحيوية، وخاصة مجموعة البنساين، تحديًا كبيرًا في علاج عدوى المكورات العنقودية الذهبية، مما جعلها سببًا رئيسيًا لالتهاب الجلد والأنسجة الرخوة (SSTIs) عدوى المكورات العنقودية الذهبية، مما جعلها سببًا رئيسيًا لالتهاب الجلد والأنسجة الرخوة (Skin and Soft Tissue Infections) , تتضمن أمراضها الاستعمار، والانتشار الجهازي، والعدوى الموضعية، والعدوى المنتقلة ، والتسمم. عند دخول البكتيريا إلى الجلاء تستجيب خلايا الجهاز المناعي للمضيف، حيث تهاجر العدلات والبلعميات إلى موقع العدوى. ومع ذلك، تمتلك البكتيريا آليات معقدة لتجنب هذه الاستجابة المناعية، مثل عزل الأجسام المضادة للمضيف، ومنع التأكسي الكيميائي لخلايا الدم البيضاء، والاختباء من الكشف عن طريق تكوين كبسولات السكاريد أو الأغشية الحيوية، ومقاومة التحلل بعد الابتلاع الخلوي (Ray et al., 2013) .

يمكن أن تُشكل المكورات العنقودية الذهبية خراجات بكتيرية قيحية في الأنسجة العميقة، مثل العضلات الأساسية و يمكن أن تنتشر البكتيريا لتكوين خراجات في المواقع البعيدة وتؤثر على أي جهاز عضوي تقريبًا (Rigby & DeLeo, 2012), تُصنف أمراض المكورات العنقودية الذهبية بشكل عام إلى ثلاث فئات رئيسية: الأمراض الن اجمة عن السموم والالتهابات القيحية، والالتهابات المرتبطة بالأجسام الغريبة (FBRIS) Foreign Body-Related Infections ، والالتهابات التي تصيب الأعضاء والجهازية (Mohammed et al., 2017)

أظهرت دراسية قيام بها الباحث (Salman,2022)، والتي فحصيت عزلات Staphylococcus aureus من مستشفيات مختلفة في محافظة بابل، أن استخدام جُسيمات أكسيد الزنك النانوية المُصنّعة كيميائياً (ZnO-NPs) كان له تأثير مُثبط ومُضاد على البكتيريا. مما يشير إلى أنها قد تعمل كمثبط لمقاومة المصادات الحيوية. أظهرت جُسيمات أكسيد الزنك النانوية المصنعة كيميائياً أعلى فعالية تثبيطية عند تركيز 100 ميكروغرام/مل، حيث بلغ متوسط قطر التثبيط 17 ملم ضد بكتيريا . Staphylococcus aureus

(2-2) عوامل الضراوة البكتيرية (Virulence factors) :

تُعرف عوامل الضراوة بأنها جزيئات متخصصة، تتكون بشكل أساسي من بروتينات، تُنتجها الكائنات الحية الدقيقة الممرضة مثل البكتيريا، والفطريات، والفيروسات، والطفيليات الأولية. يتم ترميز هذه العوامل بواسطة جينات محددة تقع على الكروموسومات أو ضمن عناصر وراثية متحركة مثل العناصر المتحولة أو البلازميدات (Pakbin et al., 2021). في البكتيريا الممرضة، تُمكن عوامل

الضراوة هذه الكائنات من التكيف مع بيئات مختلفة وإحداث مجموعة واسعة من الأمراض والاضطرابات (Foster-Nyarko & Pallen, 2022).

(2-2-1) عوامل ضراوة المكورات العنقودية الذهبية (Staphylococcus aureus)

تمتلك المكورات العنقودية الذهبية مجموعة واسعة من عوامل الضراوة التي تُمكنها من إحداث أمراض متنوعة، بدءًا من الالتهابات الجلدية البسيطة وصولًا إلى العدوى الجهازية المهددة للحياة.

(Touaitia et al., 2025)

(2-2-1-1) سموم العنقودية الذهبية (Staphylococcal Toxins):

تُفرز المكورات العنقودية الذهبية عدة أنواع من السموم التي تُسبب تلفًا للأغشية الخلوية وتُسهم في إمراضية البكتريا (Conceição et al., 2019).

1- السموم الخلوية (Cytotoxins):

- سموم ألفا (Balasubramanian et al., 2016) (Alpha Toxins)
 - السموم بيتا (Beta Toxin) (Beta Toxin)
 - السموم دائنا (Delta Toxin) (Delta Toxin).
 - السموم كاما (Paternoster et al., 2023)(.Gamma Toxin)
- سم بانتون -فالنتاین اللیوکوسیدین P-VL (Löffler & Tuchscherr, 2021)
- 2 السموم التقشيرية (Exfoliative Toxins): تُعد هذه السموم العامل المسبب الوحيد لمتلازمة الجد المحروق العنقودي، وهو مرض جلدي يُصيب الأطفال بشكل رئيسي. يتميز هذا المرض بحدوث انفصال في الطبقات السطحية للبشرة، مما يؤدي إلى الجفاف والالتهابات الثانوية (Mariutti et al., 2017).

3- السموم المعوية Enterotoxins الداخلية

تقسم هذه السموم إلى عدة فئات منها (Schwan, 2019):

- السموم المعوية أ(Staphylococcal Enterotoxin A)
- السموم المعوية ب (Staphylococcal Enterotoxin B)
- الســموم المعويــة ج (Staphylococcal Enterotoxin C) والســموم المعويــة د (Staphylococcal :Enterotoxin D)

4- سم متلازمة الصدمة السمية Toxic Shock Syndrome Toxin): يتميز هذا السم بوزن جزيئي يقارب 22,000 دالتون، ويُصنف ضمن المستضدات الفائقة. يُعد مقاومًا للتحلل البروتيني، وسمًا خارجيًا وسيطيًا مُشفرًا بواسطة الجينات الكروموسومية. تشمل أعراض الصدمة السمية الحمى والطفح الجلدي. يتواجد الجين المسؤول عن إنتاج TSST في حوالي 20% من عزلات المكورات العنقودية الذهبية، بما في ذلك المكورات العنقودية الذهبية المقاومة للميثيسيلين MRSA) Methicillin-resistant Staphylococcus aureus)

(Salman, 2022)

(2-2-1-2) الإنزيمات (Enzymes)

(Sharaf et al., 2014)

- الكواجيولاز (Coagulase) (المرتبط والحر)
 - الهيالورونيداز (Hyaluronidase):
 - الليباز (Lipase): يُحلل الدهون.
 - الستافلوكيناز (Staphylokinase)
- البنسليناز (Penicillinase) / بيتا لاكتاماز (Beta-lactamase)
- الليسيثيناز (Lecithinase) أو فوسفوليباز (Phospholipase C)

: (Surface Protein A) A بروتين السطح (3-1-2-2)

يُعد بروتين السطح A أحد البروتينات السطحية الوفيرة، ويمثل عامل ضراوة يُفرز في أثناء عملية انقسام الخلايا الطبيعية. يتميز هذا البروتين بقدرته على التفاعل مع الجزء Fc من الغلوبولين

المناعي IgG، ويُقمع الاستجابة المناعية التكيفية عن طريق الحد من إنتاج الأجسام المضادة بواسطة الخلايا البائية . (Becker et al., 2014)

(4-1-2-2) عديدات السكاريد الكبسولية (Capsular Polysaccharides):

الكبسولات البكتيرية هي الطبقة الخارجية التي يتفاعل معها الجهاز المناعي للمضيف أولًا. وقد وُجد أن المكورات العنقودية الذهبية تمتلك كبسولة مكونة من سلسل طويلة من عديدات السكاريد، وتُعرف باسم عديدات السكاريد الكبسولية. يمكن رؤية الكبسولة البكتيرية مجهريًا، وتلعب دورًا كبيرًا في حماية البكتيريا من آليات الدفاع المناعي للمضيف (Willis & Whitfield, 2013).

(Biofilm): الأغشية الحيوية (Biofilm):

الأغشية الحيوية عبارة عن مادة سكرية سميكة تُنتجها العديد من الكائنات الحية. تكمن أهميتها في منع العديد من المضادات الحيوية من اختراق الخلية البكتيرية، مما يُعطيها مقاومة ملحوظة. تعمل المصافوفة الخارجية على تهيئة بيئة محمية لا يمكن اختراقها نسبيًا بالعلاجات التقليدية بالمضادات الحيوية وآليات الدفاع المناعي للمضيف. (Otto, 2013).

(2-2) بكتريا القولون (Escherichia coli):

تُعد البكتريا القولونية من البكتيريا الشائعة التي توجد بشكل طبيعي في الجهاز الهضمي للإنسان(Govindarajan et al., 2020) تتميز هذه البكتيريا بخصائص مورفولوجية وفسيولوجية محددة، بالإضافة إلى تنوعها الكبير في الأنماط الممرضة (Khyoon, 2023).

(1-3-2) الخصائص المورفولوجية والفسيولوجية Physiological Characteristics:

البكتريا القولونية هي بكتيريا عصوية الشكل ذات نهاية مستديرة. تُصنف ضمن عائلة المعويات (Enterobacteriaceae) وجنس Escherichia. تتميز بكونها سالبة لصبغة گرام، وغير مقاومة للأحماض، وغير مكونة للأبواغ، وتتصف بصبغة متجانسة. تمتلك معظم سلالاتها القدرة على الحركة بفضل أسواطها المحيطة بالخلية. تستطيع بكتريا القولون النمو في الظروف الهوائية واللاهوائية، وعلى الأوساط الغذائية في نطاق درجة حرارة يتراوح بين 18 و 44 درجة مئوية، بينما تتراوح درجة الحرارة المثلى لنموها بين 36 و 37 درجة مئوية. كما أنها تخمر اللاكتوز وتولد الغاز.

(Rajwar et al., 2016)

: (Key Diagnostic Features) السمات التشخيصية الرئيسية (2-3-2)

تتميز مستعمرات البكتريا القولونية بسطح أملس. عند نموها على وسط أكار إيوزين ميثيلين بلو التميز مستعمرات البكتريا القولونية بسطح أملس. عند نموها على وسط أكار مع، بينما تبدو وردية اللون وجافة ومسطحة على وسط أكار مكونكي. يتراوح الرقم الهيدروجيني الأمثل لنموها بين 4.4 و 9. تُعطي القولونية نتائج سلبية لاختبار الكاتليز، مما يميزها عن المكورات العنقودية الذهبية التي تعطي نتائج إيجابية. كما أنها سلبية لاختبار الأوكسيديز، ومعظم سلالاتها تُعطي نتائج إيجابية لاختبار الأندول (Kodaka et al, 2004).

(2-3-2) التصنيف الوراثي (Phylogenetic Classification):

تنتمي بكتريا القولون إلى عائلة البكتيريا المعوية (Enterobacteriaceae) وتُصنف وراثيًا كالتالي:

Domain: Bacteria \rightarrow Kingdom: Eubacteria \rightarrow
Phylum: Proteobacteria \rightarrow Class: Gammaproteobacteria
\rightarrow Order: Enterobacterales \rightarrow Family:
Enterobacteriaceae \rightarrow Genus: Escherichia \rightarrow Species:

(Janda, 2021) Escherichia coli

. وُصــفت هذه البكتيريا لأول مرة في عام 1885 بواسـطة ثيودور إيشــيريش (Theodor) وصـفت هذه البكتيريا لأول مرة في عام 1885 بواسـطة ثيودور إيشــيريش (Bacterium coli تحت اسم Escherichia ثم أُعيد تسميتها لاحقًا إلى Escherichia نسبة المكتشفها (Tamerat et al., 2016), يضـم جنس Escherichia أنواعًا متعددة أخرى مثل . E. و. E. fergusonii ,E. blattae ,E. hermanii ,E. albertii ,senegalensis ، ويتم التمييز بين هذه الأنواع بناءً على الخصائص الكيميائية الحيوية (Khyoon, 2023).

أظهرت دراسة قام بها باحثون (Abu-Gharbieh et al., 2025)، والتي بحثت في التأثير المضاد للبكتيريا لجُسيمات أكسيد الزنك النانوية المُصنّعة حيوياً، أن هذه الجُسيمات كان لها تأثير مُثبط ومضاد على سلالة بكتريا القولون (E. coli) حيث بلغ أقل تركيز مثبط (MIC) لها 3.2 ملغم/مل وأقل تركيز قاتل للبكتيريا (MBC) قيمة 3.9 ملغم/مل، مما يشير إلى فعاليتها كعامل مضاد للبكتيريا من خلال إحداث خلل في سلامة الغشاء الخلوي وتحفيز الإجهاد التأكسدي.

(4-2) عوامل ضراوة بكتريا القولون (Escherichia coli):

طورت بكتريا القولون مجموعة متنوعة من عوامل الضراوة التي تسمح لها بالتكيف مع بيئات مختلفة وتسبب مجموعة واسعة من الأمراض والاضطرابات.

(Foster-Nyarko & Pallen, 2022)

(1-4-2) الالتصاق (Adherence):

يُعد الالتصاق المرحلة الأولى في عملية استعمار الكائنات الحية الدقيقة الممرضة لأنسجة المضايف في عملية استعمار الكائنات الحية الدقيقة الممرضة لأنسجة المضايف على الجينات التي تُشافر عوامل المضايف المهمة، وهي عبارة عن جزيئات سطحية أو هياكل مثل الزغيبات (pili و fimbriae). تُصنف الزغيبات إلى ثلاثة أنواع رئيسية: الزغيبات S، والزغيبات P، والزغيبات F، وتُعد جميعها عوامل ضراوة بالغة الأهمية. تُساعد هذه الزغيبات البكتيريا على الالتصاق بالخلايا الظهارية للمضيف (Raimondi et al., 2019; Spaulding et al., 2017).

(2-4-2) الكبسولة (Capsule):

تتمثل الوظيفة الأساسية للكبسولة في تغطية وحماية البكتيريا من العديد من الظروف البيئية غير المواتية والاستجابة المناعية للمضيف. تتكون الكبسولة بشكل أساسي من عديدات السكاريد(Jahandeh et al., 2015), بناءً على ترتيب المجموعات الجينية الخاصة وعملية التخليق الحيوي والتجميع، يمكن تصنيف كبسولات البكتريا القولونية إلى أربعة أنواع رئيسية التخليق الحيوي والتجميع، يمكن تصنيف كبسولة في الحماية من البلعمة، وتُظهر تأثيرًا قاتلًا للبكتيريا بواسطة نظام المتممة، فضلا" عن نشاط مضاد للمصل ومقاومة للمضادات الميكروبية (et al., 2015)

(Iron Uptake Factors) عوامل امتصاص الحديد (3-4-2)

عوامل امتصاص الحديد هي مستقلبات ثانوية تستخدم الحديد لتعزيز نمو البكتيريا وتكاثر ها. يوثر نقص الحديد على قدرة البكتيريا على التكيف من خلال تعطيل بنية الكبسولات الخلوية وإنتاجها. يُعد توافر الحديد في مصل الدم عاملًا بالغ الأهمية في سياق حالات التهاب بطانة الأوعية الدموية الخارجية (ExPEC)، وذلك بسبب قدرة البكتريا القولونية على إحداث تسمم الدم والتهابات في العديد من الأعضاء. عندما تكون مستويات الحديد منخفضة، طورت سللة القولونية مجموعة

متنوعة من الأليات لاستخلاص الحديد من أنسجة المضيف المصاب. تتضمن هذه الأليات إنتاج خمسة أنواع رئيسية من حاملات الحديد: الكاتيكولات (Catecholates)، والفينولات (Phenols)، والفينولات (Hydroxamicacids)، وهيدروكسيك كاربوكسيك كاربوكسيك كاربوكسيلات (Hydroxycarboxylates)، بالإضافة إلى شكل مختلط يشتمل على أنواع متباينة من حاملات الحديد (Sora et al., 2021).

: (Lipopolysaccharide - LPS) عديد السكاريد الدهنية (4-4-2)

عديد السكاريد الدهني هو مكون أساسي في جدار الخلية للبكتيريا سالبة گرام، يتكون من الوحدة الدهني الدهني الفريد الدهني وهو جزء محفوظ بدرجة عالية، ووحدات مستضد (Lipid A) A متكررة، والتي تختلف بشكل واسع بين السلالات اعتمادًا على جزيئات الجلوكوز وأنماط ارتباطها ضمن الوحدات الفرعية المتكريد الدهني السكاريد الدهني المتكريد الدهني الفرعية المتكريد الدهني الفرعية المناعية المنا

(2-4-2) الأغشية الحيوية (Biofilms):

الغشاء الحيوي هو عبارة عن تجمع الخلايا البكتيرية والتصاقها بالأسطح الصلبة، والتي تكون محاطة بمادة بينية خارج خلوية (Al-Saadi, 2019)، تعتمد الكائنات الحية الدقيقة على تكوين الأغشية كآلية أساسية للبقاء على قيد الحياة. تشمل عملية تكوين الأغشية ثلاث مراحل رئيسية: الالتصاق الأولي للبكتيريا بالسطح، ومرحلة استشعار النصاب QS) Quorum Sensing (التعبير الجيني، ثم تكوين الكتلة الحيوية للغشاء الحيوي (Li et al., 2023).

تُساعد الأغشية الحيوية في تثبيت الغشاء الحيوي، وتُساهم في عمليات إصابة المضيف وتزيد من قابلية البكتيريا على مقاومة المضادات الحيوية، وتُوفر الحماية للخلايا من الآليات الدفاعية للجسم مثل خلايا البلعمة (Soto, 2013)، تُعد الأغشية الحيوية عاملًا رئيسيًا في مقاومة بكتيريا القولونية للمضادات الحيوية، حيث تتميز البكتيريا داخل الأغشية الحيوية بمقاومة أعلى للمضادات الحيوية تصل الي 1000 ضعف مقارنة بالخلايا البكتيرية الحرة.

(Nasrollahian et al., 2024)

(Protease) البروتياز (Protease):

تُعد البروتيازات من أهم فئات الإنزيمات التجارية. (Madhavi et al., 2011)، وتمثل ما بين Agbowuro et al., إلى 5% من جينومات البكتيريا والكائنات الحية الدقيقة المعدية الأخرى (, 2018 2018). تُشارك البروتيازات في مجموعة متنوعة من العمليات الكيميائية الحيوية والفسيولوجية في الكائنات الحية والخلايا، بما فيها النمو، والتغذية، والتكيف، والإنبات/التبويض، والموت الخلوي المبرمج (Khyoon, 2023), تلعب البروتيازات دورًا محوريًا في إحداث العدوى، حيث تُعد من عوامل الضراوة الأساسية، وذلك لأنها تُعزز غزو الكائنات الحية عن طريق إتلاف أنسجة المضيف وتثبيط آلية الدفاع المناعي للمضيف (Sharma et al, 2007). (Nanda & Nayak, 2020).

(2-2) تقنية النانو والجسيمات النانوية(Nanotechnology and Nanoparticles):

أحدثت تقنية النانو ثورة في العديد من مجالات العلوم، وذلك لقدرتها على التعامل مع المادة على مستوى متناهي الصغر (Dewan, 2022), تُعرف تقنية النانو بأنها العلم والهندسة والتكنولوجيا التي تُجرى على مقياس النانو، والذي يتراوح بين 1 و 100 نانومتر. يمكن تعريفها أيضًا بأنها دراسة وتطبيق المواد المتناهية الصغر في مختلف مجالات العلوم، مثل الكيمياء، الأحياء، الفيزياء، علوم المواد، والهندسة. وقد عرّفها دريكسلر بأنها التلاعب بالمادة على المستوى الذري أو الجزيئي (مقياس النانومتر) لبناء هياكل وأجهزة وأنظمة جديدة. يُشتق مصطلح "نانو" من كلمة يونانية تعني "القزم"، وتشير كلمة "تكنولوجيا" إلى إنشاء واستخدام الأدوات التقنية (Hassan, 2018).

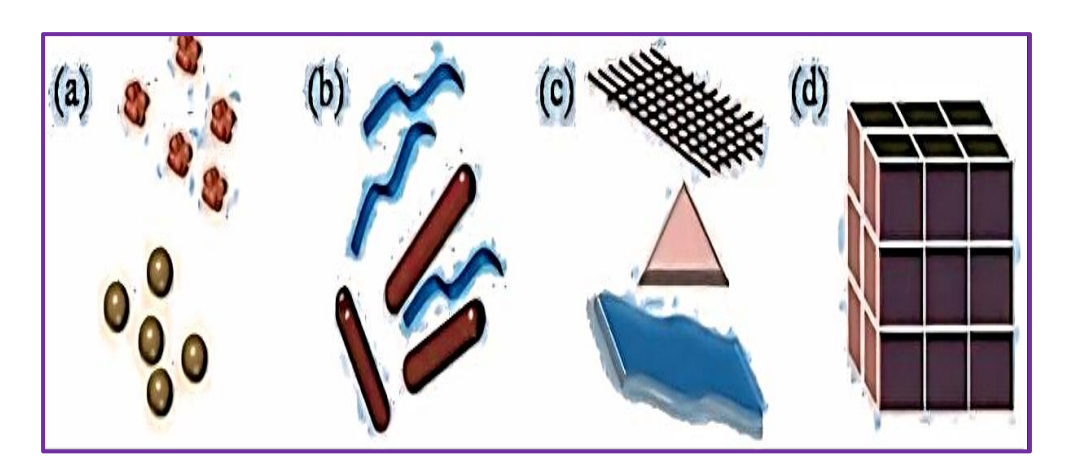
تُعد الجسيمات النانوية (Nanoparticles - NPs) جسيمات يكون على الاقل احد ابعادها اقل من 100 نانومتر. تُعد هذه الجسيمات أداة واعدة ومجال بحث نشط بسبب خصائصها الفريدة التي تتغير بتغير أبعادها ويتم تصنيفها بشكل عام إلى عضوية ، وغير عضوية.

(Issa & Aadim, 2024)

(Dimensions, أبعاد وخصائص الجسيمات النانوية الفريدة وتطبيقاتها العامة (1-5-2) Unique Properties, and General Applications of (Nanoparticles):

تُصنف المواد النانوية وفقًا لأبعادها إلى أربعة أنواع رئيسية:

- البنى النانوية صفرية الأبعاد (Zero-dimensional nanostructures): تُحدد هذه المواد بكون أن جميع أبعادها تقع ضمن النطاق النانوي، أي لا يتجاوز أي بعد فيها 100 نانومتر. تُعد الجسيمات النانوية من أبرز أمثلة هذا الصنف (Mekuye & Abera, 2023)
- البنى النانوية أحادية البعد (One-dimensional nanostructure): تتميز بوجود بعد واحد فقط خارج النطاق النانوي، مما يؤدي إلى ظهور مواد ذات شكل إبري. يشمل هذا الصنف الأنابيب النانوية، والأسلاك النانوية، والقضبان النانوية. (Mekuye & Abera, 2023)
- البنى النانوية ثنائية الأبعاد (Two-dimensional nanostructures): تُعرف بوجود بعدين خارج النطاق النانوي، وتظهر هذه المواد عادة في أشكال صفائحية. تشمل هذه المواد الأغشية النانوية، والطبقات النانوية، والطلاءات النانوية. (Mekuye & Abera, 2023)
- البنى النانوية ثلاثية الأبعاد (Three-dimensional nanostructures): تتميز بوجود ثلاثة أبعاد تتجاوز 100 نانومتر. تُظهر هذه المواد خصائص نانوية أو بنى بلورية نانوية، حيث تتكون المواد النانوية ثلاثية الأبعاد ذات البنية البلورية النانوية من تجمعات لبلورات نانوية متعددة، والتي عادة ما تكون مرتبة في اتجاهات مختلفة. أما المواد النانوية ثلاثية الأبعاد ذات الخصائص النانوية، فهي تتضمن طبقات نانوية متعددة، أو حزمًا من الأسلاك والأنابيب النانوية، أو تشتتات جسيمات نانوية كما في الشكل (2-1). (Mekuye & Abera, 2023)



شكل رقم (2-1): تصنيف المواد النانوية (Mekuye & Abera, 2023)

تتميز الجسيمات النانوية بمساحة سطحية كبيرة، مما يزيد من تفاعليتها الكيميائية مقارنة بالمواد الأكبر حجمًا. كما تمتلك مجموعة من الخصائص الكهربائية، والميكانيكية، والمغناطيسية، والحرارية،

والعازلة، والبصرية الفريدة (Dewan, 2022), يؤدي دمج خصائص مواد متنوعة مع انخفاض حجم العازلة، والبصرية الفريدة إلى البنية النانوية إلى زيادة نسبة المساحة السطحية إلى الحجم، وتغيير الخصائص الفيزيائية والكيميائية تمامًا. (Issa & Aadim, 2024)

- (Characteristics of Nanoparticles): خصائص الجسيمات النانوية الرئيسية (Characteristics of Nanoparticles): تُحدد خصائص الجسيمات النانوية بشكل كبير من خلال سماتها الفيزيائية والكيميائية الفريدة:
- 1. الحجم (Size): تختلف خصائص الجسيمات النانوية باختلاف الحجم، وتؤدي التغيرات في البنية الإلكترونية إلى اختلافات ملحوظة في الخصائص على المقياس النانوي. ,Schiavo et al., الإلكترونية إلى اختلافات ملحوظة في الخصائص على المقياس النانوية تعتمد على (2023, أظهرت دراسات أن العديد من الخصائص الرئيسية للجسيمات النانوية تعتمد على حجمها، فمثلاً، المرحلة البلورية ذات ثبات أعلى والخصائص الإلكترونية للمواد تظهر الاعتماد على حجم الجسيمات النانوية. (Adekoya et al., 2018)
- 2. الشكل (Shape): يلعب شكل الجسيمات النانوية دورًا هامًا في تحديد خصائصها، حيث يؤثر الشكل على طيف امتصاص الجسيمات النانوية الكروية للمعادن النبيلة. تؤدي الاختلافات في الحجم والشكل على طيف امتصاص الجسيمات النانوية، مثل النشاط البيولوجي، الميكانيكي، التوصيل الحراري، ونقطة الانصهار. (Fahimi Kashani et al., 2023).
- 3. خصائص السطح (Surface Properties): تُظهر الجسيمات النانوية مجموعة متنوعة من خصائص السطح منها التفاعلية، التركيب، الوظيفة، والشحنة.

(Bhattacharjee & Prasad, 2023)

4. تجمع الجسيمات الناتوية (Nanoparticle Aggregation): تميل الجسيمات الناتوية في البيئات المائية إلى التجمع، مما يؤدي إلى تكوين تجمعات أكبر من حجم الجسيمات الناتوية الأصلية. يتأثر هذا الميل للتجمع بعدة عوامل، مثل الوظيفة، القوة الأيونية، التركيز، والرقم الهيدروجيني.

(Li et al., 2024)

- 5. التركيز (Concentration): نظرًا لكتلة الجسيمات النانوية الفردية، من الضروري معايرة تركيزات الجسيمات النانوية بدقة. (Leventi et al., 2023).
- Nanoparticle) تخليق الجسيمات النانوية وتطبيقاتها المضادة للميكروبات (6-2) :Synthesis and Antimicrobial Applications)

تُستخدم طرائق مختلفة لتخليق جسيمات نانوية ذات شكل وحجم وبنية وأبعاد نانوية متحكم بها. تُصنف هذه الطرق بشكل أساسي إلى منهجيتين رئيسيتين: التركيب التنازلي والتركيب التصاعدي. تُقسم هاتان المنهجيتان إلى فئات فرعية متعددة بناءً على الأليات الكيميائية والفيزيائية المعتمدة وظروف التفاعل المطبقة. (Kumari & Sarkar, 2021)

(1-6-2) منهجيات تخليق الجسيمات النانوية (NanoparticleynthesisMethodologies):

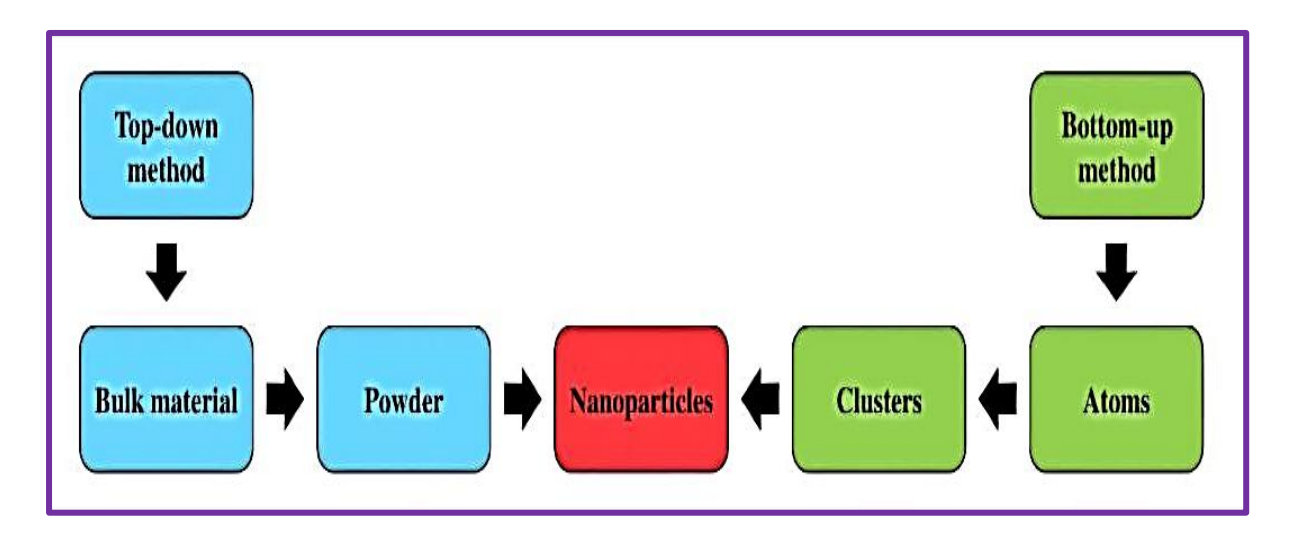
(2-6-1-1) منهجية التركيب التنازلي (Top-Down Synthesis):

تُعرف هذه المنهجية أيضًا باسم التفتيت. يُعد التركيب التنازلي أحد المناهج الأساسية في تصنيع المواد النانوية، ويتم فيه تفتيت المواد السائبة، التي تتكون من جزيئات كبيرة، إلى جزيئات أصعر، وصعولًا إلى إنتاج الجسيمات النانوية المطلوبة. تشمل الطرق المعتمدة في هذا المنهج عمليات الطحن الدقيق، والترسيب الفيزيائي للبخار، والطحن عالى الطاقة، والاستئصال بالليزر، وطريقة الرش، والطباعة النانوية، وغيرها من الطرق التي تعتمد على تكسير الروابط بين الجزيئات.

(Todkar et al., 2023)

(2-1-6-2) منهجية التركيب التصاعدي (Bottom-Up Synthesis):

يُشار إلى هذه الطريقة أيضًا باسم التجميع الذري والجزيئي. وهي طريقة معاكسة لمنهجية التركيب التنازلي. في هذا المنهج، يتم استخدام مواد كيميائية أقل تعقيدًا بكثير لإنتاج جسيمات نانوية. تشمل الطرق المعتمدة في هذا المنهج طريقة الترسيب الكيميائي للبخار (CVD)، وطريقة السول-جل، وطريقة التحلل الحراري، والتخليق الحيوي، والتخليق الدوراني (Todkar et al., 2023). وكما ذكر الباحث (Hassan, 2018) يتعامل النهج التصاعدي مع الجسيمات التي تُبني من التجميع الكيميائي للذرات أو الجزيئات باتباع مبادئ التعرف الجزيئي، تمامًا مثل تخليق النيوكليوتيدات، وهي اللبنات الأسلسية للحمض النووي من الجزيئات الأولية. كما في الشكل (2-2)



شكل(2-2) توضيح منهجيتي التركيب التنازلي (Top-Down Synthesis) والتصاعدي (Ealias & Saravanakumar, 2017) (Bottom-Up Synthesis)

(7-2) آليات عمل جسيمات أكسيد الزنك النانوية المضادة للبكتيريا (Mechanisms of Antibacterial Action of Zinc Oxide Nanoparticles)

أكسيد الزنك (ZnO) مادة غير عضوية، واعدة واستراتيجية، تُصنف من أشبـــاه الموصلات (II-VI)، حيث ينتمي الزنك (Zn) والأكسـجين (O) إلى المجموعتين الثانية والسـادسـة في الجدول الدوري على التوالي يتميز أكسيد الزنك بخواص فريدة مثل الخواص البصـرية، الموصـلية الكهربائية، والانضــغاطية (Shahrom et al., 2015) ، كما أنه غير قابل للذوبان في الماء لكنه يذوب في الأحماض والقواعد المخففة.(Kalra et al., 2022)

يمثل أكسيد الزنك دوراً حيوياً في جسم الإنسان، حيث يؤدي نقصه إلى أورام خبيثة، تلف الخلايا، وأمراض مرتبطة بالاستجابة المناعية كالعدوى والسرطان .(Jin & Jin, 2021) يُستخدم أكسيد الزنك كبديل للمضادات الحيوية في الإسعافات الأولية، من خلال مراهم تركيز 40% وكريم تركيز % 10 كبديل للمضادات الحيوية في الإسعافات الأولية، من خلال مراهم تركيز و40% وكريم تركيز % (FDA) كما يُعتبر آمنًا بشكل عام، ومعتمدًا من إدارة الغذاء والدواء الأمريكية (FDA) كما يُعتبر آمنًا بشكل عام، ومعتمدًا من إدارة الغذاء والدواء الأمريكية (Kalra et al., 2022) ما ذكر الباحث (Salman, 2022) أن أكسيد الزنك غير سام عند ملامسته للجلد، مما يجعله مناسبًا للاستخدام في مستحضرات التجميل مثل كريمات مكافحة الشيخوخة وواقيات الشمس.

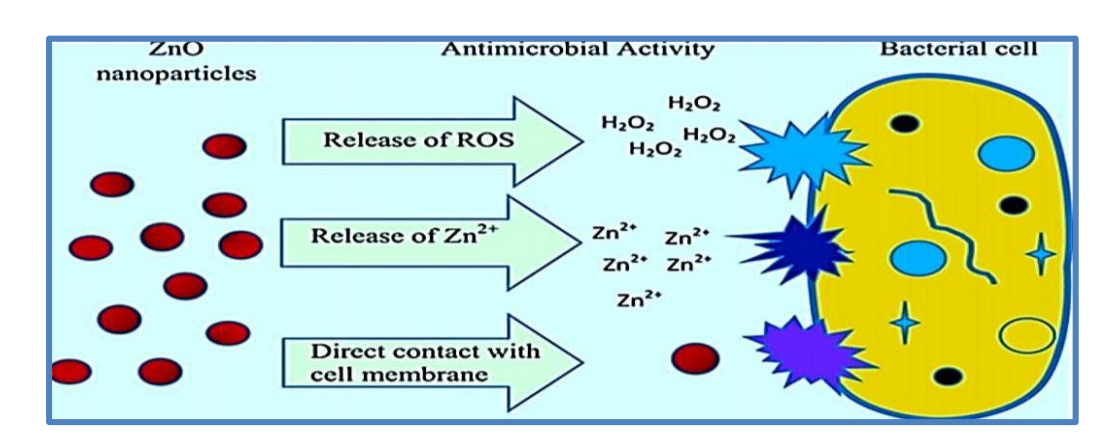
أما جسيمات أكسيد الزنك النانوية (ZnO NPs)، فتظهر خصائص فيزيائية وكيميائية استثنائية، تفسر استخداماتها المتعددة والمتطورة في الطب الحيوي (Al-Musawi, 2023). تُستخدم هذه الجسيمات في مجالات متنوعة تشمل العلاج بالمضادات الحيوية، التشخيص العلاجي، الأجهزة الطبية، وهندسة الأنسجة، نظرًا لفعاليتها القوية ضد الكائنات الحية الدقيقة الممرضة (Jin & Jin, 2021).

أظهرت دراسة قامت بها الباحثة (Al-Musawi,2023)، والتي استخدمت مستخلص ثمار نبات الكبّار (Capparis Spinosa L). كعامل اختزال حيوي لتصنيع جُسيمات أكسيد الزنك النانوية (ZnO NPs) الكروية بمتوسط حجم 37.49 نانومتر، أن هذه الجُسيمات كان لها تأثير مضاد للبكتيريا ضند كل من بكتيريا المكورات العنقودية الذهبية (Staphylococcus aureus) (موجبة لصنبغة غرام)، حيث بلغ قطر التثبيط لها 16 ملم، وبكتيريا الإشريكية القولونية (Escherichia coli) (سالبة لصبغة غرام) بقطر تثبيط 13 ملم، مما يشير إلى فعاليتها كعامل مضاد للبكتيريا وكبديل حيوي له توافق حيوي عالٍ ونشاط مضاد للأكسدة.

تُعد جسيمات أكسيد الزنك النانوية (ZnO NPs) عوامل فعالة مضادة للبكتيريا (Pulit-Prociak et al., 2016)، ويُنظر إليها على أنها الجيل القادم من المضادات الحيوية لمكافحة مقاومة الأدوية المتعددة. (Sabir et al., 2014) يظهر نشاطها ضد البكتيريا عبر آليات متعددة:

- 1. اختراق جدار الخلية البكتيرية وإلحاق الضرر بالحمض النووي (DNA): يعود جزء من هذا النشاط إلى أيونات الزنك (Zn2+) المنبعثة من الجسيمات النانوية. تلتصيق هذه الأيونات بجدار الخلية وتُحدث خللاً في بنيته عن طريق تكسير السكريات والبروتينات والدهون المكونة للغشاء. بالإضافة إلى ذلك، يمكن لأيونات (Zn2+) أن تُسبب تلفًا في الحمض النووي البكتيري، وبالتالي تؤدي إلى إعاقة نموه وموته.
- 2. زيادة نفاذية الأغشية: يُعزز الحجم النانوي لجسيمات أكسيد الزنك من مساحة سطحها، مما يزيد من فعاليتها المضادة للبكتيريا. يُعتقد أن صغر حجمها يُسهل دخولها إلى الخلية البكتيرية. من الآليات المهمة الأخرى هي زيادة نفاذية الأغشية بفعل الأيونات، وهذا يسمح بدخول كميات أكبر من جسيمات أكسيد الزنك النانوية إلى داخل الخلية، وبالتالي يؤدي إلى تلفها وموتها.
- 3. تثبيط عمل القنوات الأيونية: تُعيق هذه الجسيمات عمل القنوات الأيونية في جدار الخلية أو تتفاعل أيونات الزنك (Zn²+) معه عن طريق تفاعلات كهروستاتيكية.
- 4. إنتاج أنواع الأكسـجين التفاعلية (ROS) : يُعتقد أن النشـاط المضـاد للبكتيريا لجسـيمات أكسـيد الزنك ينتج عن ترسـب أيونات الزنك في الأغشـية الخلوية والسـيتوبلازم، وأيضًا إلى إنتاج أنواع الأكسـجين التفاعلية (ROS) مثل بيروكسـيد الهيدروجين (H2O2). يمكن لهذه الأنواع التفاعلية أن تتلف المكونات الخلوية الأسـاسـية، مثل الأغشـية الدهنية وجدر أن الخلايا، مما يؤدي إلى موت البكتيريا عند تجاوز قدرتها المضادة للأكسدة، تتأثر درجة نشاط

الجسيمات النانوية بعدة عوامل مثل حجم الجسيمات وتركيزها والمادة المستخدمة في تصنيعها. إن هذه الآليات المتعددة تجعل جسيمات أكسيد الزنك النانوية خيارًا واعدًا في مكافحة البكتيريا المقاومة للمضادات الحيوية، حيث تُقدم حلولًا تتجاوز آليات العمل التقليدية للمضادات الحيوية كما في الشكل (Kalra et al., 2022). (3-2)



شكل (2-2) آلية النشاط المضاد للميكروبات لجسيمات أكسيد الزنك النانوية(Reda et al., 2024)

(8-2) الأحماض العضوية تعريفها, تأثيراتها المضادة للميكروبات, تواجدها الطبيعي, تركيبها الكيميائي, خصائصها العامة Organic Acids: Definition, محصائصها العامة Antimicrobial Effects, Natural Occurrence, Chemical : Structure, and General Properties

تنتشر الأحماض العضوية على نطاق واسع في الطبيعة كمكونات طبيعية في الأنسجة الحيوانية والنباتية. تُعرف الأحماض العضوية بأنها أحماض كربوكسيلية عضوية صيغتها الكيميائية الكيميائية R-COOH حيث تمثل R طول السلسلة الحمضية (Kim, 2015). بشكل عام، تُعد الأحماض العضوية أحماضًا خصعيفة تتفكك جزئيًا فقط في المحلول المائي(Khan & Iqbal, 2016)، وتُشكل توازنًا بين جزيئات الحمض غير المتغيرة وأنيوناتها وبروتوناتها المشحونة (Lopez et al., 2012), معظم الأحماض العضوية التي تمثلك نشاطًا مضادًا للميكروبات تكون قيمة الله Pka (قيمة الأس الهيدروجيني التي يكون عندها الحمض نصف متفكك) في نطاق [الى 5. الأحماض ذات الوزن الجزيئي المنخفض مثل حمض الفورميك وحمض الأسيتيك قابلة للذوبان في الماء، بينما الأحماض العضوية ذات الوزن الجزيئي الأحماض العضوية في وجود الكربون في تركيبها، وهي أقل تفاعلاً من الأحماض عير العضوية ولكنها قادرة على المعادن الموجودة في المخزون المعدني في التربة. تُصنف الأحماض العضوية إلى أحماض نقية إذابة المعادن الموجودة في المخزون المعدني في التربة. تُصنف الأحماض العضوية إلى أحماض البنزويك). حمض اللاكتيك، حمض البنزويك)، حمض البنزويك)

وأحماض منظمة (مثل أملاح الكالسيوم والصوديوم لأحماض البروبيونيك والأسيتيك والستريك والبنزويك)، وتُعتبر الأحماض المنظمة أكثر أمانًا في التعامل وأقل تآكلًا للألات.

(AL-Yasiri, 2019)

كما ذكر الباحث (Hajati, 2018)، تُعد الأحماض العضوية خيارًا واعدًا وفعالاً كبديل لمُحفزات النمو المضادة الحيوية في تغذية الدواجن، وذلك بفضل تأثيرها القوي المضاد للميكروبات. وقد أشارت النتائج التي استعرضها الباحث إلى أن هذه الأحماض تعمل على تثبيط نمو البكتيريا المُمْرِضة مثل Salmonella spp. و Coli في سياقات غذائية وصحية محددة؛ حيث تعتمد فعاليتها المضادة للميكروبات على آلية مزدوجة تشمل خفض مستوى الأس الهيدروجيني (pH) في القناة الهضمية، بالإضافة إلى قدرة الشكل غير المتأين من الحمض على اختراق الخلية البكتيرية وتدميرها. أكدت المراجعة أن الفعالية الكلية للأحماض العضوية تعتمد بشكل حاسم على نوع الحمض وتركيزه وظروف الوسط.

(1-8-2) آليات عملها كمضادات للبكتيريا (Mechanisms of action asantibacterials)

يُنظر حاليًا إلى الأحماض العضوية كبدائل فعالة للمضادات الحيوية في السنوات الأخيرة، وذلك بسبب نشاطها المضاد للميكروبات ضد مجموعة واسعة من البكتيريا المسببة للأمراض تُعتبر (Al-Yasiri, 2022) الأليات المتسلسلة المقترحة لفعل الأحماض العضوية كمضادات للبكتيريا كالتالى:

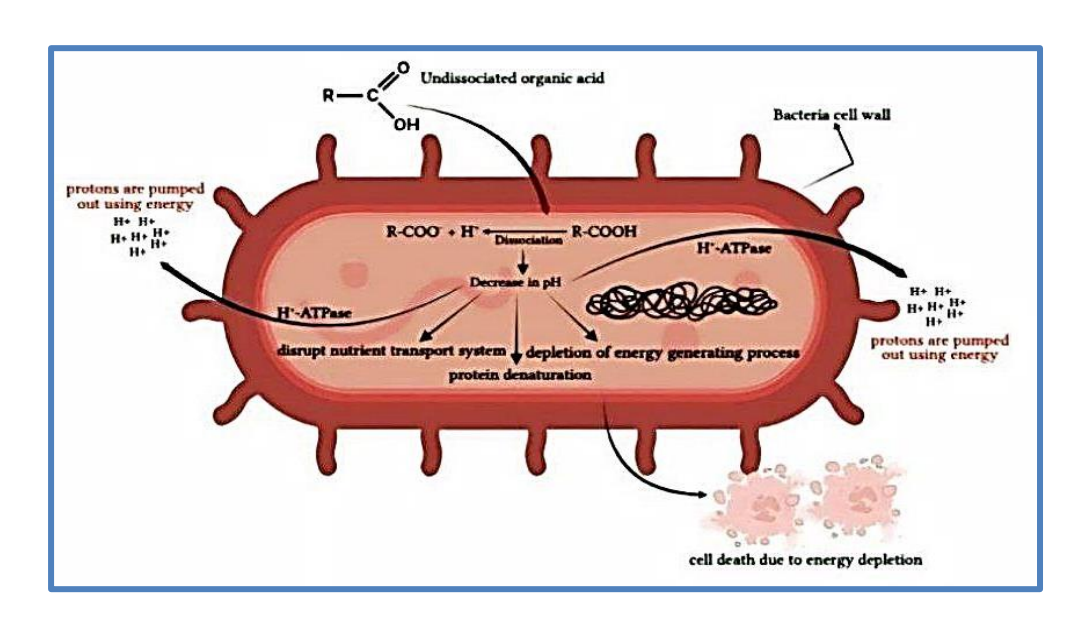
- 1. اختراق جدار الخلية: يمكن للشكل الحمضي غير المتفكك للأحماض العضوية أن يخترق جدار الخلية البكتيرية. (Lopez et al., 2012)
- 2. التفكك داخل الخلية: بمجرد دخولها، تتفكك الأحماض الضعيفة المخترقة داخل الخلايا البكتيرية إلى شكل القاعدة المقترنة، مما يؤدي إلى انخفاض في درجة الحموضة الخلوية (انخفاض الرقم الهيدروجيني الخلوي). (Lopez et al., 2012)
- 3. إجهاد البكتيريا: يُحدث هذا الانخفاض في درجة الحموضة داخل الخلية بيئة مرهقة للبكتيريا، مما يؤدي إلى اختلالات وظيفية خلوية وبالتالي منع نموها. (Lopez et al., 2012)
- 4. زيادة نفاذية الخلية: يزيد الحمض العضوي من نفاذية الخلية البكتيرية ويتداخل مع بروتينات الغشاء (Yadav et al., 2016) ، مما يُزعزع استقرار بروتينات الخلية.

(Price-Carter et al., 2005)

5. تراكم الأنيونات السامة: في الظروف الحمضية، تُعبر الأحماض العضوية غير المتفككة الغشاء الميكروبي بحرية إلى السيتوبلازم، حيث يؤدي ارتفاع درجة الحموضة إلى إطلاق البروتونات وزيادة حموضة السيتوبلازم، مما يؤدي إلى تراكم الأنيونات السامة داخل الخلية.

(Gravesen et al., 2004)

ينتج عن هذه الأليات مجتمعة سلسلة من التأثيرات على الخلية البكتيرية، تشمل تحمض المكونات الداخلية لأغشية الخلايا، وتدمير سلامة الأغشية الخلوية، وإعاقة غشاء البكتيريا (تسرب آليات النقل) مما يؤدي إلى فقدان النقل النشط للمغذيات عبر الغشاء، وتعطيل نقل الأحماض عن طريق تغيير نفاذية غشاء الخلية، وتثبيط التفاعلات الأيضية الأساسية (مثل تحلل الجلوكوز)، وتراكم الأنيونات السامة داخل الخلية، واستجابة البكتيريا بضغط طاقة لاستعادة التوازن الداخلي، وتثبيط لاستجابات الإجهاد الأخرى مثل استجابة الصدمة الحرارية كما في الشكل (4-2) (4-2) (Al-Yasiri & Mohammed, 2019)



شكل (2-4) الآلية المضادة للميكروبات+463.

التي تمارس بها الأحماض العضوية تأثيراتها. (Chukwudi et al, 2024)

(2-8-2) حامض الستريك (Citric Acid):

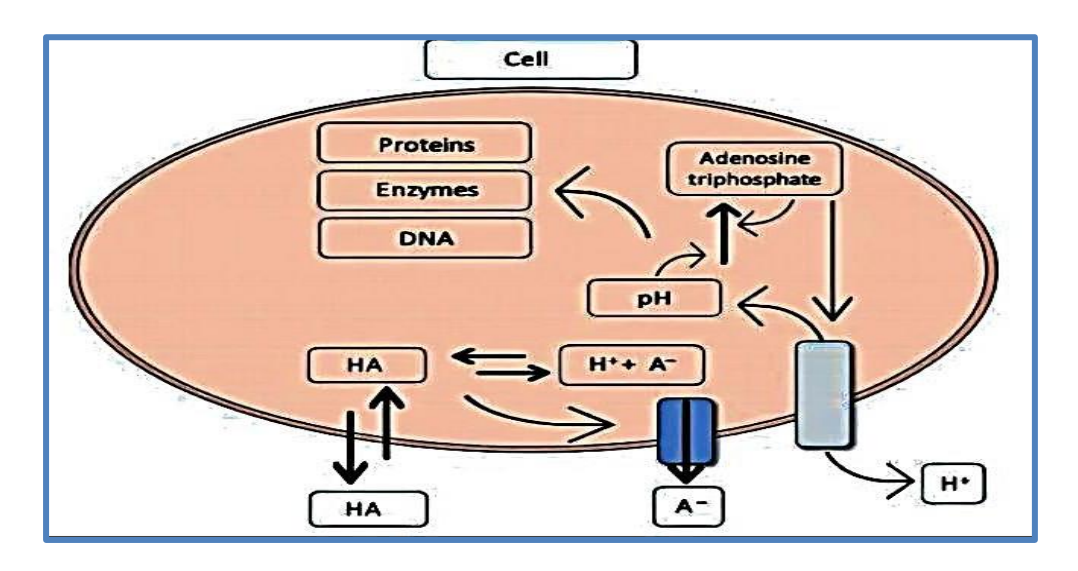
حمض الستريك (C2H2O+H2O) الذي اكتشفه العالم الكيميائي السويدي الألماني كارل فيلهلم شيل عام 1874، يلعب دورًا محوريًا كبيرًا في حياتنا اليومية. وهو يُصنف ضمن الأحماض العضوية الضعفة، حيث أن قيمة الرقم الهيدروجيني تتراوح بين 3.0 و 6.0. يتواجد حمض الستريك بصورة طبيعية في مجموعة متنوعة من عصائر الحمضيات مثل عصير الليمون، والليمون الحامض، والأناناس، والطماطم، والتوت بأنواعه، والبروكلي. على المستوى الكيميائي، يُعرف حمض الستريك النقي بأنه

حمض ثلاثي الكربوكسيل (tricarboxylic acid)، وهو حمض عضوي يتميز بوجود ثلاث مجموعات وظيفية من الكربوكسيل (COOH) في تركيبه الجزيئي، ويبلغ وزنه الجزيئي 210.14 غرام/مول.

يتميز حمض الســـتريك بمجموعة من الخصـــائص الفيزيائية المميزة، فهو عديم اللون والرائحة، ويذوب بسـهولة في الماء، ويمتلك مذاقًا حمضيًا لاذعًا. يوجد هذا المركب في الحالة الصـلبة عند درجة حرارة الغرفة، ولكنه يتعرض للتحلل عند التعرض لدرجات حرارة مرتفعة. بالإضـــافة إلى ذلك، يُعد حمض السـتريك مادة كيميائية قابلة للتحلل البيولوجي، وهذا ما يجعله خيارًا صـديقًا للبيئة، وآمنًا، ومتعدد الاسـتخدامات في تطبيقات متنوعة. يُسـتخدم حمض السـتريك على نطاق واسـع في تحضـير العديد من المستحضرات الصيدلانية التي تتضمن سـترات طبية، وكما يُضـاف إلى الأطعمة والمشروبات كمادة حافظة لزيادة مدة الصلاحية، وفضلا" عن موازنة الحموضة، (Ghai et al., 2023)

يتضمن نشاط حمض الستريك المضاد للبكتيريا اختراق الأغشية الخلوية، حيث يكون الرقم الهيدروجيني أعلى من البيئة المحيطة. ترتبط آلية عمل حمض الستريك المضاد للبكتيريا بتحمض السيتوبلازم، أو تعطيل العمليات الأيضية، أو تراكم الأيون الحمضي المنفصل إلى مستوى سام. يعتمد نشاط الأحماض العضوية الميكروبيولوجي على درجة التفكك، إذ إن تقليل الرقم الهيدروجيني يؤدي إلى زيادة تركيز الحمض، وتقليل قطبية الجزيئات، وتحسين انتشار الحمض عبر الأغشية الخلوية الميكروبية إلى الخلايا، وبالتالي زيادة النشاط المضاد للبكتيريا. تختلف فعالية عمل حمض الستريك المضاد للبكتيريا وقابلية الميكروبات التأثر. يُظهر حمض الستريك تأثيرات مضادة للبكتيريا مثالية في بيئة ذات درجة حموضة منخفضة، وفي درجات حرارة منخفضة، وعند استخدامه بتركيزات عالية.

نوعي في جدار الخلية لبكتيريا E. coli، تم تأكيده عبر قياس تسريب إنزيم الفوسفاتيز القلوي، مما يشير إلى اختلال في سلامة الجدار الخلوي. كما أثبتت الأحماض العضوية، بما فيها حامض الستريك، قدرتها على تثبيط تكوين الأغشية الحيوية (Biofilm) وتقليل النشاط الخلوي داخلها كما في الشكل (2-5):



شكل(2-5) آلية عمل حمض الستريك على الخلية البكتيرية (Mani-López et al., 2012)

(2-8-2) حامض البروبيونيك (Propionic acid):

الاسم الشائع لحامض البروبيونيك مشتق من الكلمتين اليونانيتين "بروتوس" (protos) التي تعني "الأول" و "بيون" (pion) التي تعني "دهن"، وذلك لأنه كان أصعر حمض من صعيفة H(CH₂)nCOOH يُظهر خصائص الأحماض الدهنية الأخرى. حمض البروبيونيك هو حمض كربوكسيلي طبيعي المنشأ صيغته الكيميائية CH₃CH₂COOH، ويُسمى نظاميًا حمض البروبانويك. في حالته النقية، يكون سائلًا أكالًا عديم اللون ذو رائحة نفاذة. (Coral, 2008)

يمتلك هذا الحمض خواصًا فيزيائية وسيطة بين خواص الأحماض الكربوكسيلية ذات السلاسل الطويلة. يُعد هذا الأقصر، مثل حمض الفورميك وحمض الأسيتيك، والأحماض الدهنية ذات السلاسل الطويلة. يُعد هذا المركب ممثلاً للخصائص العامة للأحماض الكربوكسيلية، حيث يُظهر قدرة على تكوين مشتقات الأميدات والإسترات والأنهيدريدات والكلوريدات. يتميز بقابليته للامتزاج مع الماء بأي نسبة، في حين تؤدي إضافة الأملاح إلى فصله عن الطور المائي. بالإضافة إلى ذلك، يتفاعل مع الكحولات والإسترات والأملاح العضوية، منتجًا الإسترات والأملاح العضوية الجديدة والأملاح على التوالي.

(Ahmadi, 2017)

يُستخدم حمض البروبيونيك، باعتباره حمضًا عضويًا قويًا نسبيًا، كعامل مضاد للميكروبات في المواد الغذائية مثل منتجات الألبان والمخبوزات، وفي حفظ أعلاف الحيوانات كبديل واعد للمضادات الحيوية التي تتسبب في مشكلة مقاومة المضادات. يمكن معالجة الأعلاف بواسطة حمض البروبيونيك لحمايتها من التحلل البكتيري والفطري. (Byrne et al., 2015)

يُعد البروبيونات أو حمض البروبيونيك من الجزيئات الواعدة لمكافحة العدوى، خاصـــة تلك التي تُعد البروبيونات المقاومة للأدوية المتعددة MDR) Multi-Drug Resistant

(Langfeld *et al.*, 2021)

تكمن الآلية المضادة للميكروبات لحامض البروبيونيك في قدرته على النفاذ عبر الغشاء الخلوي في شكله غير المتفكك (Ahmadi, 2017). فبمجرد دخوله إلى السيتوبلازم، يطلق جزيئات البروتونات التي تحمّض البيئة الداخلية للخلية (Bushell et al., 2019). هذا التحميض يثبط نمو البكتيريا والخمائر والفطريات، كما يؤثر على تدرج درجة الحموضة عبر الغشاء الخلوي، مما يعيق نقل المغذيات الضرورية لحياة الكائن المجهري (Ahmadi, 2017). أكد الباحثون (Ahmadi, 2017) في دراستهم أن حمض البروبيونيك أظهر تأثيراً فعالاً قوياً مضاداً للميكروبات ضد البكتيريا الممرضة، مما يؤكد دوره كعامل مضاد للبكتيريا . وأظهرت النتائج أن حامض البروبيونيك يمتلك نشاطًا قويًا ومحددًا ضد كل من بكتيريا المكورات العنقودية الذهبية (Staphylococcus aureus)، والعصوية الرقيقة (Bacillus subtilis)، والعصوية الرقيقة (Pseudomonas aeruginosa).



الفَصْلِ أَن اللَّهُ اللَّ

المواد وطرائق العمل (Materials and Methods)



3- المواد وطرائق العمل:

(3-1) المــــواد:

(3-1-1) المعدات والأجهزة:

جدول (3-1): المعدات والأجهزة

المنشئأ	الشركة المصنعة	اسم الجهاز	
المانيا	Kern	الميزان الحساس Sensitive Balance	1
المانيا	GFR	جهاز التقطير Water distillatory	2
المانيا	Corning	المحرك المغناطيسي Magnetic Stirrer	3
المانيا	Hermle	جهاز الطرد المركزي Centrifuge	4
المانيا	Memert	الفرن الكهربائي Electric Oven	5
المانيا	Binder	الحاضنة Incubator	6
اليابان	Hirayama	المؤصدة Autoclave	7
فرنسا	Bio Meryeux	Vitek Compact System 2 فايتك	8
فرنسا	Lab Tech	کابینة زرع Inoculation Hood	9
هولندا	Bio zek medical	اطباق بتري Petri Dishes	10
کندا	ALS	انابیب اختبار Test Tube	11
المانيا	Brand –W	الثاقب الفليني Cork borer	12
الو لايات المتحدة الأمريكية	Rainin	الماصة الإلكترونيةElectronic Pip <i>et</i> te	13
كوريا	Bio neer	ابندروف Epindroff	14
سنغافورا	Oakton	pH meter مقياس الرقم الهيدروجيني	
كوريا	Bionex	مازج Vortex	
The N <i>et</i> herland	PHILPS	جهاز حيود الأشعة السينية X-Ray diffraction	17
.Czechia	TESCAN	المجهر الألكتروني الماسح SEM Scanning electron microscopy	18

المنشأ	الشركة المصنعة	اسم الجهاز	Ü
USA	Perkin	مطياف الأشعة تحت الحمراء	19
USA	Elmer	(Infrared media swap (FTIR	19
The		المجهر الألكتروني النافذ	
	PHILPS	Transmission Electron Micoscope	20
N <i>et</i> herland		((TEM	
		مطافية تشتت الطاقة للأشعة السينية EDX	
Czechia	TESCAN	Energy –Dispersive X-ray	21
		spectroscopy	
lonon	Horiba	جهاز قياس زيتا المحتملة: Analyzer	22
Japan	попра	Z <i>et</i> aPotential	22
سنغافورة	Oakton	مقياس الرقم الهيدروجيني PH meter	23
UK	Watman	اد الله بالله Eiltor Dapor من شرع الله	24
UK	No.1	اوراق ترشیح Filter Paper	24

جدول(3-2): المواد الكيميائية

المنشأ	الشركة المصنعة	المواد الكيمائية	ت
الهند	SRL	خلات الزنك Zinc Ac <i>et</i> ate	
الهند	SRL	هيدروكسيد الصوديوم Sodium	2
	ONE	Hydroxide	۷
·: 11	Loba chemie	ميثانول	3
الهند	Loba chemie	M <i>et</i> hanol	
الهند	SRL	حامض البروبيونيك Propionic	4
,	SIL	Acid	4
	THOMAS		
الهند	BAKER(CHEMICALS)	حامض السترك Citric Acid	5
	PVT.LTD		
انكلترا	Solvochem	بيروكسيد الهيدروجين H2O2	6

المنشأ	الشركة المصنعة	المواد الكيمائية	Ü
انكلترا	Difco	كاشف الأوكسيديز NNNN T <i>et</i> ra m <i>et</i> hyl-p- phenylene diamine dihydro chloride	
الهند	LoBA cHEMIE pVT.LTD	اوكسيد الزنك ZinC Oxide	8
بلجيكا	CHEM-LAB	البنفسجي كريستال Crystal violet	9
بلجيكا	CHEM-LAB	سافرانين Saphranin	10
الهند	Global chemie pvt,ltd	الميثانول Methanol	11
بلجيكا	CHEM-LAB	اليود lodine	12

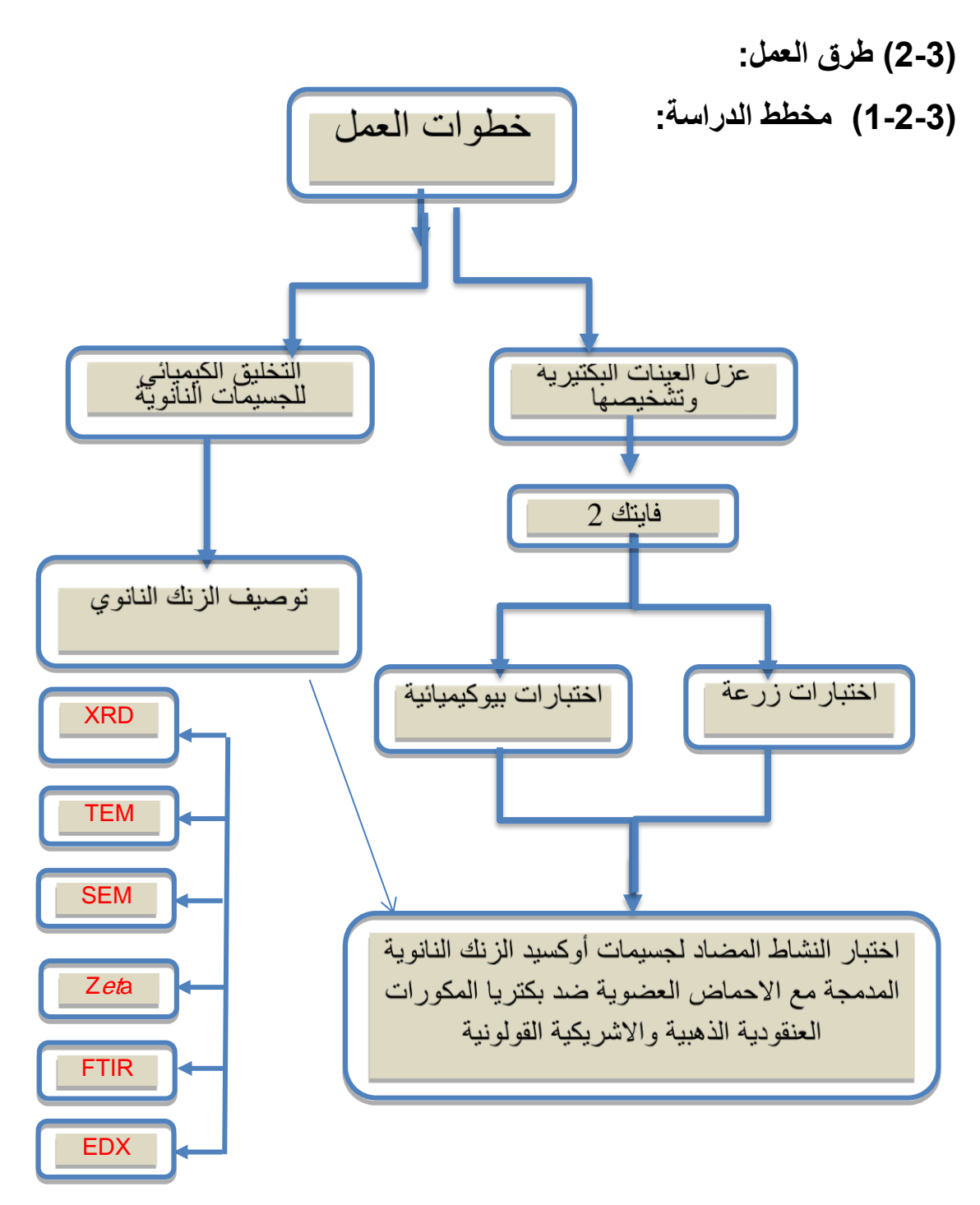
جدول (3-3): المضادات الحياتية

نقطة التوقف	الرمز	المضادات الحيوية	اسم البكتريا	IJ
≥17	Ami	Amikacin	المكورات العنقودية الذهبية	4
			Staphylococcus aureus	1
≥21	AZ	Aztreonam	بكتريا القولونية	2
-2 1	, \	/ Will Collain	Escherichia coli	

جدول (3-4): الأوساط الزراعية

المنشأ	الشركة المصنعة	الغرض	الوسط الزرعي	ت
الهند	HIMEDIA	يستخدم لدراسة قدرة البكتريا على تحلل الدم	وسط اكار الدم Blood ager	1
الهند	IMMEDIA	يستخدم كوسط اختياري لنمو بكتريا المكورات العنقودية الذهبية كمخمر للمانيتول	وسط ملح المانيتول Mannitol Salt ager	2
USA	Michigan	يستحدم لاختبار حساسية العز لات للمضادات الحيوية	وسط مولر هنتون Mueller Hinton ager	3

الهند	Himedia	وسط تفريقي يستحدم لعزل وتفريق الكائنات الحية الدقيقة المعوية سالبة الكرام	وسط المكونك <i>ي</i> Maconkey Ager	4
الهند	Himedia	وسط تفريقي يستحدم لعزل وتفريق الكائنات الحية الدقيقة المعوية سالبة الكرام	اكار ايوسين ازرق المثيلين Eosin m <i>et</i> hylene blue ager	5



الشكل (3-1) الخطوات العملية المتبعة في الجزء العملي

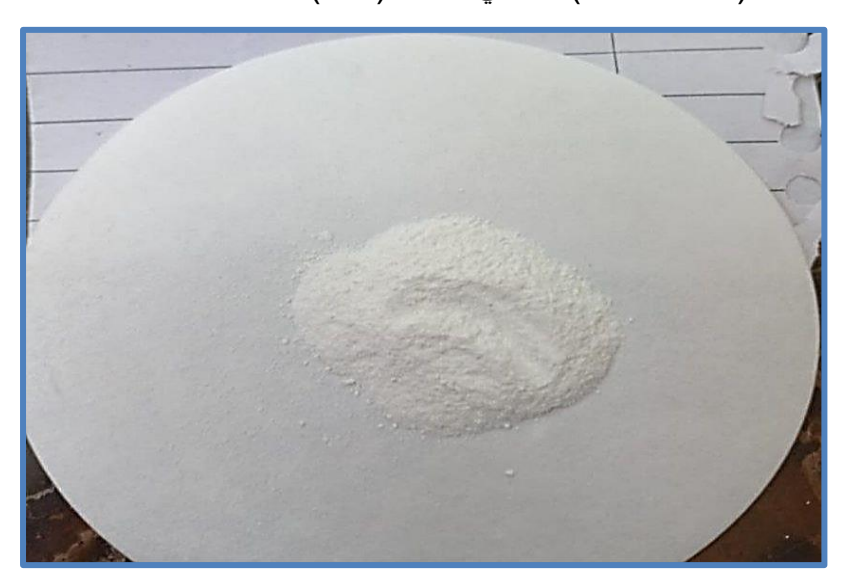
(2-2-3) التحضير الكيميائي لجزيئات أكسيد الزنك النانوية بطريقة الترسيب الكيميائي (Chemical Precipitation)

تم تحضير جزيئات أكسيد الزنك النانوية بطريقة السول - جل مع بعض التغييرات حسب الخطوات التالية وفقًا لـ (Hasnidawani et al., 2016):

- 1. تم اذابة 8g من ثنائي هيدرات أسيتات الزنك (Zn(CH3COO)2.2H2O) في 10 mL من الماء المقطر مع تقليب المحلول لمده خمس دقائق تقريبًا بواسطة المحرك المغناطيسي
- 2. في وعاء منفصل تم إذابة 32g من هيدروكسيد الصوديوم (NaOH) في 40mL من الماء المقطر مع التحريك المستمر لمده خمس دقائق تقريبا بواسطة المحرك المغناطيسي
- 3. تمت إضافة محلول المحتوي على أسيتات الزنك (Zn (CH3COO)2.2H2O) الى محلول هيدروكسيد الصوديوم (NaOH) مع التحريك المستمر بواسطة محرك مغناطيسي لمدة خمس دقائق تقريبًا.
- 4. تم ملئ دورق زجاجي بـ(400) مل من المياثنول كما ذكر الباحث (Smajlagić, 2024) واضافته إلى المحلول الذي يحتوي على أسيتات الزنك و هيدروكسيد الصوديوم بعد التفاعل، تم تكوين راسب أبيض.

(Zn(CH3COO)2 · 2H2O) + 2NaOH → ZnO + 2NaCH3COO + H2O

5. ، بعد التفاعل، تم الحصول على راسب أبيض عن طريق الطرد المركزي تم تسخين الراسب الأبيض عند درجة حرارة 60 درجة مئوية لمدة أربع ساعات، لتكوين جسيمات أكسيد الزنك النانوية (ZnO NPs) كما في الشكل (2-3):



شكل (2-2) جسيمات أكسيد الزنك النانوية (ZnO NPs)

(3-3) توصيف الجسميات النانوية Characterization of the Nanoparticles:

تحدد المواد النانوية بطرق عديدة وأجهزة متنوعة، وتم إرسال جسيمات أكسيد الزنك النانوية إلى مختبرات متخصصة خارج العراق لإجراء فحوصات عليها، والفحوصات المستخدمة في هذا البحث تشمل ما يلي:

(3-3-1) التوصيف الفيزيائي للجسيمات النانوية

Physical Characterization of the Nanoparticles

• تحليل حيود الأشعة السينية XRD) X-RAY Diffraction Analysis):

تُستخدم هذه التقنية لتشخيص المواد النانوية وذلك عن طريق قراءة ترتيب الذرات وتجانسها مع بعضها البعض وما إذا كانت تشكل بلورات أم لا.

يتم تجهيز العينة عن طريق:

الطحن: تُطحن العينة إلى مسحوق ناعم جدًا باستخدام هاون ومدقة.

ملء الحامل: يُوضع المسحوق بالتساوي داخل حامل العينة لضمان التوزيع المتجانس.

التجفيف: إذا كانت العينة رطبة، يجب التأكد من تجفيفها بالكامل قبل القياس.

يتم تطبيق هذه التقنية عن طريق قياس الزوايا التي تشكلها هذه الأشعة لمعرفة المسافات البينية داخل أنسجة البلورة وحجم البلورات ، حيث يتم استخراج المسافات البينية عن طريق قانون براج للحيود (Bragg's Law):

(قانون براج)
$$\eta\lambda = 2d.\sin\theta$$

$$D = \frac{K\lambda}{\beta \cos \theta}$$

وتكون شدة الأشعة المنعكسة على شكل قمم حادة واتجاهات تكون مختلفة، وتسمى قمم براج. ويمكن إيجاد قمة براج عن طريق الاختلاف في زاوية المركب في التحليل.

إن وجود قمم عالية وحادة يدل على تجانس ذرات المركب وبنيته البلورية، فحين تكون القمم سميكة وصعغيرة فهذا يدل على أن العينة غير متجانسة وليس لها بنية بلورية (Singh and Nanda, 2013)

المجهر الإلكتروني النافذ TEM) Transmission Electron Microscopy):

تستخدم تقنية المجهر الإلكتروني النافذ لتوفير معلومات عن التركيب البلوري والشكلي للعينات، حيث تستخدم على نطاق واسع في مختلف مجالات علم الأحياء وتكنولوجيا النانو وهي مفيدة بشكل خاص لمراقبة الجسيمات النانوية المعدنية (Hassan, 2018). لإجراء التحليل بواسطة (TEM)، يجب أن تكون العينة رقيقة بما يكفي للسماح بمرور حزمة الإلكترونات من خلالها، ويتم ذلك باتباع الخطوات الأساسية التالية:

التقطيع الرقيق: تُقطع العينة إلى مقاطع رقيقة جدًا، بسمك يقل عادةً عن 100 نانومتر، باستخدام مشرط فائق الدقة.

النقل: تُوضع المقاطع الرقيقة بعناية على شبكة المجهر الإلكتروني النافذ، وهي شبكة نحاسية أو كربونية مُدعمة.

التجفيف : يُراعى أن تكون المقاطع جافة وواضحة قبل إدخالها إلى حجرة الجهاز لتجنب تشويه الصور أو تشتيت حزمة الإلكترونات.

(3-3-2) التوصيف الكيميائي للجسيمات النانوية

Chemical Characterization of Nanoparticles

وتتضمن مايلي:

• مطياف الأشعة تحت الحمراء (FTIR) (Fourier Transform Infrared Spectroscopy)

توفر تقنية FTIR معلومات قيمة عن التركيب الكيميائي للمادة وايضا عن التغيرات السطحية التي قد تحدث فيها (Shi et al., 2017)، وهي تقتصر بشكل أساسي على تحديد المجموعات الوظيفية ولا يوفر معلومات كاملة عن البنية الجزيئية ثلاثية الأبعاد للمركب (Rafique et al., 2017). حيث تتميز هذة التقنية بالعديد من المزايا الهامة، بما في ذلك سرعة التحليل وإمكانية استخدامه لتحليل مجموعة متنوعة من العينات من دون تدمير ها. (Shi et al., 2017).

تعتمد آلية عمل (FTIR) على مبدأ أن كل مركب عضوي يمتص ترددات مميزة من الأشعة تحت الحمراء تتوافق مع الاهتزازات المميزة لروابطه الكيميائية. وعندما يتعرض المركب لطاقة عالية، مثل الأشعة تحت الحمراء، ينتج عن هذا التفاعل انبعاث طاقة يوضح تفاعلات الجزيئات.

يجمع مطياف الأشعة تحت الحمراء بتقنية تحويل فورييه مجموعة واسعة من البيانات الطيفية في نفس الوقت، مما يعطيه ميزة كبيرة على مطياف التشتت الذي يقيس الكثافة في نطاق صغير من الأطوال

الموجية. تُعد هذه التقنية مشتقة من تحويل فورييه (عملية رياضية)، والتي تقوم بتحويل البيانات الخام الأصلية إلى الطيف الفعلى.

يتم رسم النتائج تلقائيًا باستخدام أحد البرامج المضمنة في أجهزة التحليل الطيفي. وباستخدام الرسم البياني الناتج، يقوم الباحثون بتحليل الرسم البياني واكتشاف قمم مميزة يمكن تتبعها إلى مكونات المركب. يتراوح نطاق أطياف FTIR النموذجية من 4000 إلى 400 سم1-

(Salman, 2022)

لإجراء القياس بواسطة (FTIR)، يتم تحضير العينة لضمان الحصول على طيف واضح وموثوق: تحضير الغشاء أو القرص المضغوط: يمكن تحضير العينة إما ك غشاء رقيق أو قرص مضغوط عن طريق خلط العينة مع بروميد البوتاسيوم وطحنها جيدًا.

الكبس: في حال استخدام الأقراص المضغوطة، تُكبس الخلطة باستخدام مكبس أقراص للحصول على قرص رقيق.

• مطيافية الأشعة السينية المشتتة للطاقة EDX)Energy-Dispersive X-ray spectroscopy):

مطيافية الطاقة المشتتة تبحث في تحليل السطح وتوصيف العناصر للعينة. المبدأ الأساسي يتضمن در اسة الأشعة السينية المنبعثة من طاقات مختلفة القادمة من العينة عندما تضرب شعاع من الإلكترونات عناصرها. ويمكن التعرف بسهولة على تركيب وكمية الجسيمات النانوية المعدنية من سطح العينة المعطاة (Rades et al., 2014; Smuleac et al., 2015) لضمان الحصول على نتائج دقيقة في EDX ، يجب تحضير العينة بعناية وفق الخطوات التالية:

التثبيت: تُثبت العينة على قاعدة (Stub) موصلة للكهرباء.

الطلاء: إذا كانت العينة غير موصلة، تُطلى بطبقة رقيقة من الذهب أو الكربون لتجنب ظاهرة الشحن (Charging).

التجفيف: يجب التأكد من أن العينة جافة قبل وضعها في الجهاز.

• المجهر الإلكتروني الماسح SEM) Scanning Electron Microscopy (SEM):

يوفر المجهر الإلكتروني الماسح معلومات طبوغرافية وعناصرية للجسيمات النانوية ، وذلك عند تكبيرات مفيدة مع عمق مجال غير محدود تقريبًا. ويمكن استخدامه في تقييم التركيب العنصري للجسيمات النانوية، وأيضًا في حجم الحبيبات، والمسامية، والتجانس وتوزيعات الحجم، وفي خشونة السطح، والتوزيع والانتشار بين المعادن (Palmqvist, 2017).

لضمان الحصول على صور واضحة ودقيقة، يتم تحضير العينة بالخطوات التالية:

التثبيت: تُثبت العينة على قاعدة (Stub) موصلة للكهرباء.

الطلاء: إذا كانت العينة غير موصلة، تُطلى بطبقة رقيقة من الذهب أو الكربون لتجنب ظاهرة الشحن (Charging).

التجفيف: يجب التأكد من أن العينة جافة قبل وضعها في الجهاز.

آلية العمل تعتمد على مرور شعاع إلكتروني ممسوح بدقة عبر سطح العينة؛ ويولد هذا إلكترونات متناثرة وإلكترونات ثانوية و ايضا أشعة سينية مميزة. وعند جمعها بواسطة أجهزة الكشف، هذه الإشارات تشكل صورًا للعينة الممسوحة ضوئيًا المعروضة على شاشة أنبوب أشعة الكاثود (Hassan, 2018)

(3-3-3) التوصيف الفيزيائي - الكيميائي:

يشمل تحليل جهد زيتا (Zeta Potential): تحليل جهد زيتا هو تقنية لتحديد الشحنة السطحية للجسيمات النانوية في المحاليل (الغرويات). ،يعد تحليل جهد زيتا أداة مهمة لفهم حالة سطح الجسيمات النانوية والتنبؤ باستقرارها على المدى الطويل.

إن فهم جهد زيتا ذات أهمية بالغة في التحكم في التشتت وفي تحديد استقرار تعليق الجسيمات النانوية إلى أي درجة سيحدث التجمع بمرور الوقت . (Mohammadi-Jam et al., 2022)

للحصول على قراءات دقيقة وممثلة لاستقرار المعلق النانوي، يتم تحضير العينة وفق الخطوات التالية:

التشتيت: تُعلِّق العينة في مُذيب مناسب (مثل الماء المقطر) باستخدام خلاط مغناطيسي أو رجّاج (Shaker).

الحصول على تركيز مناسب: يُضمن أن يكون تركيز العينة مناسباً للقياس (عادةً ما يكون منخفضاً لتجنب التكتل/التجميع (Aggregation).

الترشيح: إذا وُجدت فقاعات أو جسيمات كبيرة، تُرشح العينة باستخدام مُرشح ناعم.

Biological Characterization التوصيف البيولوجي لجسيمات اوكسيد الزنك النانوية of Zinc Oxide Nanoparticles

تمت دراسة النشاط المضاد لهذه الجسيمات النانوية ضد بكتريا المكورات العنقودية الذهبية (Staphylococcus aureus) الموجبة لصبغة غرام ، والبكتريا القولونية (coli) السالبة لصبغة غرام .

(3-4) جمع العزلات Collection of isolates

استُخدمت في هذه الدراسة عزلات بكتيرية من (E. coli) (سالبة لصبغة گرام) المعزولة من براز الأطفال المصابين، وعزلات من (S. aureus) (موجبة لصبغة گرام) المعزولة من عينات الدم. تم تشخيص هذه العزلات مبدئيًا بواسطة جهاز VITEK-2 Compact في مستشفى الطفل والولادة بميسان حيث يعتمد نظام VITEK 2 Compact على طريقة التشخيص الألي الكامل ويهدف إلى تحديد نوع الكائنات الحية الدقيقة واختبار فاعلية المضادات الحيوية ضدها بسرعة ودقة.

يتلخص مبدأ عمل الجهاز في استخدام بطاقة اختبار بلاستيكية صغيرة (Microwells)، تحتوي على مواد كيميائية مُجقّفة (Card)، تحتوي على مواد كيميائية مُجقّفة (ركائز/Substrates) تتفاعل مع البكتيريا قيد الدراسة. تسمح هذه التفاعلات بتقييم خصائص البكتيريا الأساسية، مثل:

الاختبارات البيوكيميائية: تقييم التفاعلات الأيضية للبكتيريا، بما في ذلك إنتاج الإنزيمات الهاضمة وتغيرات الوسط من حمضي أو قاعدي

اختبارات المقاومة: تحديد مدى قدرة البكتيريا على النمو والعيش في وجود مواد تمنع نموها ، وهو ما يحدد نوع المقاومة لديها.

لإجراء الاختبار، يُحضّر محلول بكتيري نقي ومركز من مستعمرات البكتيريا الحديثة (عمر 18- 24 ساعة). يُعدّل تركيز هذا المحلول ليُطابق مقياس الكثافة الموحد، وهو 0.5 ماكفار لاند (0.5 ساعة). يُعدّل تركيز هذا المحلول ليُطابق مقياس الكثافة باستخدام جهاز فحص الكثافة . بعد ذلك، يتم التقيم بطاقة VITEK 2 بهذا المحلول لبدء عملية التحليل الآلي. (Salman, 2022) ، ثم نُقلت هذه العزلات المشخصة إلى مختبر الصحة العامة في الشبانة لغرض تنميتها وتأكيد تشخيصها.

(3-3) تحضير الاوساط الزرعية Preparation of Culture Media:

تم تحضير جميع الاوساط حسب تعليمات الشركة المصنعة والمثبتة على العبوة وحسب ما يلي 1- وسط مولر هنتون (Mueller Hinton)

خطوات التحضيير: يتم اذابة جميع المكونات في لتر من الماء المقطر. ويتم تحريكه جيدًا ويسخن حتى الذوبان الكامل يعقم الوسط بالمؤصدة عند 121°م، وضغط 1.5 باوند/انج² لمدة 15 دقيقة، ثم ترك ليبرد وصب في اطباق معقمه وحفظ في الثلاجه لحين الاستخدام

2- وسط ملح المانيتول (Mannitol Salt Agar)

خطوات التحضيير: يتم اضافه المسحوق إلى 1000 مل من الماء المقطر مع التحريك جيدًا. ويسخن المزيج مع التحريك حتى تذوب المكونات تمامًا ويصبح الوسط شفافًا. ويعقم بالمؤصدة عند 121°م، وضعط 1.5 باوند/انج² لمدة 15 دقيقة، ثم ترك ليبرد وصعب في اطباق معقمه وحفظ في الثلاجه لحين الاستخدام

3- وسط اكار الدم (Blood Agar)

خطوات التحضير: يتم اذابة مسحوق الآكار كاملاً في الماء المقطر مع التحريك والتسخين حتى الذوبان التام.ويعقّم الوسط بالمؤصدة عند 121°م، وضغط 1.5 باوند/انج² لمدة 15 دقيقة، ، بعد ذلك أضيف إليه الدم بتركيز 5%، وحُرّك بعناية لتجنب تكسر كريات الدم ، وصئب في أطباق بتري معقمة، ثم تُرك ليتصلب (Ahmed, 2021).

4- وسط مكونكي (MacConkey Agar)

خطوات التحضير: يتم اذابة جميع المكونات في لتر ماء مقطر يسخّن مع التحريك حتى الذوبان التام ويعقّم بالمؤصدة عند 121°م، وضعط 1.5 باوند/انج² لمدة 15 دقيقة، ثم ترك ليبرد وصب في اطباق معقمه وحفظ في الثلاجه لحين الاستخدام

5- أكار إيوسين أزرق الميثيلين(EMB)

خطوات التحضير: أضافة 1 غرام من الأزرق المثيلين إلى لتر ماء مقطر ويحرّك جيداً حتى النوبان الكامل ويحفظ المحلول في زجاجة معتمة في درجة حرارة الغرفة ويتم التعقيم بالمؤصدة عند 121°م، وضعط 1.5 باوند/انج² لمدة 15 دقيقة، ثم ترك ليبرد وصب في اطباق معقمه وحفظ في الثلاجه لحين الاستخدام

6- اكار نيوترنت (Nutrient Agar

يُذاب الأجار المغذي في الماء المقطر مع التحريك المستمر حتى يذوب تماماً ,ويعقّم بالمؤصدة عند 121°م، وضغط 1.5 باوند/انج² لمدة 15 دقيقة، ثم ترك ليبرد وصب في اطباق معقمه وحفظ في الثلاجه لحين الاستخدام

(3-3) تشخيص العزلات البكتيرية Identification of bacterial isolates

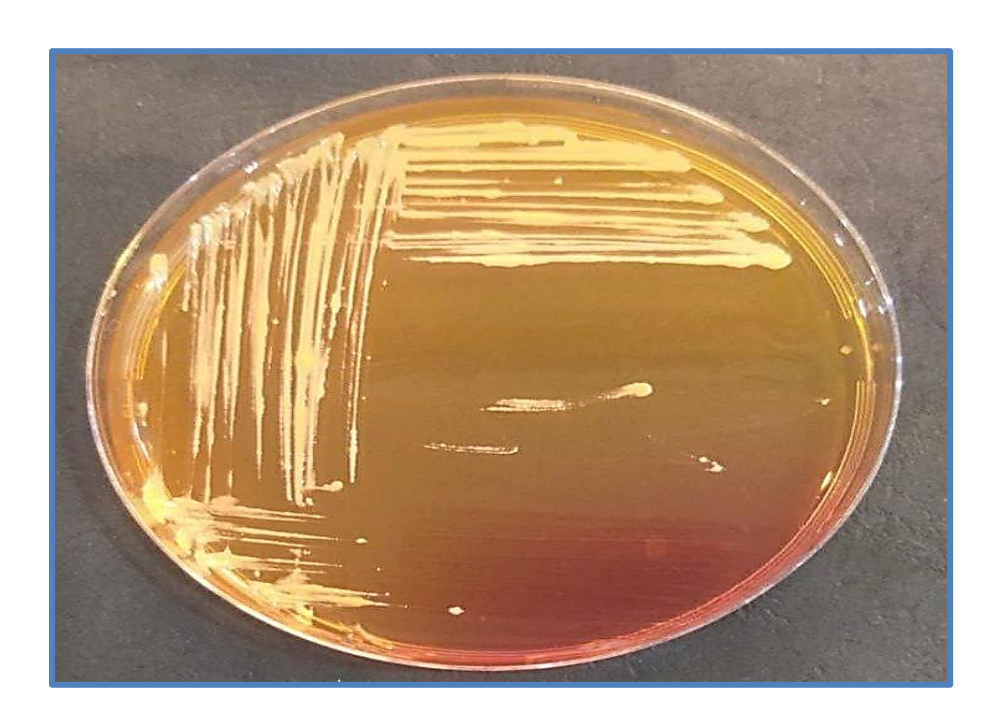
تم الحصول على العزلات البكتيرية (E. coli, S. aureus) مشخصة من مستشفى الطفل والولادة في ميسان، باستخدام جهاز VITEK-2 Compact.

يُستخدم الفحص بجهاز VITEK-2 Compact كاختبار تشخيصي تأكيدي، وبدقة تصل إلى 98%، إذ يقوم بإجراء ما يقرب من 64 اختبارًا كيميائيًا حيويًا للبكتيريا المراد اكتشافها. وعلى الرغم من حصولنا على العزلات مشخصة، ولكن لمزيد من التأكد من مطابقة العزلات، تم استخدام خطوات أخرى لتحديد هوية عزلات بكتيريا (E. coli 'S. aureus).

(3-6-1) تشخيص بكتريا المكورات العنقودية الذهبية (Staphylococcus aureus):

: (Culture characteristics) الصفات المزرعية

تعتمد الخصائص المزرعية للمستعمرات النامية على الوسط من حيث لون المستعمرات وشكلها وحجمها ونوع حوافها وارتفاعها وكذلك تأثيرها في الوسط مثل تخمر المانتول وتم تنقيتها وذلك بإعادة زرعها على وسط الأكار المغذي ملح المانتول حضنت بدرجة حرارة (37) م ولمدة (24) ساعة. كما هو موضح في الشكل (3-3):



شكل (3-3) بكتريا S. aureus المزروعة على وسط الأكار المغذي (Mannitol Salt Agar)

(2-1-6-3) الفحوصات الكيموحيوية Biochemical Test:

تم التحقق في الخصائص الكيميائية الحيوية من خلال إجراء بعض الاختبارات الكيميائية الحيوية بما في ذلك:

أ- فحص اختبار إنزيم الكاتليز (Catalase Test):

تم نقل جزء من مستعمرة صغيرة عمرها أقل من 24 ساعة بواسطة ناقل إلى شريحة زجاجية نظيفة ومعقمة، ثم تمت إضافة قطرة من بيروكسيد الهيدروجين (H_2O_2) بتركيز (+): تكون مصحوبة بظهور فوران وفقاعات واضحة، وهذا يدل على وجود إنزيم الكاتليز في العينة واذا كانت النتيجة سلبية (-): عدم ظهور الفقاعات، مما يعنى غياب إنزيم الكاتليز.

(Atlas, 2018)

ب- اختبار انزيم الأوكسيديز (Oxidase Test):

تم نقل مستعمرة فتية بواسطة عصا خشبية معقمة إلى ورقة ترشيح مشبعة بالأوكسيديز. ويتم ملاحظة النتائج اذا كانت النتيجة إيجابية (+): ظهور لون أزرق داكن أو أرجواني خلال 10 ثوان، مما يدل على وجود إنزيم الأوكسيديز. واذا كانت النتيجة سلبية (-): عدم تغير اللون، يدل على غياب الإنزيم.

(Atlas, 2018)

ج- فحص إنتاج إنزيم محلل الدم (Hemolysin Test)

يتم هذا الاختبار عن طريق تلقيح وسط الدم الصلب (Blood agar) ببكتريا المكورات العنقودية الذهبية حيث يتم أخذ البكتريا من مزرعه حديثه ومن ثم تحضن عند 37 درجة مئوية ولمدة 24 ساعة. فإذا كان هناك تحلل للدم وضهرت منطقه شفافه فهذا يعني قدرة البكتريا على تحلل الدم وامتلاكها انزيم تحلل الدم واذا بقى الوسط أحمر طبيعى فيعنى ان البكتريا لا تمتلك هذا الأنزيم

(Atlas, 2018)

(Microscopical Characteristics) الخصائص المجهرية (3-1-6-3)

لدراسة الخصائص المجهرية للبكتيريا المعزولة، أُجريت صبغة گرام وفقًا لطريقة للراسة الخصائص المجهرية للبكتيريا المعزولة، أُجريت صبغة گرام وفقًا لطرية ونُشرت (De la Maza et al., 2017) إذ أُخذت كمية صغيرة من مستعمرة بكتيرية ونُشرت بقطرة من محلول ملحي فسيولوجي على شريحة زجاجية، ثم ثُبّتت بالحرارة بتمريرها فوق اللهب عدة مرات وتم صبغها بصبغة الكريستال البنفسجية ، ثم عولجت باليود ، ثم أزيل لونها بالكحول وأُضيف إليها السافرانين كخطوة أخيرة، ثم وُضع غطاء الشريحة ، وفُحصت تحت العدسة الزيتية للمجهر الضوئي . لدراسة خصائصها من حيث شكل الخلايا ، وتجمعها ،

وحجمها ، وترتيبها ، وتفاعلها مع الصبغة . اذا ظهرت بشكل كروي وذات لون بنفسجي واحتفظت باللصبغه فيدل هذا على ان هذه البكتريا هي بكتريا المكورات العنقودية الذهبية الموجبه الكرام المتحفضه بالصبغه

: Escherichia coli تشخيص بكتريا (2-6-3)

(1-2-6-3) الخصـــــانص المزرعيــــة (ColonialMorphology) والمظهريـــة (Morphological Characteristics)

تمت زراعة بكتيريا E. coli على وسط أكار مكونكي (MacConkey Agar) لتشخيص صفاتها المزرعية من حيث شكل المستعمرات وحجمها ولونها والرائحة الصادرة منها.

وتشمل الخصائص المورفولوجية شكل ونمو العزلات على وسط أگار إيوسين أزرق الميثيلين (EMB). تم أخذ مستعمرات على عروة معقمة وزرعها بشكل خطوط على آكار إيوسين أزرق الميثيلين وتم تسجيل الخصائص المظهرية بعد مدة حضانة 37 درجة مئوية لمدة 24 ساعة. كما هو موضح في الشكل (3-4):



شكل (3-4) بكتريا E.coli المزروعة على وسط 4-3)

: Microscopical Examination الفحص المجهري (2-2-6-3)

خضعت جميع العزلات للفحص تحت المجهر. تم إجراء صبغة گرام بوضع الحلقة بشكل كامل في المساحة المُحدَّدة من الماء على الشريحة. خلطت كمية صغيرة من البكتيريا مع الماء ونُشر الخليط، ثم

جُففت المسحة هوائياً وثُبِّتت بالحرارة بتمرير الشريحة ثلاث مرات بسرعة عبر لهب الموقد. بعد ذلك، صُبغت المسحة باستخدام صبغة كرام وتمت مشاهدتها تحت العدسة الزيتية. عندما تظهر بشكل عصوي وذات لون احمر او ارجواني فهذا يعني ان هذة البكتريا هي بكتريا القولون السالبة الغير محتفظة بالصبغة (Moyes et al., 2009)

(3-7) تنشيط العزلات البكتيرية (Revitalization of Bacterial Isolates):

لتنشيط العزلات البكتيرية، ُحضَّر الوسط الغذائي السائل المناسب، مثل وسط نيوترنت بروث، وعقَّم باستخدام المؤصدة (Autoclave)، عند 121°C لمدة 15 دقيقة، وثم يُحضن البروث عند درجه حرارة 37°C لمدة 24-18 ساعة حتى تظهر المستعمرات البكتيرية.

(3-8) حفظ العزلات القصير الأمد Short term storage:

لقحت العز لات البكتيرية التابعة لبكتيريا المكورات العنقودية الذهبية والبكتريا القولونية على وسط مولر هينتون بطريقة التخطيط، ثم تم حضن الأطباق لمدة 24 ساعة عند درجة حرارة 37°م، وبعدها تم حفظها عند درجة حرارة 4°م. (Zhualnoon, 2019)

(9-3) التراكيــــز الفعالـــة (جســـيمات أكســـيد الزنـــك النانويــة) ضـــد (Escherichia coli):

باتباع الصيغة الرياضية للدراسة، تم تحضير وتحديد ثلاثة تراكيز من جسيمات أكسيد الزنك النانوية (ZnO NPs) وهي : 75 ميكرو غرام/مل، و150 ميكرو غرام/مل وفقًا للمعادلة الرياضية الأتية :

$$C\left(\frac{g}{ml}\right) = \frac{W(g)}{V(ml)} \tag{3-1}$$

تم فحص كل تركيز من جسيمات أكسيد الزنك النانوية باستخدام سلالتين قياسيتين من البكتيريا: (E. coli).

لتقييم الفعالية التآزرية، تم دمج كل تركيز من جسيمات أكسيد الزنك النانوية مع حمضين عضويين بتركيز ثابت قدره 2%: حمض الستريك (Citric acid) وحمض البروبيونيك (Propionic acid)، بالإضافة إلى ذلك، تم تضمين مجموعة ضابطة تحتوي على جسيمات أكسيد الزنك النانوية (Zno NPs) فقط وايضا تم تضمين الحامض العضوي

ضمن مجموعة السيطرة (الضابطة) لتقييم تأثيره المستقل. تم بناء هذه المنهجية على أحدث الأساليب الموضحة في (Salman, 2022)، وكان الهدف منها تقييم الفعالية المثبطة لكل من العلاجات الفردية (ZnO NPs فقط) والعلاجات التآزرية (Tilahun et al., 2023).

بناءً على ما ورد في مراجعة (Sirelkhatim et al., 2015) فإن تراكيز ZnO النانوية 50 ميكروغرام/مل أو أعلى فهو الذي يبدأ عنده الظهور الحقيقي للتأثير المثبط أو القاتل لغالبية السلالات البكتيرية. بالتالي، تراكيز الدراسة (75 ميكروغرام/مل فما فوق) تقع ضمن النطاق الفعّال المعروف في الأدبيات العالمية، مما يدعم جدوى التركيزات المستخدمة في هذه الدراسة.

كما تم استخدام أكسيد الزنك (ZnO) مطابق لمواصفات دستور الأدوية الهندي (IP)، تم توفيره بواسطة شركة Loba Chemie Pvt. Ltd. حيث تم استخدامه بالتراكيز نفسها الثلاثه وتم مقارنه النتائج.

: (Assay of Inhibition Zone) اختبار منطقة التثبيط (10-3)

تم تلقيح الوسط الزرعي مولر هنتون اكار بالبكتيريا بطريقه الفرش لتغطية كامل سطح الوسط، ثم تم عمل حفر بواسطه الثاقب (5ملم) وتم ملئ الحفر ب100 مايكرولتر، حسب سمك الوسط من احد التراكيز المستخدمة لغرض المقارنة والتي هي:

- 1- ملئ حفرة واحده ب أكسيد الزنك النانوي ممزوج ب D.W) Distilled Water) كعنصر سيطرة
- 2- الأحماض العضوية المستخدمة (حامض الستريك وحامض البروبيونيك) بتركيز 2% كعنصر سيطرة
- 2- أكسيد الزنك النانوي + حامض السترك (Citric acid) ثم تم وضعها في الحاضنه لمدة 24 ساعة وعند 37 درجة مئوية.

وتم استخدام هذه التراكيز نفسها لكن هذه المرة تم ملئ الحفر جسيمات أكسيد الزنك النانوية مع حامض البروبيونيك (Propionic acid).

(11-3) اختبار حساسية المضادات الحيوية Antibiotic sensitivity testing:

تم تقييم حساسية العزلات البكتيرية للمضادات الحيوية باستخدام طريقة أقراص الانتشار وفقًا لتوصيات معهد المعايير السريرية والمخبرية (CLSI, 2021) وطريقة كيربي-باور.

(Kirby-Bauer, 2009)

لإجراء الاختبار، تم تحضير معلق بكتيري لكل عزلة, تم أخذ مستعمرات معزولة بعمر 3-4 ساعات من طبق النمو وتم تعديل كثافة كل معلق بكتيري ليصبح مكافئًا لمعيار ماكفار لاند 0.5 باستخدام محلول ملحي فسيولوجي معقم.

تم بعد ذلك توزيع المعلق البكتيري بشكل متجانس على سطح أطباق بتري تحتوي على أكار مولر هينتون (MH) باستخدام مسحة معقمة لضمان تغطية كاملة للسطح. تُركت الأطباق لبضع دقائق (10-15 دقيقة) حتى يجف السطح. بعد ذلك، تم وضع مجموعة من أقراص المضادات الحيوية المختلفة بعناية على سطح الأكار باستخدام ملقط معقم ، مع التأكد من وجود مسافة كافية بين الأقراص لتجنب تداخل مناطق التثبيط. تم إجراء هذا الاختبار بشكل منفصل لكل من E. coli و S. aureus.

حضنت الأطباق مقلوبة عند درجة حرارة 37 درجة مئوية لمدة 18-24 ساعة. بعد فترة التحضين، تم قياس قطر منطقة التثبيط لكل مضاد حيوى

قُورنت النتائج بالجداول العالمية المحددة من قبل FDA ، CLSI ، و CDC لتحديد مدى مقاومة أو حساسية البكتيريا للمضادات الحيوية المختلفة. تم تسجيل النتائج لكل من S. aureus و منفصل.

: (Statistical analysis) التحليل الإحصائي (12-3)

تم إجراء التحليل الإحصائي للبيانات باستخدام تحليل التباين أحادي الاتجاه مع أقل فرق معنوي (LSD) (Least Significant Difference) باستخدام برنامج التحليل الإحصائي (برنامج الحزمة الإحصائية للعلوم الاجتماعية SPSS) Statistical Package for Social Sciences الإحسائية للعلوم الاجتماعية $P \leq 0.05$ مع قيمة المعنوية $P \leq 0.05$



الفظيل المتاقشة والمناقشة

Results and discussion



الفصل الرابعالنتائج والمناقشة

(4) النتائج:

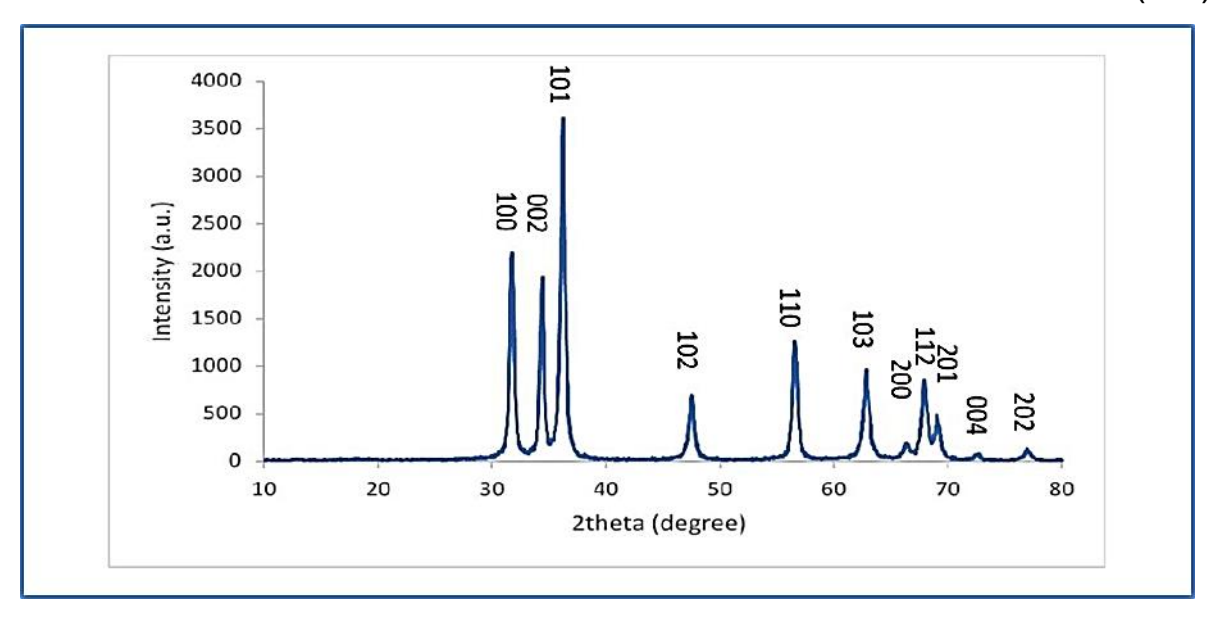
(1-4) توصيف جسيمات أكسيد الزنك النانوية Oxide Nanoparticles

(4-1-1) تحليل حيود الأشعة السينية (XRD):

تم إجراء فحص حيود الأشعة السينية (XRD) للعينة المحضرة من أوكسيد الزنك النانوي بهدف تحديد التركيب البلوري وحجم البلورات النانوية. أظهرت النتائج ظهور قمم حيود حادة ومميزة عند زوايا (θ 2) تساوي تقريبًا 31.7°، 34.4°، و36.3°و غيرها كما في الشكل رقم (14)، والتي تتوافق مع المستويات (100)، (100)، و(100) وفق بطاقة SCPDS رقم 36-1451 وهي مطابقة لأوكسيد الزنك النانوي، وتشير ايضا إلى أن العينة تمتلك بنية سداسية. تم حساب حجم البلورات باستخدام معادلة شيرر.

تؤكد النتائج التي تم الحصول عليها أن العينة تحتوي على بلورات بأحجام تتراوح بين نحو 19 إلى 39 نانومتر تقريبا. يشير تقارب حجم البلورات تجانسًا واضحًا في المادة المحضرة، مما يعكس دقة وضبط ظروف التحضير. كما أن الانتقال الطفيف في مواقع القمم مقارنة بالقيم القياسية قد يدل على وجود إجهادات مجهرية (microstrain) صغيرة في الشبكة البلورية أو شوائب قليلة جدا ناتجة من المواد المستخدمة بالتحضير. تؤكد هذه النتائج نجاح عملية التحضير وأن العينة المحضرة هي بالفعل أوكسيد الزنك النانوي ببنية سداسية مستقرة. الجدول رقم (4-1) يوضح زوايا القمم وما يقابلها من منتصف عرض القمة، معاملات ميلر وحجم البلورة بالنانومتر. وهذا يتفق مع ما وجده

كما هو موضح في الشكل (Salman, 2022) (Al-Janabi & Zhualnoon, 2019) (1-4)



الشكل (4-1) نتائج تحليل حيود الأشعة السينية لجسيمات أكسيد الزنك النانوية

الفصل الرابعالنتائج والمناقشة

الجدول رقم (4-1) يوضح زوايا القمم وما يقابلها من منتصف عرض القمة، معاملات ميلر وحجم البلورة بالنانومتر.

تسلسل	2θ (°)	FWHM β	(hkl)	D حجم البلورة (nm)
1	31.7502	0.3542	(100)	23.32
2	34.4114	0.3149	(002)	26.41
3	36.2836	0.2755	(101)	30.34
4	47.6192	0.3149	(102)	27.57
5	56.6110	0.4723	(110)	19.10
6	62.8625	0.2362	(103)	39.42
7	66.4309	0.3936	(200)	24.13
8	67.9580	0.1574	(112)	60.87
9	69.0942	0.1574	(201)	61.28
10	72.6909	0.4723	(004)	20.88
11	76.9639	0.3936	(202)	25.78

الجدول (4-1) القمم في تحليل XRD الجدول (1-4) القمم في تحليل (TEM) : (1-4)

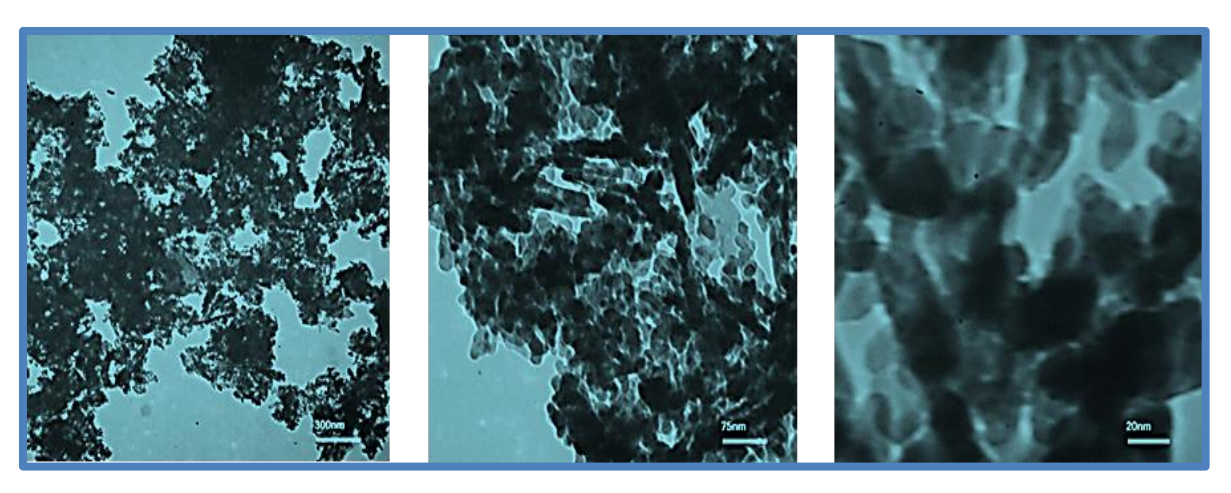
تم إجراء تحليل مجهري للجسيمات النانوية المحضرة باستخدام المجهر الإلكتروني النافذ (TEM)، كما هو موضح في الشكل (4-2). تُظهر الصورة تكتلاً واضحًا لجسيمات نانوية ذات شكل غير منتظم يميل إلى الكروي والعصوي (rod-like)، بقطر يتراوح بين 20 إلى 50 نانومتر، وفقًا للمقياس (75 نانومتر). يشير التباين العالي في الصورة إلى أن المادة تتمتع بكثافة إلكترونية مرتفعة، ما يعكس غالبًا طبيعة معدنية أو أكسيدية للجسيمات مثل أكاسيد المعادن. كما يُلاحظ وجود تراكمات وتجمعات لجسيمات متعددة، مما قد يُعزى إلى قوى التداخل السطحي أو نقص في استخدام عوامل التثبيت أثناء التحضير. تتفق هذه النتائج مع ما توصل إلية

(Barzegari Firouzabadi et al., 2014)

تُعد هذه الخصائص المورفولوجية مهمة في تحديد كفاءة المادة النانوية في التطبيقات الطبية، حيث إن الحجم النانوي يسمح بالنفاذية العالية داخل الخلايا، كما أن الشكل العصوي أو الكروي قد يؤثر على آلية الامتصاص الحيوي وآلية التفاعل مع البكتيريا. ومن التطبيقات المحتملة لهذه الجسيمات استخدامها في أنظمة توصيل الأدوية النانوية، أو كمضادات ميكروبية نانوية فعالة، نظرًا لقدرتها على اختراق الأغشية الخلوية وتعطيل الوظائف الحيوية للميكروبات. إن فهم التركيب البنيوي للجسيمات بهذا المستوى النانوي يوفّر أساسًا مهمًا لتقييم فعاليتها وسميتها الحيوية في التطبيقات الحيوية كما هو موضح في الشكل (4-2):

(Horgan et al., 2020)

الفصل الرابع النتائج والمناقشة



شكل (4-2) صور المجهر الإلكتروني النافذ (TEM) لجسيمات أكسيد الزنك النانوية

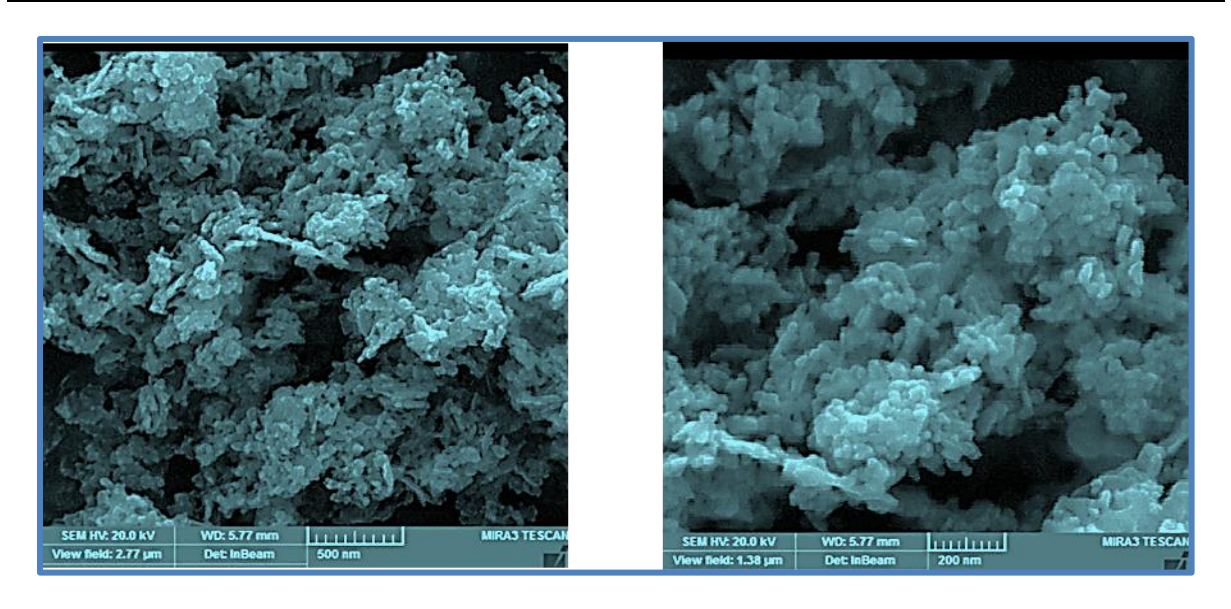
(3-1-4) نتيجة تحليل المجهر الإلكتروني الماسح (SEM):

تم فحص عينة اكسيد الزنك النانوي المحضرة بتقنية الترسيب الكيميائي باستخدام المجهر الإلكتروني الماسح (SEM)، وقد أظهرت الصور الناتج نجاح عملية التحضير بشكل واضح، حيث تبين أن معظم الجسيمات تقع ضمن النطاق النانوي، بتوزيع حجمي يتراوح بين 20 إلى 50 نانومتر كما مبين الشكل رقم (3-4). كما كشفت الصور عن تجانس نسبي في شكل الجسيمات، حيث كانت معظمها ذات شكل شبه كروية، مما يشير إلى انتظام جيد في عملية النمو البلوري اثناء عملية التحضير. إضافة إلى ذلك، لوحظ وجود مسامية واضحة على سطح العينة، وهو ما يُعد مؤشرًا مهمًا في تعزيز المساحة السطحية النوعية، وبالتالي زيادة الفعالية النفاعلية للمادة. تتفق هذه النتائج مع ما توصل إلية

(Barzegari Firouzabadi et al., 2014)

تُعد هذه الخصائص المورفولوجية ، والتي أظهرت خصائص بصرية وهيكلية داعمة للتطبيقات الحيوية. إن وجود هذه البنية النانوية المنتظمة والمسامية يعزز من قابلية استخدام المادة في التطبيقات الطبية والصحية، مثل أنظمة التوصيل الدوائي، والمواد المضادة للبكتيريا، والمستشعرات الحيوية، حيث تساهم البنية النانوية والمسامية في تعزيز التفاعل مع الخلايا أو الميكروبات المستهدفة. بناءً على هذه النتائج، يمكن تأكيد ملاءمة المادة المحضرة للاستخدام في مجالات التكنولوجيا الحيوية والطب النانوي، مع إمكانية تطويرها مستقبلًا لتلائم تطبيقات أكثر تخصصاً. (Horgan et al., 2020) كما هو موضح في الشكل (4-3):

الفصل الرابع النتائج والمناقشة

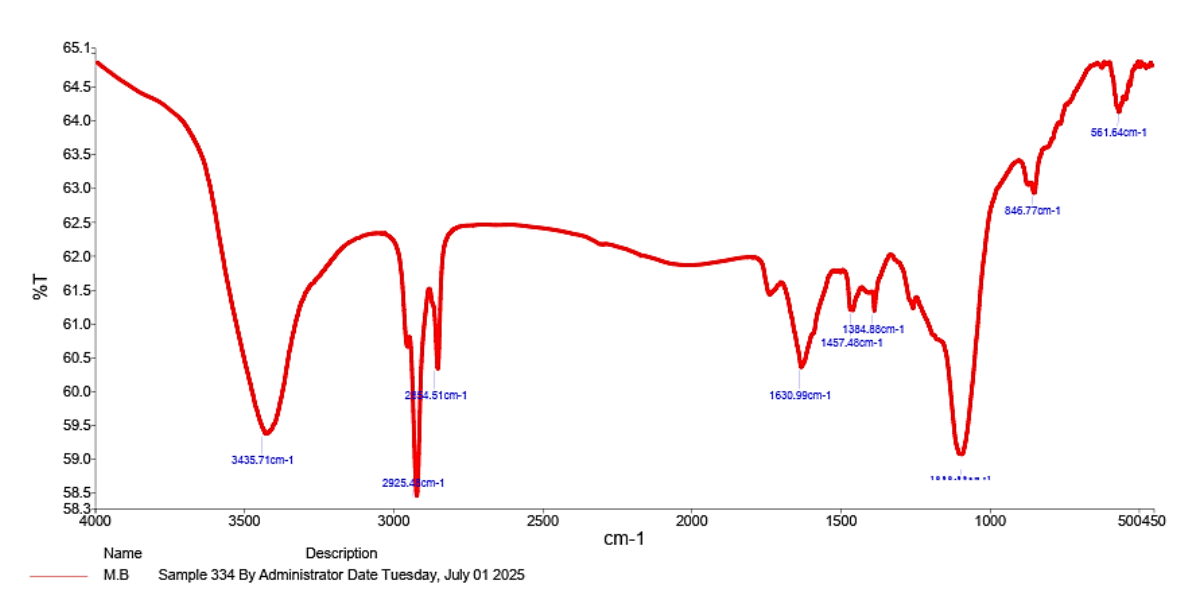


شكل (4-3): صور تحليل SEM لجسيمات أكسيد الزنك النانوية

(4-1-4) نتائج تحليل الأشعة تحت الحمراء بامتصاص فورييه (FTIR):

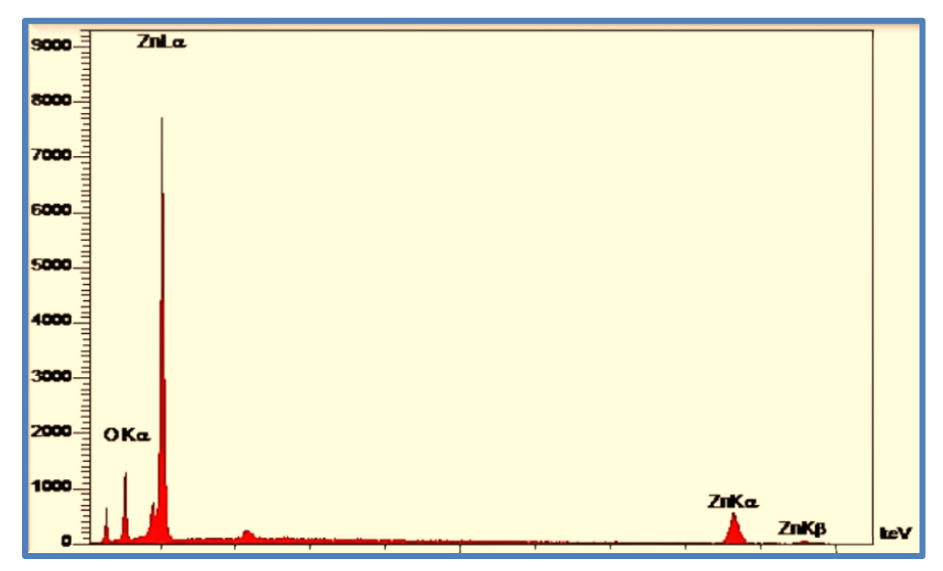
تم إجراء تحليل طيف الأشعة تحت الحمراء (FTIR) لعينة أوكسيد الزنك النانوي المحضرة، حيث أظهرت النتائج وجود عدة قمم مميزة تبين المجاميع الوظيفية الفعالة في العينة. ظهرت قمة عريضة عند cm⁻¹ 3435.71 cm⁻² تعود إلى اهتزازات H—Oالتي يشير إلى وجود مجموعات الهيدروكسيل الناتجة عن المتصاص الماء أو الكحول المستخدم في التحضير. كما لوحظت قمم عند 2925.48 و 2854.51 cm⁻¹ 2854.51 تعود إلى اهتزازات CH—O التمددية بالإضافة الى القمة 1630.99 التي تعزى إلى اهتزازات cm⁻¹ 1630.99 وهي مؤشر على وجود بقايا من المواد المستخدمة في التحضير. كذلك، ظهرت قمم عند 1457.48 و 1384.88 cm⁻¹ تعود إلى اهتزازات CO—O أو O—O، والتي تؤكد المنيبات المستخدمة. القمة عند 1090.99 تشير إلى اهتزازات المجموعة التي تؤكد وجود مركبات كحولية. أما القمة عند 846.77 cm⁻¹ تعود إلى اهتزازات لمجموعة = C—O، والتي تؤكد الحلقات الأروماتية. وأخيرًا، القمة المهمة عند 1561.64 cm⁻¹ تعزى إلى اهتزازات المجموعة عالمميزة لأوكسيد الزنك، مما يؤكد تكون التركيب النانوي للمادة وتحقيق التركيب البنيوي المستهدف. تعكس هذه النتائج توافقًا واضحًا مع الخصائص الكيميائية المتوقعة لأوكسيد الزنك النانوي المحضر، وتؤكد نجاح عملية التحضير كما هو موضح في شكل (4-4) . وهذا يتفق مع ما توصل إليه

(Al-Musawi, 2023) (Hosagowdar et al., 2022)



FTIR شكل (4-4) مخطط لنتيجة تحليل
: (EDX) نتيجة تحليل تشتت الطاقة للأشعة السينية (5-1-4)

تم إجراء تحليل (EDX) للعينة لتحديد التركيب العنصري ودعم نتائج فحص حيود الأشعة السينية. أظهر الطيف وجود قمم مميزة لعناصر الزنك (Zn) والأكسجين (O)كما في الشكل (5-4)، مما يؤكد أن العينة تتكون أساسًا من أوكسيد الزنك من دون وجود شوائب ملحوظة. القمم الحادة للزنك تشير إلى نقاء عالٍ في التركيب، بينما تشير النسبة الذرية Zn:O إلى قربها من النسبة المثالية (1:1) لأوكسيد الزنك. عدم ظهور قمم لعناصر إضافية يدل على كفاءة عملية التحضير وعدم تلوث العينة في أثناء التحضير . تتفق هذه النتائج مع ما اتوصل إلية (Zahoor et al., 2023) كما هو موضح في الشكل (4-5)

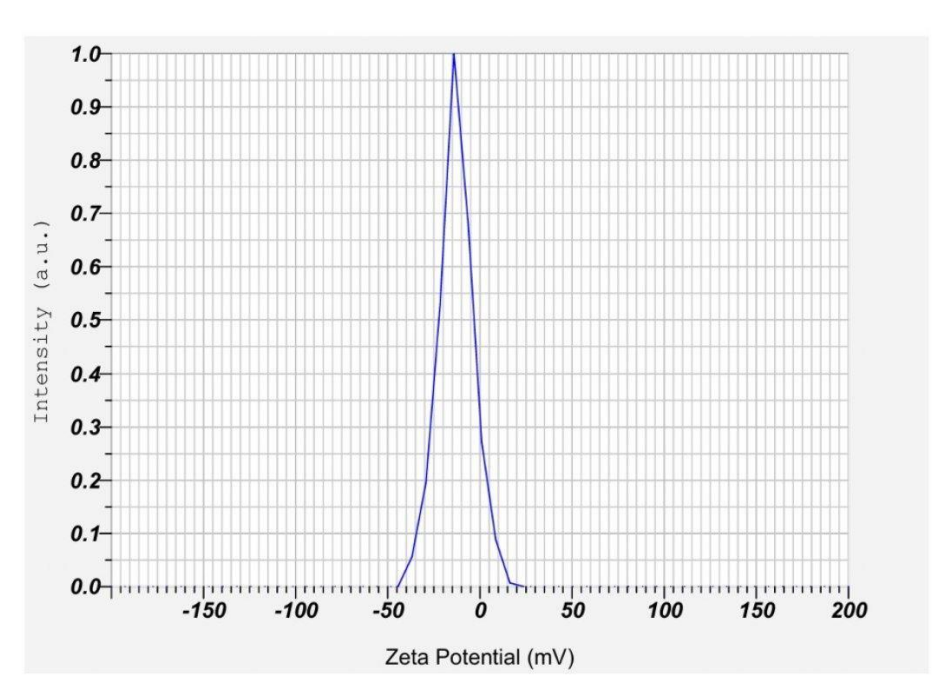


شكل (4-5) طيف تحليل EDX يوضح توزيع عناصر Zn وO في عينة أكسيد الزنك النانوية

الفصل الرابع

(1-4-6) نتيجة قياس فرق الجهد السطحي (Zeta Potential) لجسيمات أكسيد الزنك النانوية:

تم إجراء فحص الجهد السطحي (Zeta Potential) للمادة النانوية بهدف تقييم الاستقرار في المحلول الغروي للنظام النانوي، حيث أظهرت النتائج شحنة سالبة للجسيمات وجود وبقيمة تقدر بحوالي 12.9- ملي فولت. تشير الشحنة السطحية السالبة للجسيمات وجود بعض التنافر الكهرو ستاتيكي بين الجسيمات في الوسط المعلق. ومع ذلك، فإن القيم المسجلة تقع ضمن النطاق الأقل من ±30 ملي فولت، والذي يُعتبر عادةً مؤشرًا على استقرار ضعيف إلى متوسط للمعلقات النانوية. بالتالي، فإن استقرار النظام النانوي محدود، مما قد يؤدي إلى حدوث تكتلات أو ترسيب بمرور الوقت. السبب القيمة القليلة الى الجهد السطحي للجسيمات يعود الى ظروف تحضير العينة، مثل الرقم الهيدروجيني، أو تراكيز العوامل المختزلة أو المثبّتة، والتي تؤثر بدورها على شحنة السطح وخصائص التشتت. توضح هذه النتائج أهمية تحسين ظروف التحضير او إضافة مثبتات اثناء او بعد عملية التحضير لزيادة الاستقرار، خاصة في النطبيقات الحيوية أو البيئية التي تتطلب استقرارًا عاليًا للجسيمات. وهذا يتفق مع خاصة في النطبيقات الحيوية أو البيئية التي تتطلب استقرارًا عاليًا للجسيمات. وهذا يتفق مع (Aadim & Abbas, 2023)



شكل (4-6) قياس فرق الجهد السطحي (Zeta Potential) لعينة من جسيمات أكسيد الزنك النائوية

الفصل الرابع النتائج والمناقشة

(2-4) تشخيص بكتيريا المكورات العنقودية الذهبية (S.aureus)

(2-4-1) الخصائص المزرعية (Colonial Morphology):

ظهرت المستعمرات البكتيرية على شكل مستعمرات صغيرة، ذات حواف حادة، محدبة، وذات لون أصفر ذهبي عندما نمت على وسط أكار المانيتول الملحي الذي يحتوي على 6.5% من الملح مع تخمير المانيتول، وتغير لون الوسط من الوردي إلى الأصفر كما هو موضح في الشكل (4-7)



شكل (4-7) نمو بكتيريا S. aureus على وسط أكار المانيتول الملحي (MSA).

: (Biochemical Test) الفحوصات الكيموحيوية

1- اختبار الكاتليز (Catalase Test):

أظهرت العزلات البكتيرية المختبرة نتيجة إيجابية لاختبار الكاتليز، إذ لوحظ ظهور فقاعات غازية فور إضافة بيروكسيد الهيدروجين، وهذا يشير إلى قدرتها على إنتاج إنزيم الكاتليز. كما في الشكل (4-8)

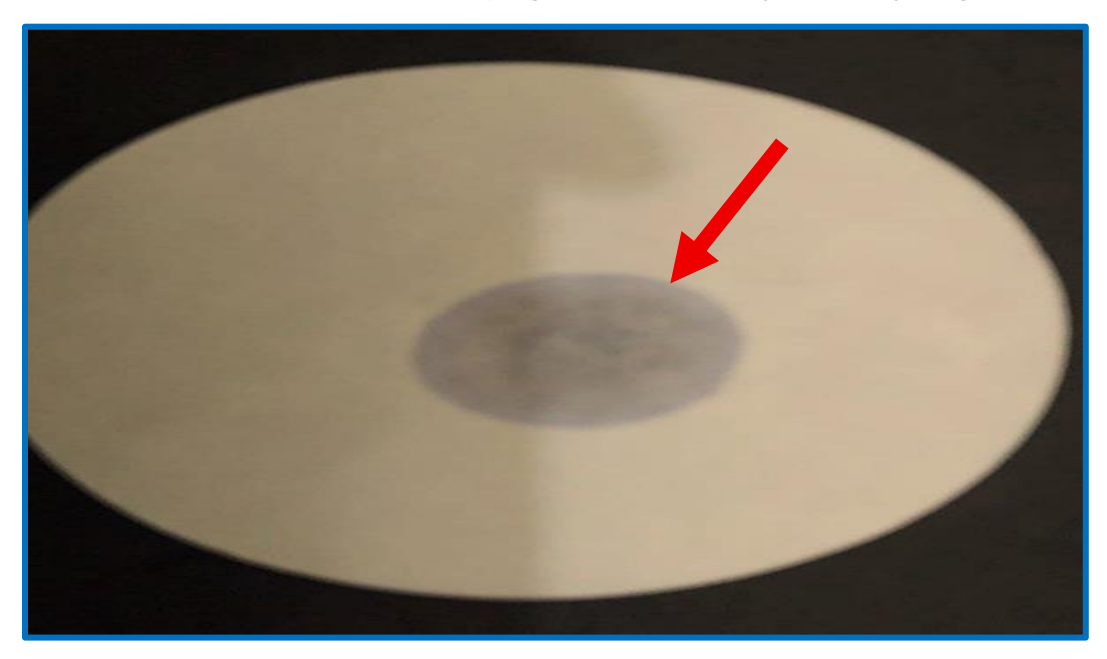
الفصل الرابع النتائج والمناقشة



شكل (8-4) اختبار الكاتليز (Catalase Test)

2- اختبار انزيم الأوكسيديز (Oxidase Test) :

أظهرت العز لات البكتيرية المختبرة نتائج إيجابية لاختبار الأوكسيديز، إذ لوحظ تشكل اللون الأزرق خلال فترة تتراوح من(10 – 20)ثانية. كما هو موضح في شكل (4-9)

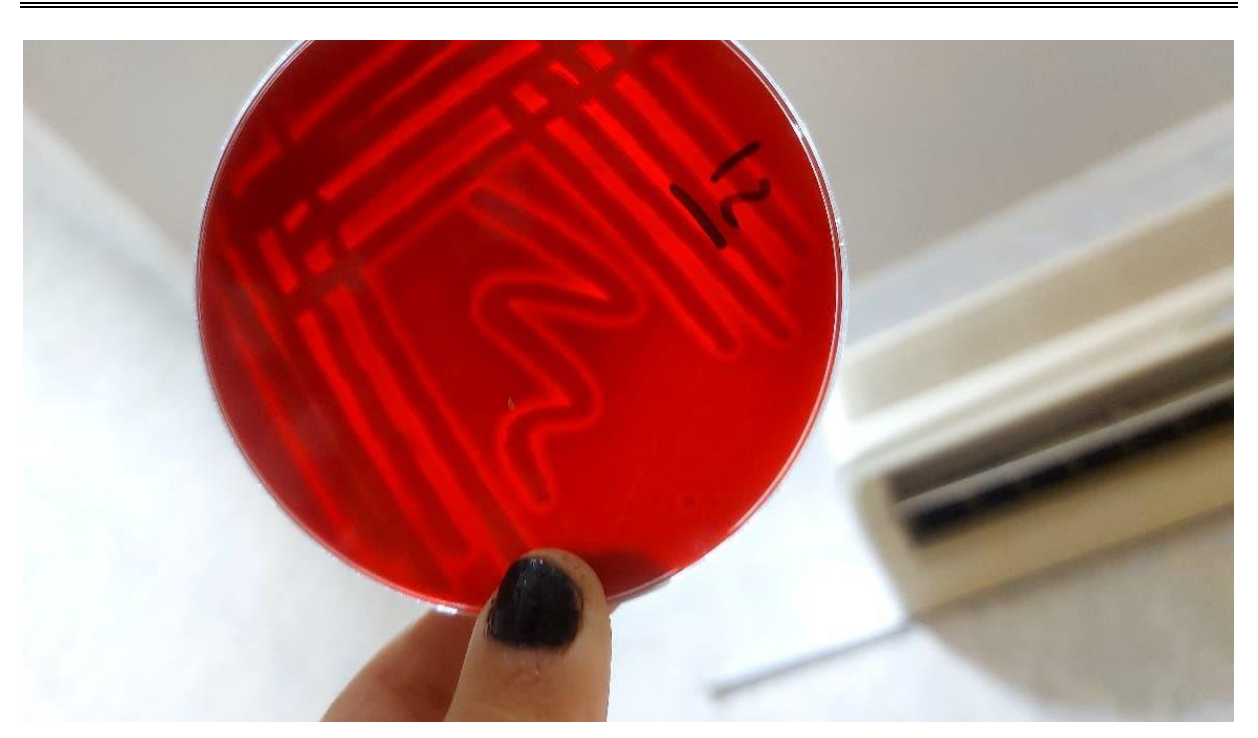


شكل (9-4) اختبار الأوكسيديز (Oxidase Test)

3- فحص إنتاج إنزيم محلل الدم (Hemolysin Test):

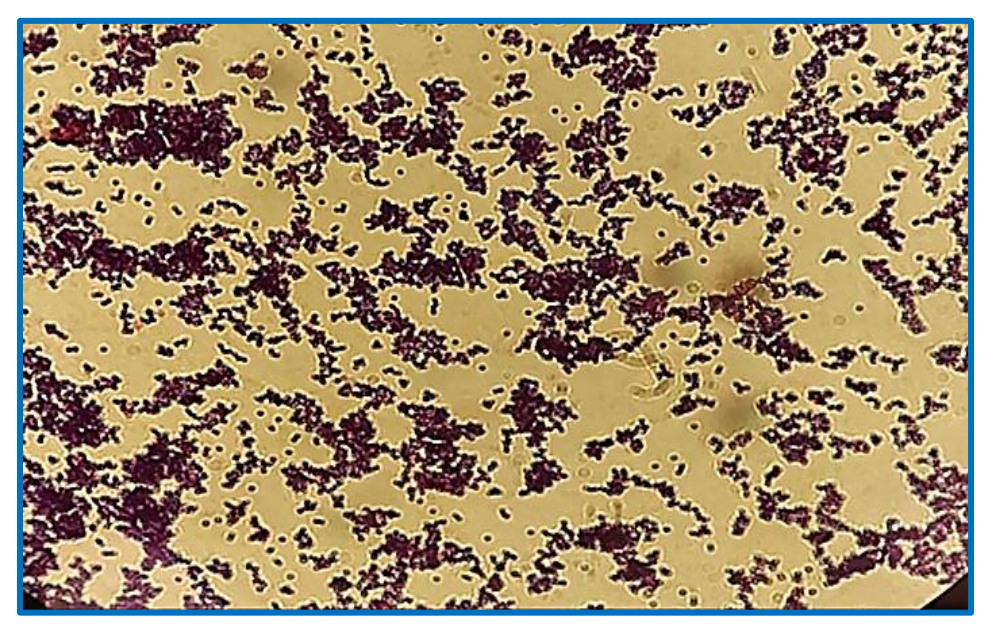
أظهرت العز لات البكتيرية المختبرة قدرة على إنتاج انزيم تحلل الدم من النوع بيتا (β) ، حيث لوحظ تشكل مناطق شفافة كاملة حول المستعمرات على أكار الدم كما في شكل (4-10)

الفصل الرابع النتائج والمناقشة



شكل (4-4): نمو المكورات العنقودية الذهبية على وسط Blood agar شكل (4-4): نمو المكورات العنقودية الذهبية على وسط (3-2-4)

أظهرت نتائج الفحص المجهري أن الخلايا البكتيرية المعزولة كروية الشكل، وتترتب في تجمعات عنقودية، وإيجابية لصبغة گرام، إذ فحصت تحت المجهر الضوئي (Alsalmi, 2014)، كما هو موضح في الشكل(4-11).



شكل (1-4) المكورات العنقودية الذهبية S. aureus تحت المجهر الضوئي

: Vitek-2 Compact فحص (4-2-4)

أُجريت اختبارات Vitek-2 Compact على العزلات وتم تحديد العزلات على أنها S.aureus وكانت النتائج كما في الشكل (4-12).

Identification Information Selected Organism ID Analysis Messages		Analysis Time:	5.85 hours Staphylococcus aureu	Status:	Final	
		Supplyiococcus auteus				
Susceptibility Information Analysis Tir		ime: 10.97 hours	ne: 10.97 hours		Status: Final	
Antimicrobial	MIC	Interpretation	Antimicrobial	MIC	Interpretation	
Benzylpenicillin	>= 0.5	R	Teicoplanin	8	S	
Oxacillin	>=4	R	Vancomycin	4		
Gentamicin	4	*R	Tetracycline	>= 16	R	
Tobramyein	2	*R	Tigecycline	0.5	S	
Levofloxacia	2	1	Nitrofurantoin	32	S	
Mexifloxacin	0.5	S	Fusidic Acid	16	R	
Erythromycin	>= 8	R	Rifampicin		*R	
Clindamycin	4	R	Trimethoprim/ Sulfamethoxazole	<=10	S	
- AES modified **- User modified						
AES Findings	1000					
Confidence: Consi	stent					

شكل (12-4) نتيجة جهاز Vitek 2 compact لتشخيص بكتريا المكورات العنقودية الذهبية (S.aureus)

(4-4) تشخيص بكتريا القولونية (E.coli):

Morphological) والمظهرية (Colonial Morphology) والمظهرية (Characteristics) الخصائص المزرعية (Characteristics

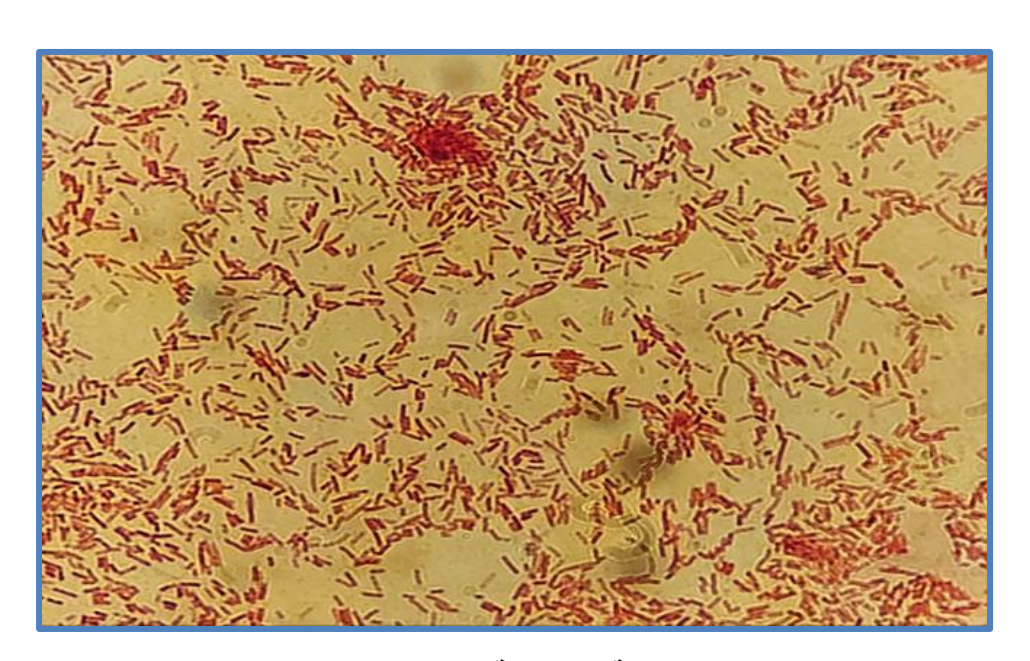
لغرض تشخيص بكتيريا (E. coli) ، تم التعرف على الخصائص المزرعية للعزلات وذلك بعد زراعتها على وسط ماكونكي (MAC) . أما صفاتها المظهرية ، فقد تم تقييمها بعد زراعتها على وسط أكار إيوسين أزرق الميثيلين (EMB) وبعد حضانة أطباق آجار عند درجة حرارة 37 درجة مئوية لمدة 24 ساعة، ظهرت المستعمرات ببريق أخضر معدني مميز، كما هو موضح في الشكل (4-13). و هذه الخاصية تُعد دليلاً رئيسياً ومؤكداً على وجود بكتيريا (Pradeep et al., 2022)

الفصل الرابع النتائج والمناقشة



.EMB على أكار (E. coli) على أكار (E. coli) على أكار (Microscopical Examination) على أكار (2-3-4)

أظهرت نتائج الفحص المجهري ان الخلايا كانت على شكل عصيات وردية اللون، رفيعة أو بيضاوية الشكل، ذات أطوال قصيرة إلى متوسطة، مستقيمة أو منحنية قليلاً، وغير مكونة للأبواغ. قد تظهر بشكل فردي أو في أزواج. تشير هذه النتيجة إلى أن البكتيريا كانت بكتيريا سالبة لصبغة گرام (Levinson et al., 2018) كما موضح في الشكل (14-4)



شكل (4-4) الإشريكية القولونية E.coli تحت المجهر الضوئي

:Vitek-2 Compact فحص (3-3-4)

أُجريت اختبارات Vitek-2 Compact على العزلات وتم تحديد العزلات على أنها .Escherichia coli

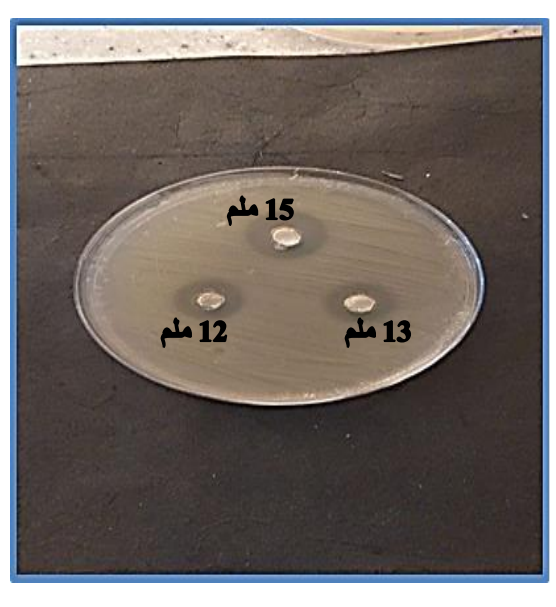
Identification Information Selected Organism		Analysis Time:	4.87 hours	Status:	Final
		98% Probability Bionumber:	Escherichia coli 0405611140565211		
ID Analysis Messages				Ctatus	Final
Susceptibility Information Analysis T		ime: 17.80 hours		Startust	
	MIC	Interpretation	Antimicrobial	MIC	Interpretation
Antimicrobial		R	Amikacin	32	1
Ampicillin	>= 32	R	Gentamicin	4	*1
Cefazolin	>= 64	R	Ciprofloxacin	>= 4	R
Cefoxitin	>= 64		Levofloxacin	>= 8	R
Ceftazidime	>= 64	R		<= 0.5	S
Ceftriaxone	>= 64	R	Tigecycline	>= 512	R
Cefepime	>= 64	R	Nitrofurantoin	>= 320	R
Ertapenem	2	S	Trimethoprim/ Sulfamethoxazole	7 320	
nnipenem	0.5*	*			
*= AES modified **= User modified					
and the second s	announce Training				

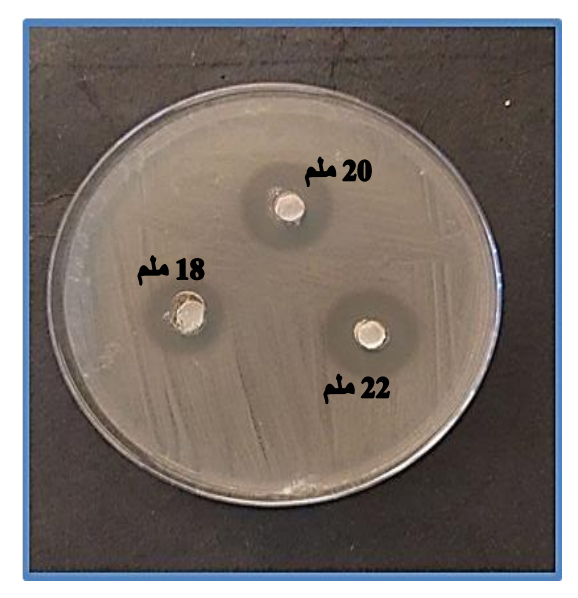
شكل (4-15) نتيجة جهاز Vitek 2 compact لتشخيص بكتريا الإشريكية القولونية (E. coli)

(4-4) النشاط المضاد للبكتيريا Antibacterial Effect:

في هذه الدراسة، تم استخدام أكسيد الزنك غير النانوي ، بالإضافة إلى أكسيد الزنك النانوي المحضر مختبريا، حيث أُجريت مقارنة بين تأثير كلا الشكلين على تثبيط نمو بكتيريا القولونية والمكورات العنقودية الذهبية. وأظهرت النتائج تفوق أكسيد الزنك النانوي بفعالية أكبر في قتل البكتيريا، وهو ما يتوافق مع الأدبيات العلمية التي تشير إلى أن للجسيمات النانوية مساحة سطحية أكبر ونشاط مضاد بكتيري أعلى وتتوافق مع ما توصل إليه (Emami-Karvani & Chehrazi, 2011) الذي أثبت أن أكسيد الزنك النانوي أظهر تأثيرًا مضادًا للبكتيريا أعلى بكثير مقارنة بأكسيد الزنك التقليدي (غير النانوي).وكما موضح في الشكل (4-16) (4-17)

الفصل الرابع النتائج والمناقشة

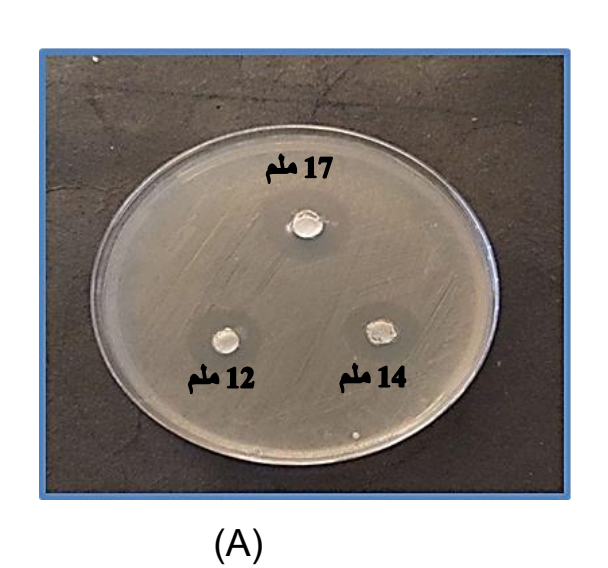


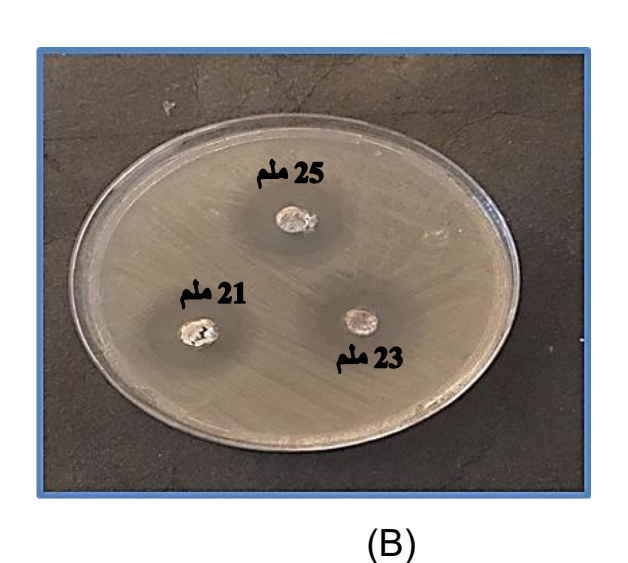


(A) (B)

شكل رقم (4-16)

(A) تأثیر أکسید الزنك غیر النانوي علی بکتیریا S. aureus (B) تأثیر أکسید الزنك النانوي علی بکتیریا S. aureus





شكل رقم (4-17)

(E. coli) تأثير أكسيد الزنك غير النانوي على بكتيريا القولونية (A)

(B) تأثير أكسيد الزنك النانوي على بكتيريا الإشريكية القولونية (E. coli).

ولغرض زيادة فعالية أكسيد الزنك النانوي ضد البكتريا فقد تم مزجة في هذه الدراسة مع عدد من الأحماض العضوية .

الفصل الرابع النتائج والمناقشة

(5-4) دراسة تراكيز مختلفة من المادة النانوية Study of different (5-4): concentrations of nanomaterial

في هذه الدراسة، تم استخدام ثلاثة تركيزات مختلفة من المادة الثانوية وهي 250 ميكروغرام/مل، 150 ميكروغرام/مل، و75 ميكروغرام/مل. ثم تم مزج هذه التركيزات مع نوعين من الأحماض العضوية، مع حمض البروبيونيك و مع حمض الستريك.

وتمت مقارنة التأثير التآزري لكل منهما مع المضادات الحيوية، حيث تم استخدام مضاد للبكتيريا المكورات العنقودية الذهبية ومضاد للبكتيريا القولونية وذلك لنرى مدى فاعلية المواد المختبرة.

وأظهرت النتائج اختلاقًا واضحًا في قدرة المواد المختبرة على تثبيط نمو البكتيريا وذلك حسب درجة التركيز وحسب نوع الحامض المستخدم في المزج.

(E-coli) قابلية حامض البروبيونيك على تثبيط نمو بكتيريا القولونية (E.coli):

توضح النتائج في الشكل المرفق أن تأثير حمض البروبيونيك وحده عند تركيز %2 على تثبيط نمو بكتيريا E.coli كان \$0.42 ± 12.8 ملم.

(4-6-1) قابلية اكسيد الزنك النانوي في تثبيط بكتريا القولون

عند استخدام أكسيد الزنك النانوي أظهر فعالية افضل خاصة مع تزايد تركيزه. فعند التركيز $0.075 \pm 0.35 \pm 0.35 \pm 0.150$ وصل إلى $0.152 \pm 0.35 \pm 0.35 \pm 0.35 \pm 0.35$ ملم، واستمر بالارتفاع إلى $0.44 \pm 0.45 \pm 0.44$ ملم عند التركيز 0.250، وهذا يشير على وجود علاقة طردية بين تركيز أكسيد الزنك النانوي وفعاليته في تثبيط نمو البكتيريا.

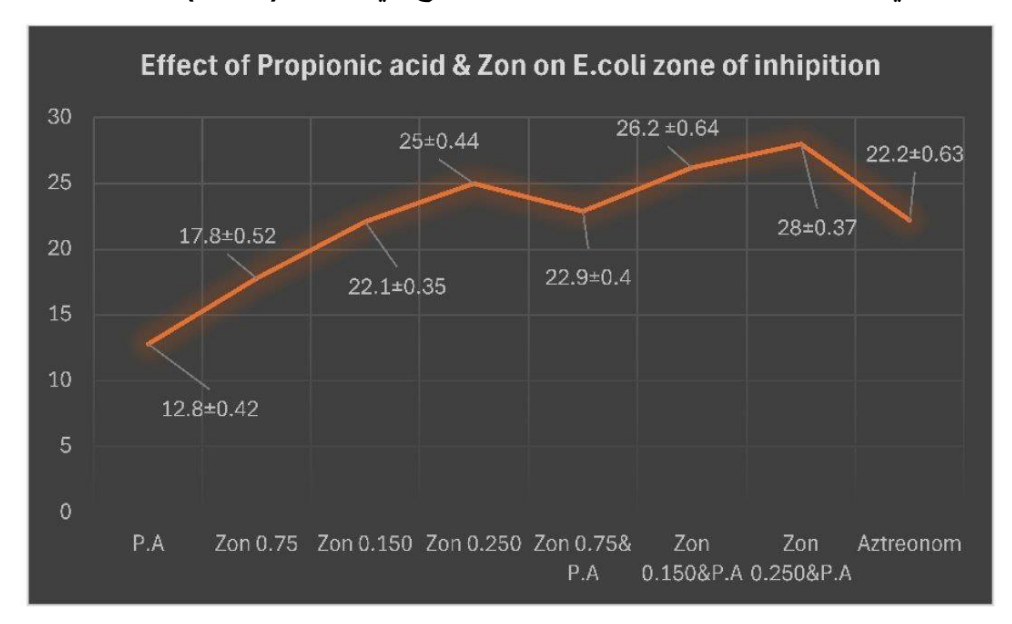
(4-4-2) التأثير المدمج لحامض البروبيونيك و اكسيد الزنك النانوي في تثبيط بكتريا القولون

عند دمج حامض البروبيونيك مع أكسيد الزنك النانوي، فقد لوحظت تغيرات واضحة في الفعالية المثبطة. فعند التركيز 0.075 لأكسيد الزنك مع حمض البروبيونيك، بلغ متوسط قطر منطقة التثبيط 22.9 ± 0.4 ملم، وهو يفوق التأثير الناتج عن استخدام كل منهما على حدة. وعند التركيز 0.150 ارتفع قطر التثبيط بشكل ملحوظ ليبلغ 26.2 ± 0.64 ملم، مما يشير إلى تأثير واضح جدا بين المادتين. ،وفي التركيز الأعلى 0.250 ارتفعت الفعالية لتصل إلى 28 ± 0.37 ملم، والذي يدل على تحسن أكبر ويشير إلى فعالية تثبط افضل عند هذا التركيز.

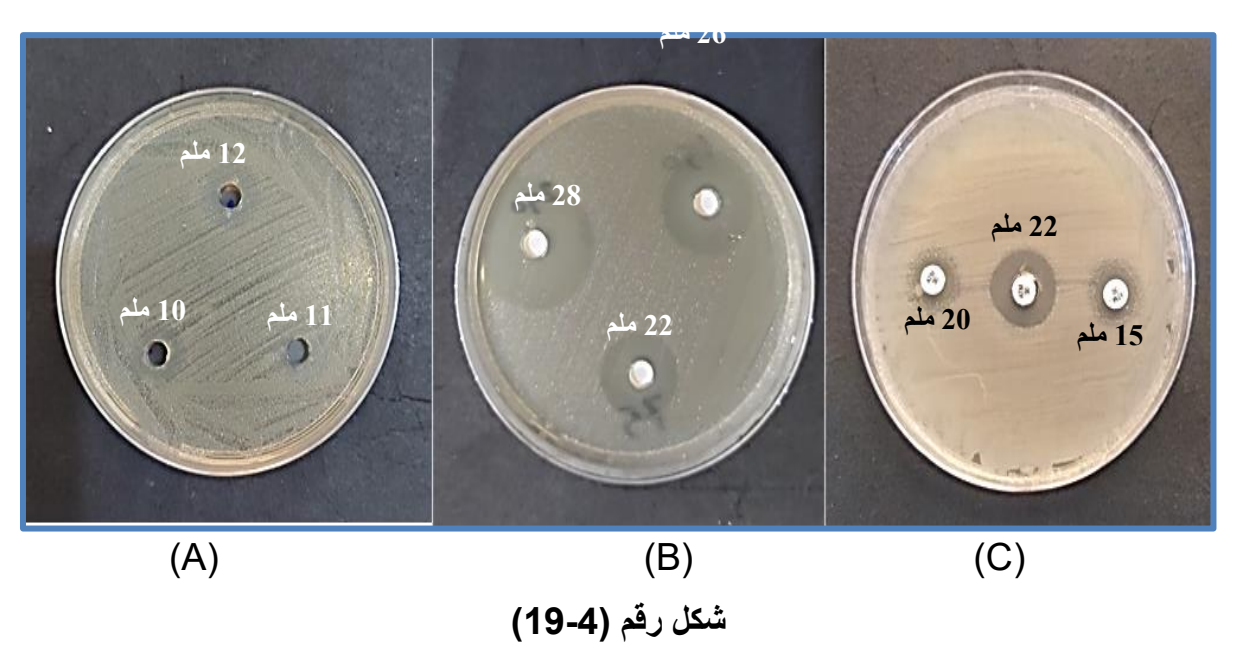
وبالمقارنة مع المضاد الحيوي القياسي، الأزتريونام (Aztrenom)، الذي بلغ متوسط قطر تثبيطه عند 22.2 ± 0.63 ملم، ومن هذا يتضح أن فعالية مزج أكسيد الزنك النانوي مع حمض البروبيونيك عند التركيزين 0.150 و 0.250 قد فاقت فعالية المضاد الحيوي، فقد وصلت إلى 26.2 ± 0.64 ملم و 28

الفصل الرابع النتائج والمناقشة

± 0.37 ملم على التوالي. وهذا يشير إلى أن هذا المزيج يمكن أن يكون بديلاً معززًا أواعدًا للمضادات الحيوية التقليدية في مكافحة بكتيريا القولونية. كما هو موضح في الشكل (4-18)



شكل رقم (4-18): التأثير المثبط لحمض البروبيونيك (P.A) وأوكسيد الزنك النانوي (ZnO N) و المزيج منهما على بكتيريا E. coli. يوضح الرسم البياني الخطي مقارنة بين تأثير كل مادة على حدة.



- (A) تأثير حمض البروبيونيك بتركيز %2 على نمو بكتيريا الإشريكية القولونية (E. coli)
- (B) التأثير المشترك لأكسيد الزنك النانوي وحمض البروبيونيك على نمو بكتيريا الإشريكية القولونية (E. coli)
- (C) تاثير المضاد الحيوي أزتريونام (Aztreonam) على نمو بكتيريا الإشريكية القولونية (E. coli)

الفصل الرابع النتائج والمناقشة

(7-4) قابلية حامض البروبيونك على تثبيط نمو بكتيريا المكورات العنقودية الذهبية (S. aureus):

ظهرت النتائج في الشكل المرفق أن حمض البروبيونيك وحده بتركيز %2 قد أظهر تأثير ضعيفا على تثبيط نمو بكتيريا المكورات العنقودية الذهبية، حيث بلغ متوسط قطر منطقة التثبيط 12.0 ± 0.37 ملم.

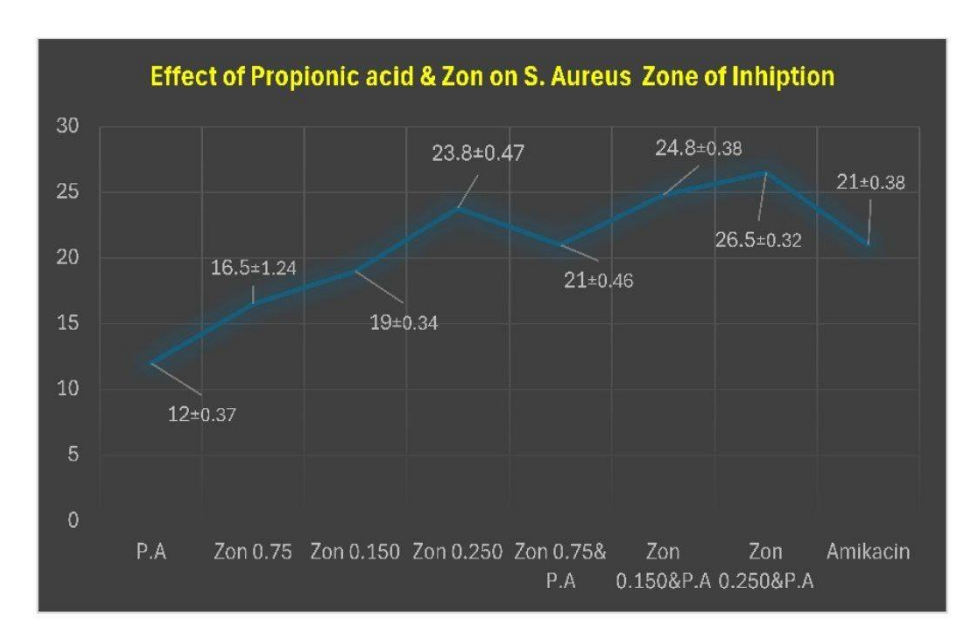
(4-7-1) قابلية اكسيد الزنك النانوي في تثبيط بكتريا المكورات العنقودية الذهبية

أكسيد الزنك النانوي أظهر فعالية واضحة وتزداد مع زيادة التركيز. فقد بلغ قطر التثبيط 16.5 ± 1.24 ملم عند التركيز 0.150، وكانت أقصى ± 1.24 ملم عند التركيز 0.47 ± 0.48 ملم عند التركيز أكسيد الزنك فعالية بقطر 23.8 ± 0.47 ملم عند التركيز 0.250، وهذا يدل على أن زيادة تركيز أكسيد الزنك النانوي تعزز من قدرته على تثبيط البكتيريا.

(4-7-2) التأثير المدمج لحامض البروبيونيك واوكسيد الزنك النانوي في تثبيط بكتريا المكورات العنقودية الذهبية

عند مزج حمض البروبيونيك مع أكسيد الزنك النانوي، فقد لوحظ تحسنا واضحا في مساحة تثبط المكورات العنقودية الذهبية. فعند التركيز 0.075 ابلغ قطر التثبيط إلى 21.0 ± 0.46 مقارنة المكورات العنقودية الذهبية. فعند التركيز 0.0150 (P.A&Zon 0.150)، زادت بالفعالية عند استخدام أكسيد الزنك النانوي وحده. وعند التركيز 0.150 (P.A&Zon 0.150)، زادت فعاليته بشكل اوضح حيث بلغت 24.8 ± 0.38 ملم، وهذا يشير إلى تأثير إيجابي واضح بين المادتين عند خلطهما. واستمرت الفعالية في الزيادة لتصل إلى أعلى قيمة لها بقطر 26.5 ± 0.32 ملم عند التركيز الأعلى 0.250 ، وهذا يؤكد أن هذا المزيج في هذا التركيز يمتلك أقوى فعالية مثبطة ضد بكتيريا المكورات العنقودية الذهبية.

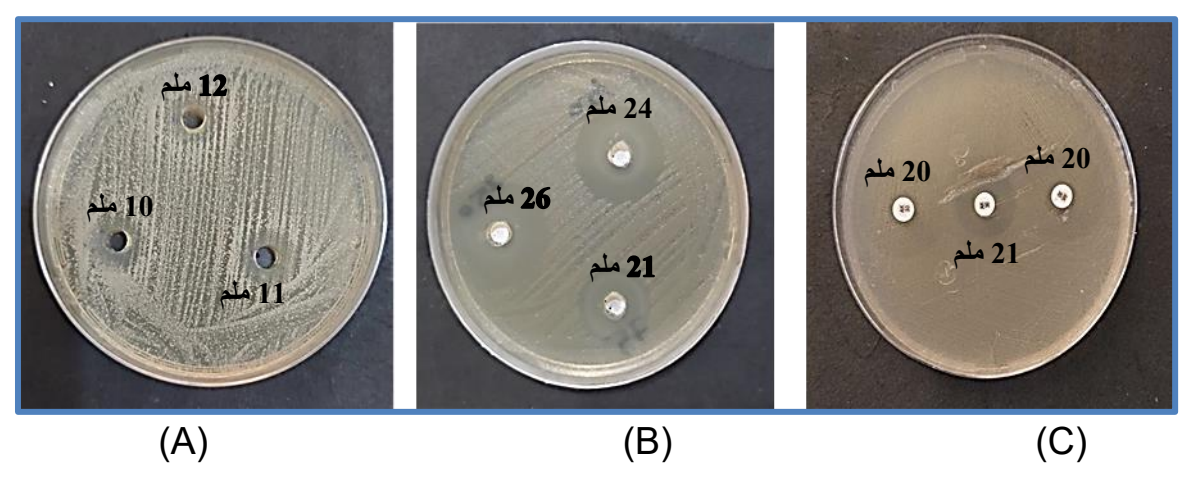
وبالمقارنة مع المضاد الحيوي الأميكاسين (Amikacin)، والذي أظهر قطر تثبيط يبلغ 21.0 ± 0.150 ملم، يتضح أن فعالية مزج حمض البروبيونيك مع أكسيد الزنك النانوي عند التركيز 0.150 (0.150 علم) و 0.250 ملم) و 0.250 (0.25 علم) فاقت بشكل كبير فعالية المضاد الحيوي القياسي، وهذا يشير إلى أن هذا المزيج يمكن أن يكون بديلاً واعدا في مكافحة بكتيريا المكورات العنقودية الذهبية.كما هو موضح في الشكل (4-20)



شكل رقم (4-20): التأثير المثبط لحمض البروبيونيك (P.A) وأوكسيد الزنك النانوي (ZnO N) والمزيج منهما على بكتيريا

(A) يوضح الرسم البياني الشريطي مقارنة بين تأثير كل مادة على حدة

(B) يوضح الرسم البياني الخطي مقارنة بين تأثير كل مادة على حدة.



شكل رقم (4-21)

(A) تأثير حمض البروبيونيك بتركيز 2% على نمو بكتيريا المكورات العنقودية الذهبية ((A) التأثير المشترك الأكسيد الزنك النانوي وحمض البروبيونيك على نمو بكتيريا المكورات العنقودية (S. aureus)

(C) تأثير المضاد الحيوي أميكاسين ((Amikacinعلى نمو بكتيريا المكورات العنقودية الذهبية (S. aureus)

الفصل الرابع النتائج والمناقشة

(8-4) تأثير تراكيز مختلفة من مزيج حمض البروبيونيك وجسيمات أكسيد الزنك النانوية S.) على قطرمنطقة التثبيط لبكتيريا المكورات العنقودية الذهبية (.CnO NPs) والإشريكية القولونية (E. coli).

تشير النتائج الموضحة إلى تأثير استخدام حمض البروبيونيك وأكسيد الزنك النانوي (ZnO NPs) بشكل منفرد، بالإضافة إلى التأثير التآزري للمزيج بينهما، على قطر منطقة التثبيط لبكتيريا S. aureus و E. coli.

لوحظ أن حمض البروبيونيك بمفرده عند تركيز 2% أحدث تثبيطًا طفيقًا على نمو بكتيريا S. بمتوسط قطر منطقة تثبيط بلغ حوالي 12.8 ± 0.42 ملم، بينما كانت الفعالية أقل على بكتيريا aureus حيث بلغ القطر حوالي 12.0 ± 0.37 ملم.

أما عند استخدام أكسيد الزنك النانوي وحده عند التركيز 0.075، فقد ارتفع متوسط قطر منطقة التثبيط إلى 3. aureus ملم على E. coli و 1.24 ± 16.5 مما يعكس تحسنًا ملحوظًا مع بداية استخدام الجسيمات النانوية.

وبزيادة تركيز أكسيد الزنك النانوي إلى 0.150، ارتفع قطر التثبيط إلى 22.1 ± 0.35 ملم على E. coli و 19 ± 0.34 ملم على S. aureus، واستمر في الارتفاع ليصل إلى 25 ± 0.44 ملم على بكتريا الإشريكية القولونية و23.8 ± 0.47 ملم على بكتريا المكورات العنقودية الذهبية على التوالي وذلك عند التركيز 0.250، موضحًا علاقة طردية بين تركيز النانو وفعالية التثبيط. وان تأثير اكسيد الزنك النانوي كان اكثر البكتريا القولونية من المكورات العنقودية الذهبية وتتفق هذه النتائج مع دراسة قامت بها الباحثة (El-Fallal & Elfayoumy، 2023) حيث قامت بتصنيع جسيمات أكسيد الزنك النانوية (ZnO NPs) باستخدام مستخلص فطر الكومبوتشا (Kombucha extract). وقد أظهرت الجسيمات النانوية المُحضّرة فعاليتها ضد مجموعة واسعة من السلالات المرضية. وبالتركيز على البكتيريا الشائعة، أثبتت النتائج تفوق النشاط التثبيطي لجسيمات أكسيد الزنك النانوية تجاه بكتيريا القولونية (E. coli) (سالبة الغرام)، حيث كان تركيزها المثبط الأدنى (MIC) هو 25{ ميكروغرام/مل} هذا، في حين احتاجت بكتيريا المكورات العنقودية الذهبية (S. aureus) (موجبة الغرام) إلى تركيز أعلى نسبياً وصل إلى 30 { ميكرو غرام/مل } لتحقيق التثبيط، مما يشير إلى أن الجسيمات النانوية المصنعة حيوياً كانت أكثر فاعلية ضد سلالة الإشريكية القولونية. بينما لم تتفق هذه النتائج مع ماتوصلت الية نتائج دراسة (Babayevska et al., 2022) بعنوان "تأثير حجم وشكل أكسيد الزنك (ZnO) على نشاطه المضاد للبكتيريا ومظهر سميته الخلوية" على أهمية الخصائص الفيزيائية للجسيمات النانوية في تحديد فعاليتها الحيوية. وأشارت الدراسة إلى أن الجسيمات النانوية (NPs) من أكسيد الزنك أظهرت أقوى نشاط تثبيطي مقارنة بالجسيمات الميكروية. كما أثبتت النتائج أن سلالة البكتيريا إيجابية الغرام، المكورات العنقودية الذهبية (S. aureus)، كانت أكثر حساسية لجسيمات أكسيد الزنك من سلالة البكتريا القولونية (E.)

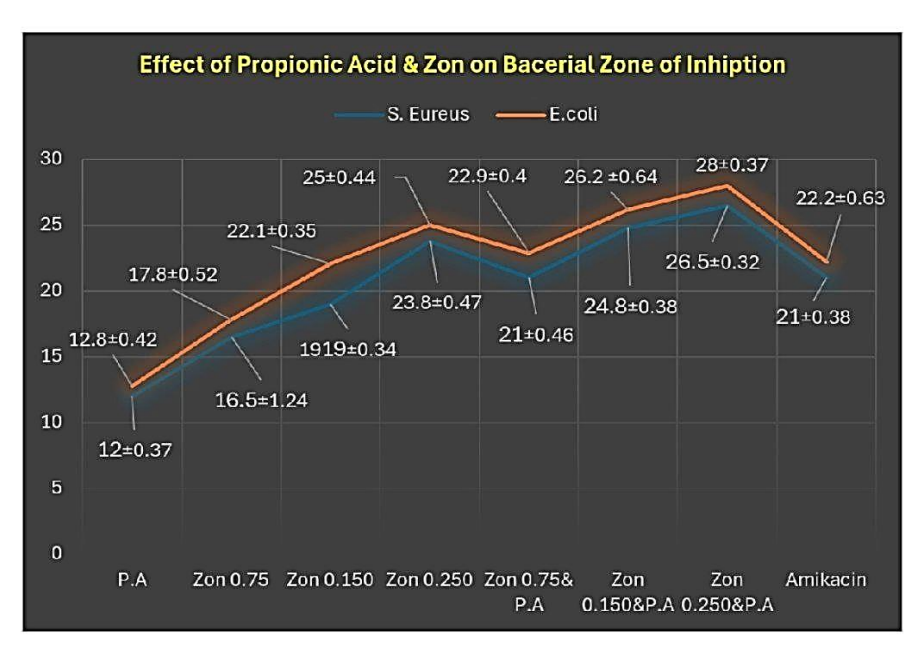
الفصل الرابع النتائج والمناقشة

coli). وأظهرت نتائج الاختبارات أن مناطق التثبيط لجسيمات ZnO النانوية ضد (S. aureus) تراوحت بين 14_12 (E. coli) أقل، وتراوحت بين 14_21 (adaptive ملم) بين 11_9 ملم}

أما المزيج المشترك بين حمض البروبيونيك وأكسيد الزنك النانوي فقد أظهر تأثيرًا تآزريًا قويًا، فعند تركيز $0.075 \pm 0.46 \pm 0.075 \pm 0.46$ ملم على بكتريا القولونية و $0.075 \pm 0.46 \pm 0.46$ ملم على بكتريا المكورات العنقودية الذهبية، وعند تركيز $0.150 \pm 0.150 \pm 0.64 \pm 0.64 \pm 0.64$ ملم على بكتريا القولونية وأكبر قطر لمنطقة التثبيط؛ فقد القولونية وأكبر قطر لمنطقة التثبيط؛ فقد بلغ $0.38 \pm 0.38 \pm 0.38$ عند تركيز $0.250 \pm 0.32 \pm 0.38$ متجاوزًا بذلك تأثير كل من المركبين منفردين.

كما توضح النتائج أن بكتيريا E. coli كانت أكثر حساسية تجاه جميع المعالجات بالمقارنة مع .aureus حيث سجلت قطر منطقة تثبيط أكبر عند التراكيز نفسها.

وعند المقارنة بالمضادات الحيوية التقليدية، مثل الأميكاسين (Amikacin) الذي سجل متوسط قطر تثبيط قدره 0.30 ± 22.2 فطر تثبيط قدره 0.63 ± 22.2 ملم، ومضاد الأزتريونام (Aztreonam) بقطر تثبيط قدره من تركيبات المزيج تفوقت بشكل واضح في تثبيط نمو البكتيريا، حيث وصل متوسط قطر التثبيط إلى 26.5 ± 0.32 ملم عند استخدام المزيج بتركيز 0.250 مع حمض البروبيونيك. وكما هو موضح في الشكل (4-22)



الشكل (4-22)

تأثير تراكيز مختلفة من حمض البروبيونيك وجسيمات أكسيد الزنك النانوية (S. aureus) على قطرمنطقة التثبيط لبكتيريا المكورات العنقودية الذهبية (E. coli) والإشريكية القولونية (E. coli).

الفصل الرابعالفصل الرابع

تشير هذه النتائج إلى أن المزيج بين أكسيد الزنك النانوي وحمض البروبيونيك يمكن أن يمثل بديلاً فعالاً أو مكملاً للمضادات الحيوية التقليدية، لا سيما في مكافحة البكتيريا المقاومة للمضادات الحيوية.

يمكن تفسير التفوق التآزري في تثبيط نمو بكتيريا الإشريكية القولونية والمكورات العنقودية الذهبية عند دمج حمض البروبيونيك مع جسيمات أكسيد الزنك النانوية بناء" على آليات كل منهما وكيفية تعاونهما في مواجهة بكتريا الموجبه الكرام S.aureus و السالبة الكرام الكرام

حمض البروبيونيك (PA)، كحامضٍ عضوي أحادي الكربوكسيل (PA) بقيمته pKa المرتفعة نسبيًا (~4.87) مقارنةً بقيم pKa الأساسية لأحماض أخرى، مما pKa يعني وجود نسبة أعلى من PA في شكله غير المتفكك (HA) النفاذ للغشاء عند قيم pH شبه متعادلة، عند pH خارج الخلية البكتيرية (~7.0). ويؤكد (Russell,2008) أن الأحماض العضوية الضعيفة ذات pA فيم pKa الأقرب إلى pH السيتوبلازم (7.0-7.5) تُظهر نشاطًا مضادًا للميكروبات أكبر، وذلك لأن wp pKa الأقرب إلى pH السيتوبلازم (7.0-7.5) تُظهر نشاطًا مضادًا للميكروبات أكبر، وذلك لأن wp pKa أكبر منها تبقى غير متفككة خارج الخلية، وهذا يسهل الانتشار السلبي عبر الغشاء (PA)، يكون حوالي 10٪ من حمض البروبيونيك في الحالة غير المتفككة (PA)، وهي نسبة أعلى بعشر مرات من حمض الستريك، وبالتالي يؤدي إلى زيادة كبيرة في توصيل PA داخل (Bushell et al., 2019).

فبمجرد دخوله إلى السيتوبلازم حيث يصل pH إلى 7.5-7.0 يتفكك PA إلى أيونات بروتونات (TA) وأنيونات بروبيونات (A)، ويسبب تحمضًا داخليًا يعوق إنزيمات الحساسة بروتونات (PMF) Proton Motive Force (PMF) ما يعيق pH إنتاج PA (PMF) Proton Motive Force). وتمثل الأنيونات سمية بالغة إنتاج PH (Ricke, 2003; Bushell et al., 2019) المسؤول عن دورة من خال تثبيط إنزيم Bushell et al., 2019 المسؤول عن دورة Tricarboxylic Acid Cycle (TCA cycle) في إنتاج الطاقة (CoA) Coenzyme A والستنزاف مخازن إنزيم (CoA) Coenzyme A الذهنية والأمينية (Ricke, 2003) والسنام (Ricke, 2003) داخل خلايا السام (toxic glyoxal) داخل خلايا). (Hage et al., 2019). Escherichiacoli

هذا الإجهاد الخلوي الناتج عن حمض البروبيونيك من انخفاض حموضة وخلل تمثيل غذائي يجعل البكتيريا أكثر عرضة وتأثرًا، وخاصة عند التداخل مع آليات جسيمات أكسيد الزنك النانوية التي تهاجم الخلايا عبر إطلاق أيونات الزنك (2n²) المخترقة لجدار الخلية والتي تُلحق ضررًا مباشرًا بالحمض النووي (DNA)، فضلاً عن زيادة نفاذية الأغشية الخلوية التي تسهل دخول الجسيمات إلى الداخل، وتعطيل عمل القنوات الأيونية من خلال

الفصل الرابعالفصل الرابع

التفاعلات الكهروستاتيكية، بالإضافة إلى إنتاج أنواع الأكسجين التفاعلية (ROS) التي تسبب تلفًا في الأنسجة الخلوية وتؤدي إلى موت البكتيريا. (Kalra et al., 2022)

فمن جهة، تولد الخلايا المجهدة كميات أكبر من أنواع الأكسجين التفاعلية من قدرتها على إزالة (ROS) Species غلى بسبب نقص مضادات الأكسدة وضعف التنفس، واللذي يقلل من قدرتها على إزالة هذه السموم ويزيد الضرر التأكسدي داخل البكتيريا . ومن جهة أخرى، تؤدي أغشية الخلايا المتضررة بفعل PA إلى تسهيل تدفق أيونات الزنك (Zn²) إلى داخل الخلايا، وهذه الأيونات تثبط الإنزيمات الحيوية وتتلف الحمض النووي (DNA)، مما يعيق العمليات الحيوية للبكتيريا ويسبب موتها . وكما تؤدي حالة ضعف الأغشية إلى زيادة التصاق جسيمات الأكسجين التفاعلية والتلف الفيزيائي الناتج عن جسيمات كيرا المضاد للبكتيريا .

أظهرت دراسات عديدة (Liu et al., 2012; Schieber & Chandel, 2014) أن الأحماض العضوية التي تُحسّن نفاذية الغشاء تزيد بشكل كبير من تدفق أيونات "Zn² وتلف أنواع الأكسجين التفاعلية الناتج عن جسيمات أكسيد الزنك النانوية. وهذا يدعم تأثير حمض البروبيونيك على الأغشية والتمثيل الغذائي و يعزز أثر جسيمات ZnO-NP التآزري. كما يشير (Russell,2008) إلى أن الأحماض التي تسبب تراكم الأنيونات مثل PA تُسبب "اضرار متعددة" على عملية الأيض، مما يجعل الخلايا أكثر عرضة لعوامل ضغط ثانوية مثل أنواع الأكسجين التفاعلية (ROS)، وبالتالي يزيد الضرر الخلوي ويعزز التآزر مع جسيمات (Ricke, 2003)، وبالتالي يزيدة نفاذية الغشاء وتسمم الأنيونات مع الجميمات أكسيد الزنك النانوية يعتمد على الجمع بين تأثير PA على زيادة نفاذية الغشاء وتسمم الأنيونات داخل الخلايا، إلى جانب قدرة جسيمات ZnO-NP على استغلال هذه الحالة الضعيفة للخلايا البكتيرية لإحداث ضرر مضاعف عبر الإجهاد التأكسدي والتلف المباشر للأغشية والحمض النووي.

تركيز PA أعلى غير مُفكك ب توصيل أكبر داخل الخلايا.

سمية مزدوجة داخل الخلايا (+ + أنيون بروبيونات) \rightarrow اختلال أيضى حاد.

ضعف خلوي شديد ← نشاط جسيمات أكسيد الزنك النانوية (Zn²،ROS +، تلف الغشاء).

ان الاختلاف في الحساسية بين البكتيريا يرجع إلى بنية جدار الخلية، حيث تمتلك البكتيريا سالبة الكرام (E. coli) جدارًا خلويًا أرق يحتوي على طبقة واحدة من الببتيدو غليكان، مما يجعلها أكثر عرضة لاختراق الجسيمات النانوية وتلفها. في المقابل، يمتاز جدار البكتيريا موجبة الكرام (S. aureus) بسماكة أكبر وتكوينه من عدة طبقات من الببتيدو غليكان (Silhavy et al., 2010)، وهو ما يشكل حاجزًا أفضل يحميها من تأثير الجسيمات النانوية.

الفصل الرابع النتائج والمناقشة

وكذلك البكتريا الموجبه الكرام تمتلك آليات تنظيمية متقدمة للتحكم في البيئة الحمضية الداخلية، حيث تقلل من نفاذ الأحماض وتُعيد توازن الرقم الهيدروجيني داخل الخلية من خلال آليات دفاعية متنوعة، وبالتالي يقلل من الأضرار التي قد تسببها البيئة ذات الرقم الهيدروجيني المنخفض

(Cotter & Hill, 2003). وهذا الاختلاف في تركيبة الأغشية يؤدي إلى استجابة تثبيطية أعلى للإشريكية القولونية عند التعرض لحامض البروبونيك.

(9-4) قابلية حمض الستريك على تثبيط نمو بكتيريا القولونية (E. coli):

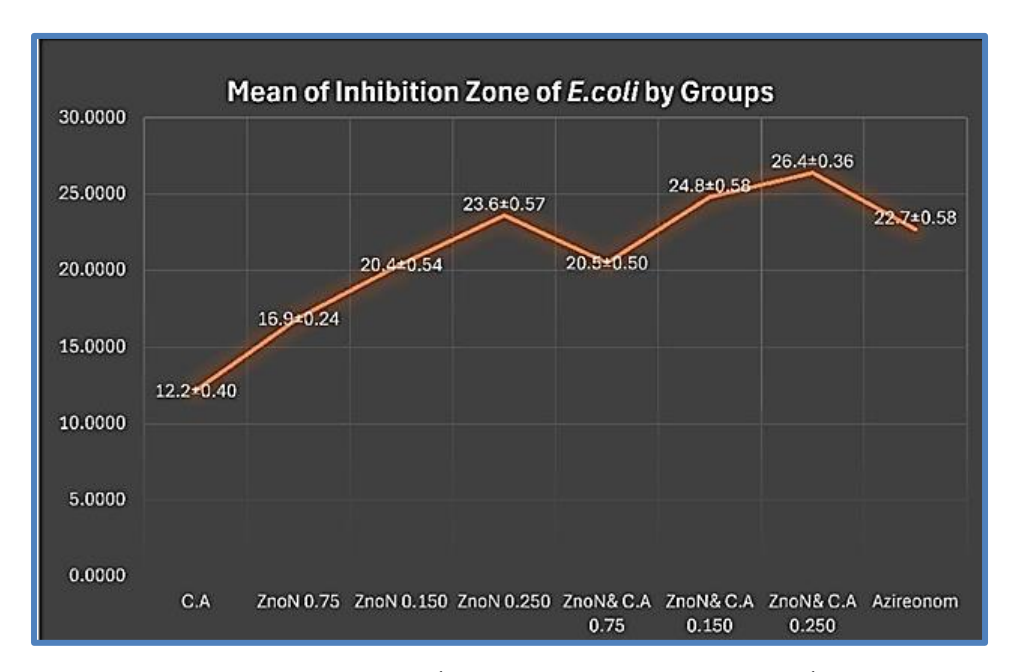
توضح النتائج أن استخدام حمض الستريك وحده أدى إلى أقل تأثير في تثبيط نمو بكتيريا القولونية، حيث بلغ متوسط قطر منطقة التثبيط 12.2 ± 0.40 ملم بتركيز % 2، مما يشير إلى فعالية معتدلة له.

(4-9-1) قابلية اكسيد الزنك النانوي في تثبيط بكتريا القولون

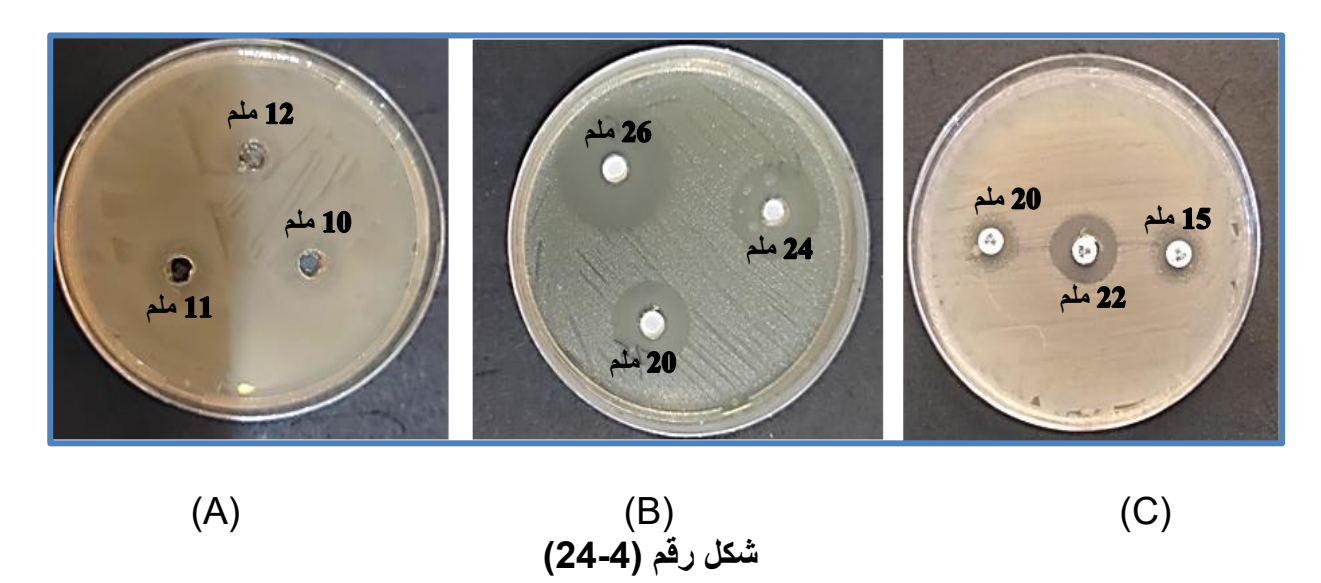
أكسيد الزنك النانوي فقد أظهر زيادة واضحة في تثبيط نمو البكتيريا مع ارتفاع تركيزه، حيث سجل قطرًا بلغ 16.9 ± 0.150 ملم عند 0.150 ملم عند 0.150 ملم عند 0.250
(2-9-4) التأثير المدمج لحامض البروبيونيك واكسيد الزنك النانوي في تثبيط بكتريا القولون

عند دمج أكسيد الزنك النانوي مع حمض الستريك، لاحظنا تعزيزًا بارزًا في القدرة المثبطة للبكتيريا، حيث وصل متوسط القطر إلى 20.5 ± 0.50 ملم عند تركيز 20.00، و24.8 ± 0.050 ملم عند 0.150، ووصل إلى أقصى فعالية بقطر 26.4 ± 0.36 ملم عند التركيز 0.250، ما يدل بوضوح على وجود تأثير تأزري يزيد من فعالية المادتين معًا بشكل يفوق تأثير كل منهما على حدة. من جهة أخرى، سجل المضاد الحيوي الأزتريونام (Aztreonam) متوسط قطر تثبيط 22.7 ± 0.58 ملم، وهو أقل من تأثير مزج أكسيد الزنك النانوي مع حامض الستريك في أعلى تركيز، مما يشير إلى إمكانية تفوق مزيج اكسيد الزنك النانوي مع حامض الستريك على المضاد الحيوي في تثبيط نمو الإشريكية القولونية ضمن ظروف هذه التجربة. تؤكد التحليلات الإحصائية أن حمض الستريك عزز الفعالية المثبطة في معظم الحالات بشكل معنوي، مما يدعم الاستنتاج بأن دمج أكسيد الزنك النانوي مع حمض الستريك يشكل الستريك العزيز تثبيط نمو البكتيريا القولونية، كما هو موضح في الشكل (4-23) و (4-24):

الفصل الرابعالنتائج والمناقشة



شكل رقم (2-42): التأثير المثبط لحامض الستريك وأوكسيد الزنك النانوي (ZnO N) والمزيج منهما على بكتيريا E.coli. يوضح الرسم البياني الخطي مقارنة بين تأثير كل مادة على حدة



- (A) تأثير حمض الستريك بتركيز %2 على نمو بكتيريا الإشريكية القولونية (E. coli) (B) التأثير المشترك لأكسيد الزنك النانوي وحمض الستريك على نمو بكتيريا الإشريكية القولونية (E. coli)
 - (C) تأثير المضاد الحيوي أزتريونام ((Aztreonam على نمو بكتيريا القولونية (E. coli)
 - (10-4) قابلية حمض الستريك على تثبيط نمو بكتيريا العنقوديات الذهبية (.S.) قابلية حمض الستريك على تثبيط نمو بكتيريا العنقوديات الذهبية (.aureus):

اظهرت النتائج أن استخدام حمض الستريك وحده بتركيز % 2 أدى إلى أقل تأثير في تثبيط نمو بكتيريا العنقوديات الذهبية، حيث بلغ متوسط قطر منطقة التثبيط حوالي 11.8 ± 0.34 ملم عند تركيز غير محدد، مما يشير إلى فعالية محدودة له.

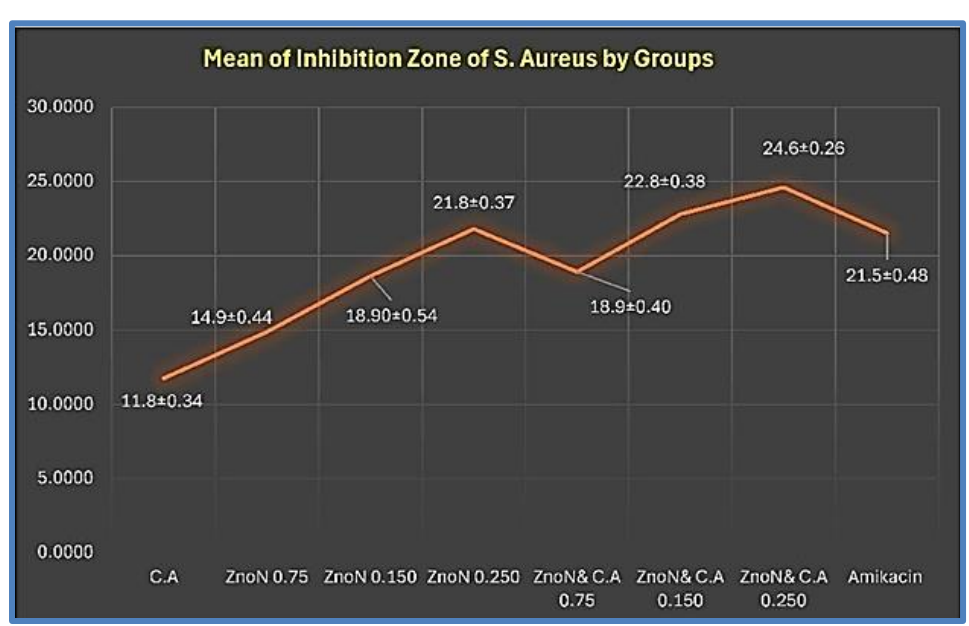
الفصل الرابع النتائج والمناقشة

(4-10-1) قابلية أكسيد الزنك النانوي في تثبيط بكتريا المكورات العنقودية الذهبية

أكسيد الزنك النانوي (ZnON) فقد أظهر زيادة واضحة في تثبيط نمو البكتيريا، حيث سجل متوسط قطر التثبيط حوالي $0.44 \pm 0.44 \pm 0.44$ ملم عند التركيز 0.075، و $0.150 \pm 0.37 \pm 0.37 \pm 0.37$ ملم عند التركيز 0.250. هذا النمط يشير إلى تحسن ملحوظ للفعالية بزيادة تركيز أكسيد الزنك النانوي ضمن هذا النطاق.

(4-10-2) تأثير المدمج لحامض البروبيونيك و اكسيد الزنك النانوي في تثبيط بكتريا المكورات العنقودية الذهبية

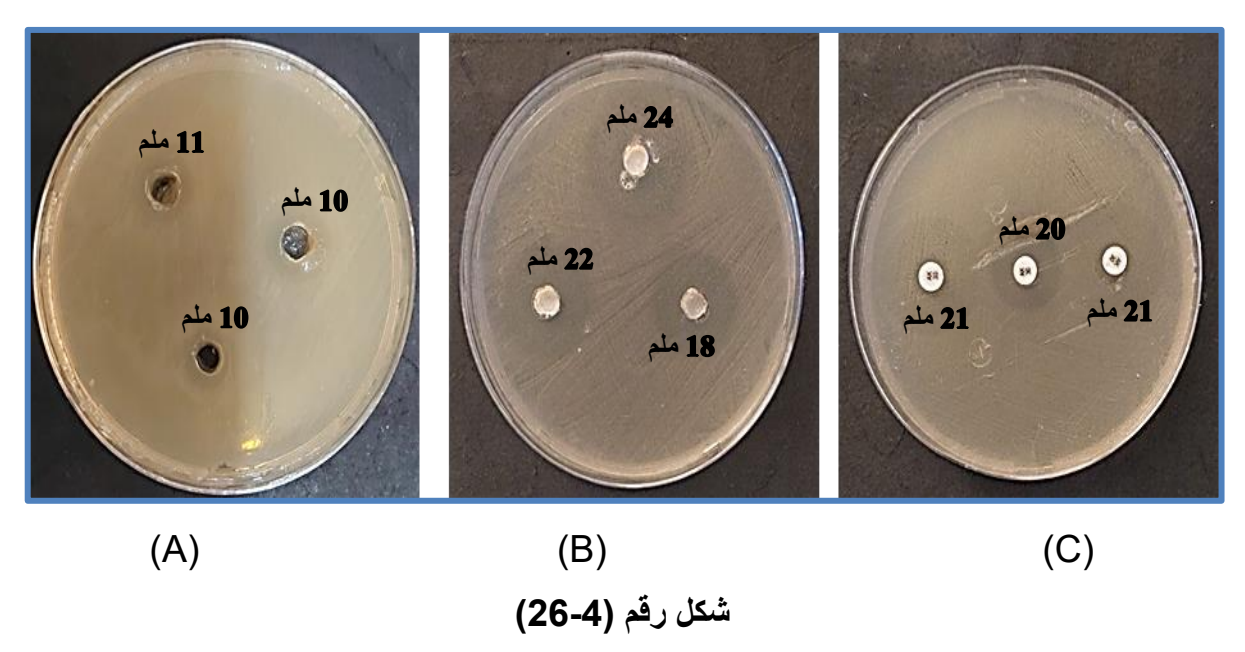
عند مزج أكسيد الزنك النانوي مع حامض الستريك، لوحظ تعزيز بارز في القدرة المثبطة للبكتيريا، حيث بلغ متوسط قطر منطقة التثبيط حوالي 18.9 ± 0.40 ملم عند التركيز 0.050، وبلغت الفعالية أقصى مستوياتها بقطر 24.6 ± 0.26 ملم عند التركيز 0.150، ما ما يدل بوضوح على وجود تأثير تآزري يزيد من فعالية المادتين معًا بشكل يفوق تأثير كل منهما على مما يدل بوضوح على وجود تأثير الأعلى.من جهة أخرى، سجل المضاد الحيوي الأميكاسين (Amikacin) متوسط حدة، خاصة عند التركيز الأعلى.من جهة أخرى، سجل المضاد الحيوي الأميكاسين (Amikacin) متوسط قطر تثبيط 21.5 ± 0.48 ملم، وهو أقل بشكل واضح من تأثير دمج أكسيد الزنك النانوي مع حمض الستريك في أعلى تركيز (0.250). هذا يشير إلى إمكانية تفوق هذا المزيج على المضاد الحيوي القياسي في تثبيط نمو بكتيريا العنقوديات الذهبية ضمن ظروف هذه التجربة.كما موضح في الشكل (4-25)



شكل رقم (2-4): التأثير المثبط لحامض الستريك (C.A) وأوكسيد الزنك النانوي (ZnO N) والمزيج منهما على بكتيريا S.aureus.

يوضح الرسم البياني الخطي مقارنة بين تأثير كل مادة على حدة.

الفصل الرابعالنتائج والمناقشة



(A)تأثير حمض الستريك بتركيز %2 على نمو بكتيريا (S. aureus) (B)التأثير المشترك لأكسيد الزنك النانوي وحمض الستريك على نمو بكتيريا (S. aureus) (C)تأثير المضاد الحيوي Amikacinعلى نمو بكتيريا(S. aureus)

(11-4) تأثير تراكيز مختلفة من حمض الستريك وأكسيد الزنك النانوي (ZnO NPs) والمزيج المشترك على تثبيط نمو بكتيريتي المكورات العنقودية الذهبية (S. aureus) والبكتريا القولونية (E. coli)

توضح النتائج أن حمض الستريك وحده أحدث تثبيطًا محدودًا لنمو البكتيريا، حيث بلغ قطر منطقة التثبيط حوالي 11.8 ± 0.30 ملم لبكتيريا S. aureus و 0.40 ± 12.2 ملم لـ E. coli.

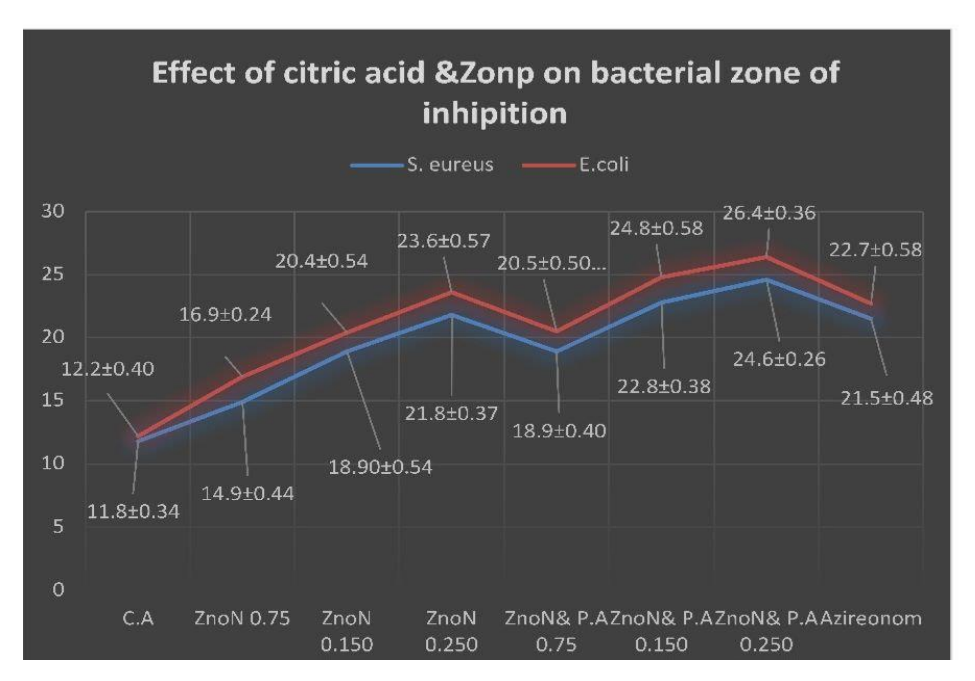
وعند استخدام أكسيد الزنك النانوي بمختلف التراكيز، لوحظ تحسن ملحوظ في تثبيط نمو البكتيريا، إذ ارتفع قطر منطقة التثبيط تدريجيًا مع زيادة التركيز؛ فكانت القيم على التوالي عند التركيزات 0.075. aureus و0.250 و 0.54 ± 18.9 ، 0.44 ± 14.9 ملم على 0.250 ملم على $0.250 \pm 0.24 \pm 16.9$.

أما عند دمج حمض الستريك مع أكسيد الزنك النانوي، فقد شهد تأثيرًا تآزريًا واضحًا يعزز من نشاط التثبيط، حيث بلغ قطر منطقة التثبيط للمزيج عند تراكيز 0.075, 0.150, 0.050 على التوالي عند 0.30 ± 0.30 ± 0.40 ± 0.40 ± 0.40 ± 0.50 ± 0.30 ± ± 0.30 ± 0.30 ± 0.30 ± 0.30 ± 0.30 ± 0.30 ± 0.30 ± 0.30 ± 0.30 ± 0.30 ± 0.30 ± 0.30 ± 0.30 ± 0.30 ± ±

هذا يدل على أن مزيج جسيمات أكسيد الزنك النانوية وحمض الستريك يقدم أداءً متفوقًا عن كل من حمض الستريك وأكسيد الزنك النانوي بمفردهما.

وعند مقارنة هذه النتائج بالمضادات الحيوية التقليدية المستخدمة (الأميكاسين (Amikacin) الذي سجل قطر تثبيط حوالي 21 ± 0.58 في 0.58 والأزتريونام (Aztreonam) بقطر تثبيط حوالي 21 ± 0.250 تفوق بوضوح، مما يؤكد فعالية عالية للمزيج وقدرته على المنافسة أو الاستعاضة عن المضادات الحيوية في تثبيط نمو البكتيريا.

كما تُظهر البيانات أن بكتيريا الإشريكية القولونية كانت أكثر حساسية إلى جميع المعالجات مقارنة بالمكورات العنقودية الذهبية. كما موضح بالشكل (4-27)



شكل رقم(27-4): تأثير تراكيز مختلفة من حمض الستريك وجسيمات أكسيد الزنك النانوية (ZnO) على قطر منطقة التثبيط لبكتيريا المكورات العنقودية الذهبية (S. aureus) والبكتريا القولونية (E. coli).

يمكن تفسير التفوق التآزري في تثبيط نمو بكتيريا الإشريكية القولونية والمكورات العنقودية الذهبية عند دمج حمض الستريك مع جسيمات أكسيد الزنك النانوية بناء" على آليات كل منهما وكيفية تعاونهما في مواجهة بكتريا الموجبه الكرام S.aureus و السالبة الكرام

حامض الستريك كحامض ثلاثي الكربوكسيل (Ghai et al., 2023)، يحمل شحنة سالبة كبيرة عند درجة الحموضة الداخلية للخلايا، مما يحد من قدرته على اختراق أغشية الخلايا.

حيث ان آليات حمض الستريك (CA) تكون ذات تأثير محدود في النفاذية عبر غشاء الخلية المحتودية، وبسبب انخفاض قيمة pKa له حوالي 3.14 (Russell, 1992)، فإن أقل من 1% فقط من جزيئات الحمض تكون في الحالة غير المتأينة القابلة للمرور عبر الأغشية عند 7.0 pH

(Bushell et al., 2019) مما يجعل كمية حمض الستريك التي تدخل إلى داخل الخلايا قليلة للغاية.

وبالاضافة إلى ذلك فإن الأنيونات الناتجة عن تفكك حمض الستريك (سترات) تتميز بسُمية منخفضة، حيث يمكن لبعض أنواع البكتيريا، مثل الإشريكية القولونية، استخدام هذه الأنيونات كمصدر للكربون، مما يقلل من الضرر الخلوي الناتج عنها. و يعمل حمض الستريك أساسًا عبر استخلاب المعادن الحيوية مثل أيونات المغنيسيوم Fe³ والمساعدة في إضعاف جدران الخلايا والليبوبوليسكاريدات خارج الخلية، دون أن يتسبب في ضرر مباشر كبير داخل الخلية نفسها (Wang et al., 2024).

الفصل الرابع النتائج والمناقشة

في هذا السياق، يعزز حمض الستريك ارتباط جسيمات أكسيد الزنك النانوية (ZnO-NP) بالخلايا البكتيرية عبر استخلاب الكاتيونات المعدنية في جدران الخلايا وطبقة متعددة السكريات الدهنية (LPS مما يزيد من تقارب الجسيمات مع أسطح الخلايا ويعزز التأثير التآزري بين الحامض والجسيمات . (Jalal et al., 2021)

إلا أن تأثير حامض الستريك داخل الخلايا يبقى محدودًا نسبيًا، ويتميز بتآزر أقل حدة مع جسيمات أكسيد الزنك مقارنة بمواد أخرى ذات نفاذية وسمية ألاعلى.

على الرغم من فعالية جسيمات أكسيد الزنك النانوية/أكسيد الزنك، إلا أن ارتفاع قيمة pKa (والانتشار المحدود) والأنيونات الأقل سمية في CA يؤديان إلى إجهاد داخل الخلايا أضعف، مما يقلل من التآزر مع جسيمات أكسيد الزنك النانوية. يتوافق هذا التسلسل الهرمي الميكانيكي مع كل من البكتيريا موجبة الجرام (S. aureus) وسالبة الجرام (E. coli). ولكن تظهر بكتريا الإشريكية القولونية تأثيرا اكبر حيث يُعزى اختلاف حساسية هذه البكتيريا أساسًا إلى تركيب جدار الخلية، حيث تمتلك البكتيريا سالبة الجرام، مثل E. coli، جدارًا رقيقًا يتألف من طبقة واحدة من الببتيدو غليكان مصحوبة بغشاء خارجي (Silhavy et al., 2010)، مما يجعلها أكثر عرضة لاختراق الجسيمات النانوية. في المقابل، تمتلك البكتيريا موجبة الجرام، مثل S. aureus، جدارًا سميكًا متعدد الطبقات من الببتيدو غليكان (Silhavy et al., 2010)، يشكل حاجزًا أقوى يحميها ويقلل من تأثير الجسيمات النانوية. وهذا الاختلاف في بنية جدار الخلية يؤثر بشكل مباشر على تفاعل البكتيريا مع العوامل الخارجية مثل الأحماض والجسيمات النانوية.ولا تتفق هذه النتائج مع ماتوصل إلية الباحث (Barzegari Firouzabadi et al., 2014) لدر اسة لتقييم التأثير التآزري لتعليقات الجسيمات النانوية لأكسيد الزنك (ZnO NPs) بالتزامن مع حمض الستريك كمضاد فعال للميكروبات ضد مسببات الأمراض المنقولة بالغذاء في عصير المانجو. أظهرت النتائج أن هذا العلاج المشترك كان فعالاً في تثبيط نمو كلتا البكتيريتين، ولكن لوحظ أن البكتريا القولونية (E. coli) (سالبة غرام) كانت الأكثر تأثراً وحساسية لهذا المركب من المكورات العنقودية الذهبية (S.) .(aureus

حيث أدى العلاج المشترك إلى تحقيق معدل تثبيط لوغاريتمي (Log Reduction) مرتفع جداً في أعداد البكتريا القولونية (E. coli) وصل إلى 5.0 { log }\$. بينما كان معدل التثبيط للمكورات العنقودية الذهبية (S. aureus) أقل وبلغ حوالي 3.5 { log }\$.



الفضيل الخامسين

الاستنتاجات والتوصيات

Conclusions and Recommendations



(1-5) الاستنتاجاتConclusions:

- 1. نجحت الدراسة في تحضير جسيمات أكسيد الزنك النانوية كيميائيًا بطريقة الترسيب الكيميائي بحجم نانوي متجانس، ووجدت أن دمج هذه الجسيمات مع الأحماض العضوية (حمض الستريك وحمض البروبيونيك) يحسن من نشاطها المضاد للبكتيريا.
- 2. أظهر مزيج اكسيد الزنك النانوي مع حمض البروبيونيك تأثيرًا مضادًا أكبر على كلتا البكتيريتين، وخاصة على الإشريكية القولونية مقارنة بالمكورات العنقودية الذهبية، بينما كان تأثير دمج أكسيد الزنك مع حمض الســتريك أقل، لكن تأثير كلا المزيجين فاق تأثير المضــادات الحيوية التقليدية المستخدمة في الدر اسة.
- 3. الجسيمات النانوية عند تركيز 250 ميكروجرام كانت أكثر فاعلية كمثبط لنمو البكتيريا مقارنة بتركيزات أقل، مما يدل على تأثير التركيز في تحفيز النشاط المضاد للبكتيريا.
- 4. تؤكد هذه النتائج على أهمية استمرار البحث والتطوير في مجالات تقنية النانو وايضا استخدام الأحماض العضوية كبدائل أو عوامل مساعدة للمضادات الحيوية، وخاصة في مواجهة البكتيريا المقاومة للأدوبة التقليدية.
- هناك تفوق واضح عند مزج الأحماض العضوية مع اكسيد الزنك النانوي مما يعزز قدرتها على تثبيط النمو البكتيري بشكل كبير وتزيد التأثير التأزري للخليط

(2-5) التوصيات Recommendations:

- 1. إجراء در اسات مقارنة بين أنواع مختلفة من الجسيمات النانوية (مثل جسيمات الفضة، الذهب، التيتانيوم، وأكسيد الزنك) لتحديد الأنسب والأكثر فعالية في مكافحة البكتيريا المقاومة للمضادات.
- 2. توسيع جمع عينات بكتيريا المكورات العنقودية الذهبية (S. aureus) والإشريكية القولونية (E. Coli)من مواقع الإصابة المختلفة لدر اسة تأثير الأحماض العضوية والمواد النانوية بشكل أعمق وعلمي أدق.
 - 3. دراسة الخصاصة السمية بعد تجريبها على حيوانات مختبرية
- تبنى هذه الدراسة لتطوير صناعة المضادات الحياتية وكبديل واعد للمضادات الحيوية التقليدية في مكافحة بكتيريا الإشريكية القولونية والمكورات العنقودية الذهبية، نظرًا لتفوق تأثيره المضاد على هذه البكتيريا مقارنة بالمضادات الحيوية المستخدمة.
- تشجيع إجراء در اسات مستقبلية لفهم تأثير المواد النانوية، لا سيما دمج أكسيد الزنك النانوي مع الأحماض العضوية، على مقاومة البكتيريا للمنتج وعوامل ضراوة البكتيريا لتعميق المعرفة وتوسيع التطبيقات العلاجية

6. استعمال جرع اقل مع تراكيز أكبر وذلك لتقليل سمية المواد الكيميائية و زيادة تأثير ها المضاد للبكتريا

7. توصي هذه الدراسة باستخدام مزيج أكسيد الزنك النانوي مع حامض الستريك مزيج اكسيد الزنك النانوي وحامض البروبيونيك، حيث أظهرت النتائج أن هذا المزيج يمتلك تأثيرًا مضادًا للبكتيريا أعلى من تأثير مضادات حيويه مثل الأزتريونام والأميكاسين. وبالتالي فإن اعتماد هذا المزيج يمكن أن يمثل بديلاً فع مكافحة العدوى البكتيرية



المصادر الاجنبية

1. Aadim, K. A., & Abbas, I. K. (2023). Synthesis and investigation of the structural characteristics of zinc oxide nanoparticles produced by an atmospheric plasma jet. Iraqi Journal of Science, 64(4), 1743–1752. https://doi.org/10.24996/ijs.2023.64.4.15

- 2. Abu-Gharbieh, M., Elsayed, M. F., Salem, G. M., Abdel Samie, W. M., & Elaraby, G. (2025). The antibacterial effect of biologically synthesized zinc oxide nanoparticles on uropathogenic Escherichia coli and the bioevaluation of physiological and histological changes. Scientific Reports.
- 3. Adekoya, J. A., Ogunniran, K. O., Siyanbola, T. O., Dare, E. O., & Revaprasadu, N. (2018). Band Structure, Morphology, Functionality, and Size- Dependent Properties of Metal Nanoparticles. InTech. Doi: 10.5772/intechopen.72761
- 4. Agbowuro, A. A., Huston, W. M., Gamble, A. B., & Tyndall, J. D. A. (2018). Proteases and protease inhibitors in infectious diseases. Medicinal research reviews, 38(4), 1295–1331. https://doi.org/10.1002/med.21475
- 5. Ahmadi, N., Khosravi-Darani, K., & Mortazavian, A. M. (2017). An overview of biotechnological production of propionic acid: From upstream to downstream processes. Electronic Journal of Biotechnology, 20, 67-79. https://doi.org/10.1016/j.ejbt.2017.04.004
- 6. Ahmed, A. Q. (2021). Molecular detection of some virulence genes in E. coli isolated from women with urinary tract infections (Master's thesis, University of Diyala).
- 7. Al-Janabi, Y. S. Zhualnoon. (2019). Biosynthesis of zinc oxide nanoparticles by locally isolated Zygorhiza species [master's thesis]. College of Science, University of Misan.
- 8. Al-Musawi, S. A. N. (2023). Biosynthesis of zinc oxide nanoparticles using Capparis spinosa plant extract and study of biological activity [master's thesis]. University of Misan.
- 9. Alonso, S., Rendueles, M., & Díaz, M. (2015). Microbial production of specialty organic acids from renewable and waste materials. Critical reviews In biotechnology, 35(4), 497–513. https://doi.org/10.3109/07388551.2014.904269
- 10. Al-Saadi, Z. H. A. (2019). Phenotypic and molecular detection of efflux pumps systems in Escherichia coli isolated from urinary tract infections (Master's thesis). University of Baghdad, Baghdad, Iraq.

المصـــــادرالمصـــــادر

11. Alsalmi, B. T. S. (2014). Study of some factors affecting coagulase production by local isolates of Staphylococci (Master's thesis, University of Kerbala).

- 12. Al-Salmi, F. A., Hamza, R. Z., & El-Shenawy, N. S. (2019). The Interaction of Zinc Oxide/Green Tea Extract Complex Nanoparticles and its Effect on Monosodium Glutamate Toxicity in Liver of Rats. Current pharmaceutical biotechnology, 20(6), 465–475. https://doi.org/10.2174/1389201020666190408120532
- 13. Al-Yasiri, T. H. J. (2019). Effect of feeding local E. coli O157:H7 contaminated diets treated with organic acid on the broilers performance [Master's thesis, University of Baghdad].
- 14. Al-Yasiri, T. H., & Mohammed, M. F. (2019). Influence of organic acids (Acetic, Citric acid and Blend) in vitro on growth of E. coli O157: H7 in Poultry feed. Research Journal of Pharmacy and Technology, 12(5), 2468-2472.
- 15. Alyasiri, Taha & Abdullah, Afaf & Isawi, Amer & Algazally, Moaed. (2022). Evaluation of Sesuvium Portulacastrum *Et*hanolic Extract on Growth of Salmonella Typhi in Vitro. Revista Electronica de V*et*erinaria. 23. 169-176.
- 16. Antone, U., Ciprovica, I., Zolovs, M., Scerbaka, R., & Liepins, J. (2023). Propionic acid fermentation—Study of substrates, strains, and antimicrobial properties. Fermentation, 9(1), 26.
- 17. Atlas, R. M. (2018). Handbook of microbiological media (4th ed.). CRC Press.
- 18. Bagnoli, F., Rappuoli, R., & Grandi, G. (Eds.). (2017). Staphylococcus aureus: Microbiology, pathology, immunology, therapy and prophylaxis (Vol. 409). Springer.
- 19. Balasubramanian, D., Ohneck, E. A., Chapman, J., Weiss, A., Kim, M. K., Reyes-Robles, T., Zhong, J., Shaw, L. N., Lun, D. S., Ueberheide, B., Shopsin, B., & Torres, V. J. (2016). Staphylococcus aureus Coordinates Leukocidin Expression and Pathogenesis by Sensing Metabolic Fluxes via RpiRc. mBio, 7(3), e00818-16. https://doi.org/10.1128/mBio.00818-16
- 20. Barzegari Firouzabadi, F., Noori, M., Edalatpanah, Y., & Mirhosseini, M. (2014). ZnO nanoparticle suspensions containing citric acid as antimicrobial to control Listeria monocytogenes, Escherichia coli, Staphylococcus aureus and Bacillus cereus in mango juice. Food Control, 42, 310–314.

المصــــادر

21. Becker, K., Heilmann, C., & Peters, G. (2014). Coagulase-negative staphylococci. Clinical microbiology reviews, 27(4), 870–926. https://doi.org/10.1128/CMR.00109-13

- 22. Bhattacharjee, K., & Prasad, B. L. V. (2023). Correction: Surface functionalization of inorganic nanoparticles with ligands: a necessary step for their utility. Chemical Society reviews, 52(12), 4121. https://doi.org/10.1039/d3cs90048g
- 23. Bushell, F. M. L., Toner, P. D., & Jabbari, S. (2019, January 8). Synergistic Impacts of Organic Acids and pH on Growth of Pseudomonas aeruginosa: A Comparison of Parametric and Bayesian Non-parametric Methods to Model Growth. Frontiers in Microbiology, 9. https://doi.org/10.3389/fmicb.2018.03196
- 24. Byrne, C. S., Chambers, E. S., Morrison, D. J., & Frost, G. (2015). The role of short chain fatty acids In app*et*ite regulation and energy homeostasis. International journal of obesity (2005), 39(9), 1331–1338. https://doi.org/10.1038/ijo.2015.84
- 25. Carroll, D. E., Gaddi, R., & Natt, O. (2017). Staphylococcus aureus prostatic abscess: A clinical case report and a review of the literature. BMC Infectious Diseases, 17, Article 123.
- 26. Cho, C., Choi, S. Y., Luo, Z. W., & Lee, S. Y. (2015). Recent advances in microbial production of fuels and chemicals using tools and strategies of systems metabolic engineering. Biotechnology Advances, 33(7), 1455–1466.
- 27. Chukwudi, Prosper & Paulinus, Umeugokwe & Ikeh, Nnanna & Chigozie, Amaefule. (2024). The effects of organic acids on broiler chicken nutrition: A review. Animal Research and One Health. 3. 43-53. 10.1002/aro2.85.
- 28. CLSI. (2021). Performance standards for antimicrobial susceptibility testing (M100, 31st ed.). Clinical and Laboratory Standards Institute.
- 29. Conceição, T., Roe, R., & Kenard, S. (2019). Staphylococcus aureus nasal carriage among the homeless population in Lisbon, Portugal. European Journal of Clinical Microbiology & Infectious Diseases, 38(11), 2037–2044.
- Cooper, D., Denneulin, T., Bernier, N., Béché, A., & Rouvière, J. L. (2016).
 Mapovanie deformácií polovodičových vzoriek s rozlíšením na úrovni nm v transmisnom elektrónovom mikroskope. Micron, 80, 145-165.
- 31. Coral, J. (2008). Propionic acid production by Propionibacterium sp. Using low-cost carbon sources In submerged fermentation (Master's thesis, University of Parana). Curitiba, Brazil.

32. Cotter, P. D., & Hill, C. (2003). Surviving the acid test: Responses of Grampositive bacteria to low pH. Microbiology and Molecular Biology Reviews, 67(3), 429–453. https://doi.org/10.1128/mmbr.67.3.429-453.2003

- 33. Cotter, P. D., & Hill, C. (2003). Surviving the acid test: Responses of Grampositive bacteria to low pH. Microbiology and Molecular Biology Reviews, 67(3), 429–453.
- 34. De la Maza, L. M., Pezzulo, M. T., & Baron, E. J. (2017). Color Atlas of Diagnostic Microbiology. Mosby-Year Book, Inc.
- 35. Dean, J. (2023). A note on the bacteria in humans. Biomedical Sciences, 4(12), 001-003
- 36. Dewan, T. M. (2022). Biosynthesis of silver nanoparticles from some actinomycetes and soil bacteria to determination of antibacterial and anticancer activities (master's thesis). University of Misan, Iraq.
- 37. Di Lorenzo, F., Duda, K. A., Lanzetta, R., Silipo, A., De Castro, C., & Molinaro, A. (2022). A journey from structure to function of bacterial lipopolysaccharides. Chemical Reviews, 122(20), 15767–15821. https://doi.org/10.1021/acs.chemrev.0c01321
- 38. Dumitrescu, O., Choudhury, P., Boiss*et*, S., Badiou, C., Bes, M., Benito, Y., Wolz, C., Vandenesch, F., *Et*ienne, J., Cheung, A. L., Bowden, M. G., & Lina, G. (2011). B*et*a-lactams interfering with PBP1 induce Panton-Valentine leukocidin expression by triggering sarA and rot global regulators of Staphylococcus aureus. Antimicrobial agents and chemotherapy, 55(7), 3261–3271. https://doi.org/10.1128/AAC.01401-10
- 39. Ealia, S. A. M., & Saravanakumar, M. P. (2017). A review on the classification, characterisation, synthesis of nanoparticles and their application. IOP Conference Series: Materials Science and Engineering, 263(3), 032019. https://doi.org/10.1088/1757-899X/263/3/032019
- 40. El-Fallal, A. A., Elfayoumy, R. A., & El-Zahed, M. M. (2023). Antibacterial activity of biosynthesized zinc oxide nanoparticles using kombucha extract. SN Applied Sciences, 5, 332. https://doi.org/10.1007/s42452-023-05546-x
- 41. Eliuz, E. A. E. (2020). Antimicrobial activity of citric acid against Escherichia coli, Staphylococcus aureus and Candida albicans as a sanitizer agent. Eurasian Journal of Forest Science, 8(3), 295–301.
- 42. Emami-Karvani, Z., & Chehrazi, P. (2011). Antibacterial activity of ZnO nanoparticle on gram-positive and gram-negative bacteria. African Journal of Microbiology Research, 5(12), 1368–1373. https://doi.org/10.5897/AJMR10.150

43. Fahimi Kashani, N., Orouji, A., Ghamsari, M., Sahoo, S. K., & Hormozi-Nezhad, M. R. (2023). Plasmonic noble metal (Ag and Au) nanoparticles: From basics to colorimetric sensing applications. In S. K. Sahoo & M. R. Hormozi-Nezhad (Eds.), Gold and Silver Nanoparticles (pp. 1–58). Elsevier.

- 44. Fayisa, W. O., & Tuli, N. F. (2023). Review on Staphylococcus aureus. International Journal of Nursing Care and Research, 12(3), 123-130.
- 45. Foster, T. J. (2004). The Staphylococcus aureus "superbug". Journal of Clinical Investigation, 114(12), 1693–1696. https://doi.org/10.1172/JCI23825
- 46. Foster-Nyarko, E., & Pallen, M. J. (2022). The microbial ecology of Escherichia coli in the vertebrate gut. FEMS microbiology reviews, 46(3), fuac008. https://doi.org/10.1093/femsre/fuac008
- 47. Ghai, M., Agnihotri, N., Kumar, V., Agnihotri, R., Kumar, A., & Sahu, K. (2023). Global organic acids production and their industrial applications. Physical Sciences Reviews, 9.
- 48. Ghernaout, D., Elboughdiri, N., & Hadj Lajimi, R. (2022). E. coli: Health impacts, exposure evaluation, and hazard reduction. Open Access Library Journal, 9, 1–28. https://doi.org/10.4236/oalib.1108860
- 49. Gitau, W., Masika, M., Musyoki, M., Museve, B., & Mutwiri, T. (2018). Antimicrobial susceptibility pattern of Staphylococcus aureus isolates from clinical specimens at Kenyatta National Hospital. BMC research notes, 11(1), 226. https://doi.org/10.1186/s13104-018-3337-2
- 50. Govindarajan, D. K., Visvalingam, N., Meganathan, Y., & Karideswamy, K. (2020). Adherence patterns of Escherichia coli in the intestine and its role in pathogenesis. Medicine in Microbiology, 5.
- Gravesen, A., Kallipolitis, B., Holmstrøm, K., Høiby, P. E., Ramnath, M., & Knøchel, S. (2004). Pbp2229-mediated nisin resistance mechanism in Listeria monocytogenes confers cross-protection to class Iia bacteriocins and affects virulence gene expression. Applied and Environmental Microbiology, 70(3), 1669–1679. https://doi.org/10.1128/AEM.70.3.1669-1679.2004
- 52. Hage, R. E., Hernandez-Sanabria, E., Arroyo, M. C., Props, R., & Van de Wiele, T. (2019). Propionate-Producing Consortium Restores Antibiotic-Induced Dysbiosis in a Dynamic in vitro Model of the Human Intestinal Microbial Ecosystem. Frontiers in Microbiology, 10, 1206. https://doi.org/10.3389/fmicb.2019.01206
- 53. Hajati, H. (2018). Application of organic acids in poultry nutrition. International Journal of Avian & Wildlife Biology, 3(4), 324-329.

المصــــادر

54. Hasnidawani, J., Azlina, H., Norita, H., Bonnia, N., & Ratim, S. (2016). Synthesis of ZnO nanostructures using sol-gel m*et*hod. Procedia Chemistry, 19, 211–216.

- 55. Hassan, H. H. (2018). Biosynthesis and characterization of Ag nanoparticles from Klebsiella pneumoniae [Master's thesis, University of Kufa]. University of Kufa.
- Horgan, A., Collins, G., Krok, A., Ahern, A. M., Klymov, O., Zholobak, N.,
 O'Driscoll, B. (2020). Exploring the Impact of Morphology on the Properties of Biodegradable Nanoparticles and Their Diffusion in Complex Biological Medium. Biomacromolecules, 21(8), 3290–3303.
- 57. Hosagowdar, S. B., Maddanimath, P., Tolamatti, R. M., Policepatil, A., & Patil, M. J. (2022). Synthesis, Characterization of ZnO Nanoparticles and their Application in Antibacterial Activity. Int. J. Adv. Sci. Eng., 9(2), 2745-2750.
- 58. Issa, M. A., & Aadim, K. A. (2024). A review of nanoparticles: Their synthesis, properties, application, and advantages. MINAR International Journal of Applied Sciences and Technology, 6(3), 38–45. https://doi.org/10.47832/2717-8234.20.4
- 59. Jahandeh, N., Ranjbar, R., Behzadi, P., & Behzadi, E. (2015). Uropathogenic Escherichia coli virulence genes: invaluable approaches for designing DNA microarray probes. Central European journal of urology, 68(4), 452–458.
- 60. Jalal, R., Al-Shemary, L. A., & Abdul-Karim, S. H. (2021). Bioengineered CA's role in chelation-enhanced NP activity. Journal of Applied Nanoscience and Biotechnology, 15(3), 45-60.
- 61. Janda, J. M. (2021). Taxonomic Classification of Bacteria. In L. H. Green & E. Goldman (Eds.), Practical Handbook of Microbiology (4th ed.). CRC Press.
- 62. Ji, Q.-Y., Wang, W., Yan, H., Qu, H., Liu, Y., Qian, Y., & Gu, R. (2023). The effect of different organic acids and their combination on the cell barrier and biofilm of Escherichia coli. Foods, 12(16), 3011.
- 63. Jin, S.-E., & Jin, H.-E. (2021). Antimicrobial Activity of Zinc Oxide Nano/Microparticles and Their Combinations against Pathogenic Microorganisms for Biomedical Applications: From Physicochemical Characteristics to Pharmacological Aspects. Nanomaterials, 11(2), 263. https://doi.org/10.3390/nano11020263

المصــــادر

64. Jorgensen, J. H., Carroll, K. C., Funke, G., Pfaller, M. A., Landry, M. L., Richter, S. S., & Warnock, D. W. (Eds.). (2015). Manual of clinical microbiology (11th ed.). ASM Press.

- 65. Jung, S., Park, J., & Ko, K. S. (2020). Lipopolysaccharide-induced innate immune responses are exacerbated by Prohibitin 1 deficiency and mitigated by S-adenosylm*et*hionine in murine macrophages. PloS one, 15(11), e0241224. https://doi.org/10.1371/journal.pone.0241224
- 66. Kalra, K., Chhabra, V., & Prasad, N. (2022). Antibacterial activities of zinc oxide nanoparticles: a mini review. Journal of Physics: Conference Series, 2267, 012049. https://doi.org/10.1088/1742-6596/2267/1/012049
- 67. Karmakar, A., Dua, P., & Ghosh, C. (2016). Biochemical and Molecular Analysis of Staphylococcus aureus Clinical Isolates from Hospitalized Patients. The Canadian journal of infectious diseases & medical microbiology = Journal canadien des maladies infectieuses *et* de la microbiologie medicale, 2016, 9041636. https://doi.org/10.1155/2016/9041636
- 68. Khan, S. H., & Iqbal, J. (2016). Recent advances in the role of organic acids in poultry nutrition. Journal of Applied Animal Research, 44(1), 359–369.
- 69. Khyoon, A. R. (2023). Application of silver nanoparticles and Zingiber officinale extract for inhibition of protease purified from pathogenic Escherichia coli (Master's thesis, University of Baghdad, Department of Biotechnology).
- 70. Kim, J. (2015). Dietary organic acids for broiler chickens: A review. Revista Colombiana de Ciencias Pecuarias, 28(2), 109–123. https://doi.org/10.17533/udea.rccp.v28n2a01
- 71. Kodaka, H., Uesaka, Y., & Kashitani, F. (2004). Nissui glucose fermentative gram-negative rod identification system EB-20 gives a unique profile for typical non-sorbitol-fermenting Escherichia coli O157:H7. Journal of clinical microbiology, 42(1), 354–358. https://doi.org/10.1128/JCM.42.1.354-358.2004
- 72. Książek, E. (2024). Citric Acid: Properties, Microbial Production, and Applications in Industries. Molecules, 29(1), 22. https://doi.org/10.3390/molecules29010022
- 73. Lacoma, A., Usón, L., Mendoza, G., Sebastián, V., Garcia-Garcia, E., Muriel-Moreno, B., Domínguez, J., Arruebo, M., & Prat, C. (2020). Novel intracellular antibiotic delivery system against Staphylococcus aureus: cloxacillin-loaded poly(d,l-lactide-co-glycolide) acid nanoparticles.

Nanomedicine (London, England), 15(12), 1189–1203. https://doi.org/10.2217/nnm-2019-0371

- 74. Langfeld, L. Q., Du, K., Bereswill, S., & Heimesaat, M. M. (2021). A review of the antimicrobial and immune-modulatory properties of the gut microbiota-derived short chain fatty acid propionate What is new?. European journal of microbiology & immunology, 11(2), 50–56. https://doi.org/10.1556/1886.2021.00005
- 75. Leventi, A. A., Billimoria, K., Bartczak, D., Laing, S., Goenaga-Infante, H., Faulds, K., & Graham, D. (2023). New Model for Quantifying the Nanoparticle Concentration Using SERS Supported by Multimodal Mass Spectrom*etry*. Analytical chemistry, 95(5), 2757–2764. https://doi.org/10.1021/acs.analchem.2c03779
- 76. Levinson, W. (2018). Review of Medical Microbiology & Immunology: A Guide to Clinical Infectious Diseases (15th ed.). McGraw-Hill Education.
- 77. Levinson, W. (2018). Review of Medical Microbiology & Immunology: A Guide to Clinical Infectious Diseases (15th ed.). McGraw-Hill Education.
- 78. Li, P., Yin, R., Cheng, J., & Lin, J. (2023). Bacterial Biofilm Formation on Biomaterials and Approaches to Its Treatment and Prevention. International Journal of Molecular Sciences, 24(14), 11680. https://doi.org/10.3390/ijms241411680
- 79. Li, X., Tian, Z., Kong, Y., Cao, X., Liu, N., Zhang, T., Xiao, Z., & Wang, Z. (2024). The suspension stability of nanoplastics in aquatic environments revealed using meta-analysis and machine learning. Journal of hazardous materials, 471, 134426.
- 80. Liu, D., Liu, A.-H., He, C., Wang, J.-H., & Wang, Y.-A. (2012). Response of organic acids to zinc homeostasis in zinc-deficient and zinc-toxic apple rootstock roots. Pedosphere, 22(6), 803–814.
- 81. Löffler, B., & Tuchscherr, L. (2021). Staphylococcus aureus Toxins: Promoter or Handicap during Infection?. Toxins, 13(4), 287. https://doi.org/10.3390/toxins13040287
- 82. Lopez, J., Méndez, J., Espinach, F.-X., Julian, F., Mutjé, P., & Vilaseca, F. (2012). Tensile strength characteristics of polypropylene composites reinforced with stone groundwood fibers from softwood. BioResources, 7(3), 3188-3200. https://doi.org/10.15376/biores.7.3.3188-3200.
- 83. Madhavi, J., Srilakshmi, J., Rao, M. V., & Sambasiva Rao, K. R. S. (2011). Efficient leather dehairing by bacterial thermostable protease. International Journal of Bio-Science and Bio-Technology, 3(1), 11-26.

84. Mani-López, E., García, H., & López-Malo, A. (2012). Organic acids as antimicrobials to control Salmonella in meat and poultry products. Food Research International, 45, 713–721.

- 85. Maraz, K. M., & Khan, R. (2021). An overview on impact and application of microorganisms on human health, medicine and environment. GSC Biological and Pharmaceutical Sciences, 16, 89–104. https://doi.org/10.30574/gscbps.2021.16.1.0200
- 86. Mare, A. D., Ciurea, C. N., Man, A., Tudor, B., Moldovan, V., Decean, L., & Toma, F. (2021). Enteropathogenic Escherichia coli—A Summary of the Literature. Gastroenterology Insights, 12(1), 28-40. https://doi.org/10.3390/gastroent12010004
- 87. Mare, A. D., Ciurea, C. N., Man, A., Tudor, B., Moldovan, V., Decean, L., & Toma, F. (2021). Enteropathogenic Escherichia coli—A Summary of the Literature. Gastroenterology Insights, 12(1), 28-40. https://doi.org/10.3390/gastroent12010004
- 88. Mbarga Manga, J. A., Adjele, B. J., Souadkia, S., *et al.* (2022). Short review on the potential alternatives to antibiotics in the era of antibiotic resistance. Journal of Applied Pharmaceutical Science, 12(1), 29-40. https://doi.org/10.7324/JAPS.2021.120102
- 89. Mekuye, B., & Abera, B. (2023). Nanomaterials: An overview of synthesis, classification, characterization, and applications. Nano Select, 4, 486-501. https://doi.org/10.1002/nano.202300038
- 90. Mohammadi-Jam, S., Waters, K. E., & Greenwood, R. (2022). A review of zeta potential measurements using electroacoustics. Advances in Colloid and Interface Science, 309, 102778.
- 91. Mohammed, S., Raji, S., & Shariq, A. (2017). Susceptibility profile of methicillin-resistant Staphylococcus aureus to linezolid in clinical isolates. International Journal of Health Sciences, 1–4.
- 92. Moyes, R. B., Reynolds, J., & Breakwell, D. P. (2009). Differential staining of bacteria: gram stain. Current protocols in microbiology, Appendix 3, . https://doi.org/10.1002/9780471729259.mca03cs15
- 93. Nanda, A. P., & Nayak, S. K. (2020). Virulence factors and drug resistance of gastrointestinal Escherichia coli isolated from different animals. Indian Journal of Animal Health, 59, 159–168. https://doi.org/10.36062/ijah.59.2.2020.159-168

94. Nasrollahian, S., Graham, J. P., & Halaji, M. (2024). A review of the mechanisms that confer antibiotic resistance in pathotypes of E. coli. Frontiers in Cellular and Infection Microbiology, 14, 1387497. https://doi.org/10.3389/fcimb.2024.1387497

- 95. Otto, M. (2013). Staphylococcal infections: Mechanisms of biofilm maturation and detachment as critical determinants of pathogenicity. Annual Review of Medicine, 64, 175–188. https://doi.org/10.1146/annurev-med-042711-140023
- 96. Palavecino, E. (2007). Clinical, epidemiological, and laboratory aspects of methicillin-resistant Staphylococcus aureus (MRSA) infections. Methods in Molecular Biology (Clifton, N.J.), 391, 1–19. https://doi.org/10.1007/978-1-59745-468-1
- 97. Palmqvist, N. G. M., Seisenbaeva, G. A., Svedlindh, P., & Kessler, V. G. (2017). Maghemite nanoparticles acts as nanozymes, improving growth and abiotic stress tolerance in Brassica napus. Nanoscale Research Letters, 12(1), 631. https://doi.org/10.1186/s11671-017-2404-2
- 98. Paternoster, C., Tarenzi, T., Potestio, R., & Lattanzi, G. (2023). Gamma-Hemolysin Components: Computational Strategies for LukF-Hlg2 Dimer Reconstruction on a Model Membrane. International journal of molecular sciences, 24(8), 7113. https://doi.org/10.3390/Ijms24087113
- 99. Pi, Y., Chen, W., & Ji, Q. (2020). Structural Basis of Staphylococcus aureus Surface Protein SdrC. Biochemistry, 59(15), 1465–1469. https://doi.org/10.1021/acs.biochem.0c00124
- 100. Pradeep, R., Senthilkumar, A., & Sangaran, A. (2022). Isolation and molecular identification of enteropathogen E. coli In captive pheasants of Arignar Anna zoological park, Vandalur Chennai, Tamil Nadu. The Pharma Innovation Journal, SP-11(8), 1645–1647.
- 101. Price-Carter, M., Fazzio, T. G., Vallbona, E. I., & Roth, J. R. (2005). Polyphosphate kinase protects Salmonella enterica from weak organic acid stress. Journal of bacteriology, 187(9), 3088–3099. https://doi.org/10.1128/JB.187.9.3088-3099.2005
- 102. Pulit-Prociak, J., Chwastowski, J., Kucharski, A., & Bamach, M. (2016). Functionalization of textiles with silver and zinc oxide nanoparticles. Applied Surface Science, 385, 543-551.
- 103. Rades, S., Hodoroaba, V., Salge, T., Wirth, T., Lobera, M. P., Labrador, R. H., Natte, K., Behnke, K., Gross, T., & Unger, W. E. S. (2014). High-resolution imaging with SEM/T-SEM, EDX, and SAM as a combined

methodical approach for morphological and elemental analyses of single engineered nanoparticles. RSC Advances, 4, 49577–49587.

- 104. Rafique, M., Shaikh, A. J., & Rasheed, R. (2017). A review on synthesis, characterization and applications of copper nanoparticles using green method. Nano, 12
- 105. Raimondi, S., Righini, L., Candeliere, F., Musmeci, E., Bonvicini, F., Gentilomi, G., Starčič Erjavec, M., Amar*et*ti, A., & Rossi, M. (2019). Antibiotic resistance, virulence factors, phenotyping, and genotyping of Escherichia coli isolated from the feces of healthy subjects. Microorganisms, 7(8), 251. https://doi.org/10.3390/microorganisms7080251
- 106. Rajwar, A., Srivastava, P., & Sahgal, M. (2016). Microbiology of Fresh Produce: Route of Contamination, Detection Methods, and Remedy. Critical reviews in food science and nutrition, 56(14), 2383–2390. https://doi.org/10.1080/10408398.2013.841119
- 107. Rasheed, N. A., & Hussein, N. R. (2021). Staphylococcus aureus: An overview of discovery, characteristics, epidemiology, virulence factors, and antimicrobial sensitivity. European Journal of Molecular and Clinical Medicine, 8(1), 1160-1183.
- 108. Ray, G. T., Suaya, J. A., & Baxter, R. (2013). Microbiology of skin and soft tissue infections In the age of community-acquired methicillin-resistant Staphylococcus aureus. Diagnostic microbiology and infectious disease, 76(1), 24–30.
- 109. Reda, A. T., Park, J. Y., & Park, Y. T. (2024). Zinc Oxide-Based Nanomaterials for Microbiostatic Activities: A Review. Journal of functional biomaterials, 15(4), 103. https://doi.org/10.3390/jfb15040103
- 110. Ricke S. C. (2003). Perspectives on the use of organic acids and short chain fatty acids as antimicrobials. Poultry science, 82(4), 632–639. https://doi.org/10.1093/ps/82.4.632
- 111. Rigby, K. M., & DeLeo, F. R. (2012). Neutrophils In innate host defense against Staphylococcus aureus infections. Seminars in immunopathology, 34(2), 237–259. https://doi.org/10.1007/s00281-011-0295-3
- 112. Russell, J. B. (1992). Another explanation for the toxicity of fermentation acids at low pH: Anion accumulation versus uncoupling. Journal of Applied Bacteriology, 73(5), 363–370.
- 113. Russell, J. B. (2008). Another explanation for the toxicity of fermentation acids at low pH: Anion accumulation versus uncoupling. Journal of Applied

- Microbiology, 73(3), 363–370. https://doi.org/10.1111/j.1365-2672.1992.tb04990.x
- 114. Sabir, S., Arshad, M., & Chaudhari, S. K. (2014). Zinc oxide nanoparticles for revolutionizing agriculture: synthesis and applications. TheScientificWorldJournal, 2014, 925494. https://doi.org/10.1155/2014/925494
- 115. Salman, A. S. (2022). Assessment activity of ZnO nanoparticles against Staphylococcus aureus infections isolated from different clinical sites (Unpublished master's thesis). University of Al-Qadisiya.
- 116. Schaechter, M. (2010). Encyclopedia of microbiology (3rd ed.). Choice Reviews Online, 47(11), 47-59.
- 117. Schiavo, L., Cammarano, A., Carotenuto, G., Longo, A., Palomba, M., & Nicolais, L. (2023). An overview of the advanced nanomaterials science. Inorganica Chimica Acta, 121802.
- 118. Schieber, M., & Chandel, N. S. (2014). ROS function in redox signaling and oxidative stress. Current biology: CB, 24(10), R453–R462. https://doi.org/10.1016/j.cub.2014.03.034
- 119. Schloss, P. D., & Handelsman, J. (2004). Status of the microbial census. Microbiology and molecular biology reviews: MMBR, 68(4), 686–691. https://doi.org/10.1128/MMBR.68.4.686-691.2004
- 120. Schwan, W. R. (2019). Staphylococcus aureus Toxins: Armaments for a Significant Pathogen. Toxins, 11(8), 457. https://doi.org/10.3390/toxins11080457
- 121. Shahrom, A. S., Mahmud, A. A., Seeni, N. H. M. K., Ann-Siti Khadijah, M. B., Hasan, H., & Mohamad, D. (2015). Review on zinc oxide nanoparticles: Antibacterial activity and toxicity mechanism. Nano-Micro Letters, 7(3), 219–242.
- 122. Sharaf, E. F., El-Sayed, W. S., & Abosaif, R. M. (2014). Lecithinase-producing bacteria in commercial and home-made foods: Evaluation of toxic properties and identification of potent producers. Journal of Taibah University for Science, 8(3), 207-215.
- 123. Shariq, A., Tanvir, S. B., Zaman, A., Khan, S., Anis, A., Khan, M. A., & Ahmed, S. (2017). Susceptibility profile of methicillin-resistant Staphylococcus aureus to linezolid in clinical Isolates. International Journal of Health Sciences, 11(1), 1–4.
- 124. Sharma, S., Bhat, G. K., & Shenoy, S. (2007). Virulence factors and drug resistance in Escherichia coli isolated from extraintestinal infections. Indian journal of medical microbiology, 25(4), 369–373. https://doi.org/10.4103/0255-0857.37341

125. Shi, L. B., Tang, P. F., Zhang, W., Zhao, Y. P., Zhang, L. C., & Zhang, H. (2017). Green synthesis of CuO nanoparticles using Cassia auriculata leaf extract and in vitro evaluation of their biocompatibility with rheumatoid arthritis macrophages (RAW 264.7). Trep Journal of Pharmaceutical Research, 16.

- 126. Silhavy, T. J., Kahne, D., & Walker, S. (2010). The bacterial cell envelope. Cold Spring Harbor perspectives in biology, 2(5), a000414.
- 127. Silhavy, T. J., Kahne, D., & Walker, S. (2010). The bacterial cell envelope. Cold Spring Harbor perspectives in biology, 2(5), a000414.
- 128. Singh, P., & Nanda, A. (2013). Antimicrobial and antifungal potential of zinc oxide nanoparticles in comparison to conventional zinc oxide particles. Journal of Chemical and Pharmaceutical Research, 5(11), 457–463.
- 129. Sirelkhatim, A., Mahmud, S., Seeni, A., Kaus, N. H. M., Ann, L. C., Bakhori, S. K. M., Hasan, H., & Mohamad, D. (2015). Review on Zinc Oxide Nanoparticles: Antibacterial Activity and Toxicity Mechanism. Nano-Micro Letters, 7(3), 219–242. –
- 130. Smajlagić, A., Modrić-Šahbazović, A., Sakić, Z., & Babajić, E. (2024). Synthesis, characterization and optical morphology of ZnO nanoparticles. Open Journal of Applied Sciences, 14(7), 1330–1337. https://www.scirp.org/journal/ojapps
- 131. Smuleac, V., Xiao, L., & Bhattacharyya, D. (2015). Greener and other approaches to synthesize Fe and Pd nanoparticles In functionalized membranes and hydrogel. In P. S. Kumar (Ed.), ACS symposium series (vol. 1124, Chapter 3, pp. 41–58). American Chemical Society.
- 132. Sora, V. M., Meroni, G., Martino, P. A., Soggiu, A., Bonizzi, L., & Zecconi, A. (2021). Extraintestinal Pathogenic Escherichia coli: Virulence Factors and Antibiotic Resistance. Pathogens (Basel, Switzerland), 10(11), 1355. https://doi.org/10.3390/pathogens10111355
- 133. Soto, S. M. (2013). Role of efflux pumps in the antibiotic resistance of bacteria embedded in a biofilm. Virulence, 4(3), 223–229. https://doi.org/10.4161/viru.23724
- 134. Tamerat, N., Muktar, Y., & Shiferaw, D. (2016). Application of molecular diagnostic techniques for the detection of E. coli O157: H7: A review. Journal of Veterinary Science & Technology, 7(362), 1-9.
- 135. Tilahun, E., Adimasu, Y., & Dessie, Y. (2023). Biosynthesis and Optimization of ZnO Nanoparticles Using Ocimum lamifolium Leaf Extract

- for Electrochemical Sensor and Antibacterial Activity. ACS omega, 8(30), 27344–27354. https://doi.org/10.1021/acsomega.3c02709
- 136. Todkar, S. A., Kharat, S. B., Bobade, S. S., Ghandge, A. N., & Borde, S. S. (2023). A review on nanotechnology and its classification, synthesis m*et*hod and applications. International Journal of Research Publication and Reviews, 4(2), 1482–1490.
- 137. Touaitia, R., Mairi, A., Ibrahim, N. A., Basher, N. S., Idres, T., & Touati, A. (2025). Staphylococcus aureus: A review of the pathogenesis and virulence mechanisms. Antibiotics (Basel, Switzerland), 14(5), 470. https://doi.org/10.3390/antibiotics14050470
- 138. Wang, Z., Zhao, Y., Yang, M., Wang, Y., Wang, Y., Shi, C., Dai, T., Wang, Y., Tao, L., & Tian, Y. (2024). Glycated walnut meal peptide–calcium chelates: Preparation, characterization, and stability. Foods, 13(7), 1109.
- 139. Willis, L. M., & Whitfield, C. (2013). Structure, biosynthesis, and function of bacterial capsular polysaccharides synthesized by ABC transporter-dependent pathways. Carbohydrate Research, 378, 35–44.
- 140. Yadav, A., Kolluri, G., Gopi, M., Karthik, K., Malik, Y., & Dhama, K. (2016). Exploring alternatives to antibiotics as health promoting agents in poultry: A review. Journal of Experimental Biology and Agricultural Sciences, 4(3S), 368–383.
- 141. Zahoor, S., Sheraz, S., Shams, D. F., Rehman, G., Nayab, S., Ali Shah, M. I., Ateeq, M., Shah, S. K., Ahmad, T., Shams, S., & Khan, W. (2023). Biosynthesis and anti-inflammatory activity of zinc oxide nanoparticles using leaf extract of Senecio chrysanthemoides. BioMed Research International, 2023, 3280708.
- 142. Zhualnoon, Y. S. Al-Janabi. (2019). Biosynthesis of zinc oxide nanoparticles by locally isolated Zygorhiza species (Unpublished master's thesis). College of Science, University of Misan.
- 143. Zurita, J., Mejía, C., & Guzmán-Blanco, M. (2010). Diagnosis and susceptibility testing of methicillin-resistant Staphylococcus aureus in Latin America. The Brazilian Journal of Infectious Diseases: An Official Publication of the Brazilian Society of Infectious Diseases, 14(Suppl 2), S97–S106. https://doi.org/10.1590/s1413-86702010000800005



الملاحـــق

جدول يوضح قيم PH الحامضي في مختلف المعاملات

PH ZNO +الحامض	تركيز ZNO	للحامضPH	تركيز الحامض	نوع الحامض
5.2	0.075			
5.3	0.150	4.7%	2%	حامض البروبونيك
5.5	0.250			البروبوليك
5.3	0.075			
5.5	0.150	4.8%	2%	حامض الستريك
5.7	0.250			

Abstract

The study aimed to prepare zinc oxide nanoparticles (ZnO NPs) using the sol-gel technique and evaluate their antimicrobial activity alone and when mixed with organic acids. The physicochemical properties of the synthesized nanomaterial were characterized using a suite of techniques including X-ray diffraction (XRD), transmission electron microscopy (TEM), scanning electron microscopy (SEM), infrared spectroscopy (FTIR), energy-dispersive X-ray spectroscopy (EDX), and zeta potential measurement. The results confirmed the formation of crystalline, quasi-spherical nanoparticles, with diameters ranging from 20–50 nm, with a marked homogeneity in distribution. Bacterial strains of Staphylococcus aureus and Escherichia coli were isolated from Maysan Children's and Maternity Hospital, and their identification was confirmed using the Vitek 2 system, supported by standard biochemical, microscopic, and cultural tests.

The antibacterial activity of zinc oxide nanoparticles alone and combined with propionic acid and citric acid was tested, with a comparative evaluation of the susceptibility of the isolates to the two antibiotics: aztreonam and amikacin, using a disk diffusion test. Statistical analysis using SPSS (version 26) using ANOVA showed a significant synergistic effect (p<0.05) when the nanoparticles were combined with organic acids. The combination [ZnO NPs + propionic acid] was superior in inhibiting E. coli (inhibition zone diameter: 28.0 ± 0.37 mm) and S. aureus (26.5 ± 0.32 mm). While the [ZnO NPs + citric acid] formulation recorded lower efficacy (26.4 ± 0.36 mM for E. coli; 24.6 ± 0.26 mM for S. aureus), propionic acid was significantly superior to citric acid in enhancing antibacterial activity.

The improved nanoformulations exceeded the antibiotic efficacy, with aztreonam inhibiting E. coli (22.2 ± 0.63 mM; 22.7 ± 0.58 mM), and amikacin inhibiting S. aureus (21.0 ± 0.38 mM; 21.5 ± 0.48 mM). These results highlight the potential of organic acid-supported zinc oxide nanoparticles as promising alternatives to conventional antibiotics.



The Republic of Iraq Ministry of Higher Education and Scientific Research University of Misan College of Basic Education



Antimicrobial activity of secondary zinc molecules and organic acids against e. Coli and staphylococcus aureus in vitro

A Thesis

Submitted to the Council of the College of Basic Education, University of Misan

In Partial Fulfillment of the Requirements for the Degree of Master in General Sciences (Specialized General Sciences)

By:

Massara Bassim Arraif

Supervised by:

Asist. proph. Taha Hassan Jassim

2025A.H.

1447 A.D.